



Universitatea
Transilvania
din Braşov

ŞCOALA DOCTORALĂ INTERDISCIPLINARĂ

Facultatea: Inginerie Tehnologică și Management Industrial

Departamentul: Ingineria Fabricației

Ing. Raluca DIȚU (căș. DAICU)

TEZĂ DE DOCTORAT

ABORDĂRI INOVATIVE LA AȘCHIEREA METALELOR

INNOVATIVE APPROACHES TO METAL CUTTING

REZUMAT / ABSTRACT

Conducător științific:

Prof. dr. ing. Gheorghe OANCEA

BRAȘOV, 2021

D-lui (D-nei)

COMPONENȚA

Comisiei de doctorat

Numită prin ordinul Rectorului Universității Transilvania din Brașov

Nr. din

PREȘEDINTE: prof. univ. dr. ing.

CONDUCĂTOR ȘTIINȚIFIC: prof. univ. dr. ing. Gheorghe OANCEA
Universitatea Transilvania din Brașov

REFERENȚI: prof. univ. dr. ing.

.....

prof. univ. dr. ing.

.....

prof. univ. dr. ing.

.....

Data, ora și locul susținerii publice a tezei de doctorat:, ora, sala

Eventualele aprecieri sau observații asupra conținutului lucrării vor fi transmise electronic, în timp util, pe adresa raluca.daicu@unitbv.ro

Totodată, vă invităm să luați parte la ședința publică de susținere a tezei de doctorat.

Vă mulțumim !

- Cuprins (limba română) -

	Pg. teză	Pg. rezumat
Sinteza tezei de doctorat	9	9
Listă de notații	11	11
Listă de abrevieri	11	11
Capitolul 1. Stadiul actual al cercetărilor privind fenomene la aşchiera metalelor ce pot fi abordate inovativ	13	13
1.1. Necesitatea abordărilor inovative la aşchiera metalelor	13	13
1.2. Fenomene ce au loc la aşchiera metalelor	16	15
1.2.1. Elemente introductive	16	15
1.2.2. Identificarea fenomenelor ce au loc la aşchiera metalelor	18	16
1.2.3. Procesul de aşchiere privit ca sistem	19	17
1.2.4. Evidențierea complexității desfășurării procesului de aşchiere	19	17
1.3. Uzura sculei aşchietoare	22	19
1.3.1. Elemente de bază	22	19
1.3.2. Metode on-line de măsurare a uzurii	27	22
1.3.3. Metode off-line de măsurare a uzurii	38	25
1.4. Curentul electric de aşchiere	39	26
1.4.1. Identificarea efectelor și fenomenelor ce dau curent electric de aşchiere	39	26
1.4.2. Evoluția cercetărilor privind curentul electric la aşchiere	42	26
1.5. Concluzii	51	31
1.5.1 Concluzii privind uzura sculei aşchietoare	51	31
1.5.2 Concluzii privind curentul electric de aşchiere	52	32
Capitolul 2. Obiectivele tezei de doctorat	54	33
Capitolul 3. Metode și mijloace alternative pentru măsurarea uzurii plăcuțelor aşchietoare	56	35
3.1. Elaborarea unei metodologii de măsurare a uzurii plăcuțelor aşchietoare	57	36
3.2. Identificarea și determinarea erorii umane de măsurare a uzurii	63	42
3.2.1. Identificarea surselor de eroare umană la măsurarea uzurii	63	42
3.2.2. Determinarea erorii de măsurare indusă de un operator	66	43
3.2.3. Determinarea erorii de măsurare indusă de operatori independenți	68	44
3.3. Măsurarea uzurii plăcuțelor aşchietoare cu scannerul 3D	70	44
3.4. Măsurarea uzurii plăcuțelor aşchietoare cu profilometrul digital 2D	79	45
3.5. Măsurarea uzurii plăcuțelor aşchietoare cu microscopul optico-digital 2D	81	47
3.6. Măsurarea uzurii plăcuțelor aşchietoare cu microscopul digital 3D	82	48
3.7. Compararea rezultatelor și concluzii	85	49
3.7.1. Compararea rezultatelor și concluzii pentru tăișul nr. 1	85	49
3.7.2. Compararea rezultatelor și concluzii pentru tăișurile 2÷10	87	50
3.7.3. Compararea rezultatelor și concluzii pentru 10 tăișuri	89	51
Capitolul 4. Abordarea inovativă a utilizării curentului electric de aşchiere la burghiere	92	52
4.1. Stand experimental de măsurare a curentului electric de aşchiere la burghiere	93	53

4.2. Aprecierea calităţii unui lot de burghie	94	54
4.2.1. Identificarea aplicaţiei	94	54
4.2.2. Organizarea experimentelor.....	95	54
4.2.3. Realizarea experimentelor şi prelucrarea datelor	96	55
4.2.4. Interpretarea rezultatelor	99	56
4.3. Achiziţionarea inovativă a burghiilor	100	56
4.3.1. Identificarea aplicaţiei	100	56
4.3.2. Analiza experimentală a calităţii burghiilor din două loturi, de la doi furnizori, în funcţie de tensiunea curentului electric de aşchiere	100	57
4.3.3. Estimarea inovativă a durabilităţii burghiilor din lotul I şi lotul al II-lea utilizând dependenţă liniară	104	58
4.3.4. Validarea estimării durabilităţii burghiilor din lotul I şi al II-lea	106	60
4.3.5. Estimarea inovativă a durabilităţii burghiilor din lotul I şi lotul al II-lea utilizând relaţia polinomială de gradul 2, comparativ cu relaţia liniară	110	62
4.3.6. Analiza economică la achiziţionarea a două loturi de burghie	112	63
4.4. Abordare ecologică la aprecierea calităţii burghiilor	113	65
4.5. Abordarea eficienţei intrării line în aşchiere a burghiului de $\phi 8$ mm utilizând curentul electric de aşchiere	116	66
4.5.1. Argumente privind intrarea lină în aşchiere a burghiului	116	66
4.5.2. Prezentarea dispozitivului de intrare lină în aşchiere a burghiului	116	66
4.5.3. Planificarea experimentelor	118	66
4.5.4. Efectuarea experimentelor şi prelucrarea rezultatelor	119	67
4.6. Reingineria dispozitivului pentru intrarea lină în aşchiere a burghiului	123	69
4.6.1. Calculul forţei axiale de aşchiere la burghiere	124	69
4.6.2. Calculul momentului de aşchiere la burghiere	130	70
4.6.3. Calculul arcului dispozitivului pentru identificarea gamei de utilizare	136	71
4.6.4. Identificarea parametrilor de lucru pentru dispozitivul de intrare lină în aşchiere a burghiului	137	71
4.6.5. Modificarea arcului de lucru la dispozitivul de intrare lină în aşchiere a burghiului ..	138	72
4.7. Concluzii	139	73
Capitolul 5. Abordarea inovativă a utilizării curentului electric de aşchiere la strunjire	141	75
5.1. Stand de măsurare a curentului electric de aşchiere la strunjire	142	76
5.2. Îmbunătăţirea colectorului de curent electric la strunjire	144	76
5.3. Influenţa regimului de aşchiere asupra tensiunii curentului electric de aşchiere la strunjirea cu plăcuţe aşchietoare acoperite	145	77
5.3.1. Programarea şi efectuarea experimentelor	145	77
5.3.2. Prelucrarea datelor. Analiza ANOVA	148	78
5.3.3. Optimizarea regimului de aşchiere, folosind curentul electric de aşchiere, în vederea creşterii durabilităţii sculei aşchietoare, la strunjire	154	82
5.4. Tehnică inovativă privind aprecierea calităţii plăcuţelor aşchietoare fixate mecanic	156	84
5.4.1. Identificarea aplicaţiei şi stabilirea metodologiei privind aprecierea calităţii plăcuţelor aşchietoare	156	84
5.4.2. Determinarea grosimii straturilor de acoperire a plăcuţelor din carbură metalică ..	157	85
5.4.3. Determinarea durtăţii şi aderenţei straturilor de acoperire a plăcuţelor din carbură metalică	159	87

Abordări inovative la aşchiera metalelor - Teză de doctorat - Rezumat

5.4.4. Realizarea experimentelor și prelucrarea datelor obținute pentru aprecierea calității loturilor de plăcuțe aşchietoare	160	88
5.4.5. Aspecte economice privind loturile de plăcuțe aşchietoare	166	92
5.5. Concluzii	167	93
6. Concluzii finale, contribuții personale, diseminare și direcții viitoare de cercetare	170	96
6.1. Concluzii finale	171	97
6.2. Contribuții personale	180	101
6.3. Diseminarea rezultatelor obținute	181	102
6.4. Direcții viitoare de cercetare	182	103
Bibliografie selectivă	183	104
Anexe	198	-
Anexa 1 – Buletin de analiză a oțelului C45	198	-
Anexa 2 – Extras din raportul de măsurători a uzurii cu scannerul 3D GOM	199	-
Anexa 3 – Extras din raportul de măsurători a uzurii cu profilometrul digital 2D	201	-
Anexa 4 – Raport de măsurători a uzurii cu microscopul digital 3D	203	-
Anexa 5 – Măsurători ale uzurii cu microscopul optico-digital 2D	205	-
Anexa 6A – Raport de măsurători a grosimii stratului de acoperire pentru plăcuțe aşchietoare din lotul A	216	-
Anexa 6B – Raport de măsurători a grosimii stratului de acoperire pentru plăcuțe aşchietoare din lotul B	217	-
Anexa 6C – Raport de măsurători a grosimii stratului de acoperire pentru plăcuțe aşchietoare din lotul C	218	-
Anexa 7 – Extras din raportul de măsurători a durității straturilor de acoperire	219	-
Anexa 8 – Raport de măsurători a aderenței straturilor de acoperire pentru plăcuțele aşchietoare	230	-
Anexa 9 – Captură pentru raport de achiziție date la măsurarea tensiunii curentului electric de aşchiere	244	-
Scurt rezumat al tezei de doctorat (română / engleză)	245	110
Curriculum vitae	246	111

- **Content** (english language) –

	Pg. teză	Pg. rezumat
Synthesis of the thesis	9	9
Notation list	11	11
Abbreviations list	11	11
Chapter 1. Current state of research on phenomena in cutting metals that can be approached innovatively	13	13
1.1. The necessity for innovative approaches to metal cutting	13	13
1.2. Phenomena that occur when cutting metals	16	15
1.2.1. Introductory elements	16	15
1.2.2. Identifying the phenomena that occur when cutting metals	18	16
1.2.3. The cutting process seen as a system	19	17
1.2.4. Highlighting the complexity of the cutting process	19	17
1.3. Wear of the cutting tool	22	19
1.3.1. Basic elements	22	19
1.3.2. Online methods of measuring wear	27	22
1.3.3. Off-line methods of measuring wear	38	25
1.4. Electrical current at cutting	39	26
1.4.1. Identifying the effects and phenomena that give electrical current at cutting	39	26
1.4.2. The evolution of research on electric current at cutting	42	26
1.5. Conclusions	51	31
1.5.1 Conclusions about the wear of the cutting tool	51	31
1.5.2 Conclusions about the electrical current at cutting	52	32
Chapter 2. The objectives of the thesis	54	33
Chapter 3. Alternative methods for measuring the wear of the cutting inserts	56	35
3.1. Development of a methodology for measuring the wear of the cutting inserts	57	36
3.2. Identification and determination of human error for wear measurement	63	42
3.2.1. Identify sources of human error when measuring wear	63	42
3.2.2. Determining the measurement error induced by the operator.....	66	43
3.2.3. Determining the measurement error induced by independent operators	68	44
3.3. Measuring the wear of the cutting inserts using the 3D scanner	70	44
3.4. Measuring the wear of the cutting inserts using the 2D digital profilometer	79	45
3.5. Measuring the wear of the cutting inserts using the 2D optical-digital microscope ..	81	47
3.6. Measuring the wear of the cutting inserts using the 3D digital microscope	82	48
3.7. Comparison of results and conclusions	85	49
3.7.1. Comparison of results and conclusions for edge nb. 1	85	49
3.7.2. Comparison of results and conclusions for edges 2÷10	87	50
3.7.3. Comparison of results and conclusions for 10 edges	89	51

Chapter 4. Innovative approach of using electrical current at drilling	92	52
4.1. Experimental stand for measuring the electrical current at drilling	93	53
4.2. Assessment of the quality of a drill lot	94	54
4.2.1. Application identification	94	54
4.2.2. Organization of the experimental tries	95	54
4.2.3. Performing experiments and data processing	96	55
4.2.4. Interpretation of results	99	56
4.3. Innovative drills acquisition	100	56
4.3.1. Application identification	100	56
4.3.2. Experimental analysis of the quality of drills from two batches, from two suppliers, depending on the voltage of electrical current at cutting	100	57
4.3.3. Innovative estimation of the drills life from batches I and II using linear dependance	104	58
4.3.4. Validation of life estimation of the drills from batches I and II	106	60
4.3.5. Innovative estimation of the drills life from batches I and II using the polynomial of degree 2 relation, compared to the linear relation	110	62
4.3.6. Economic analysis when purchasing two batches of drills	112	63
4.4. Ecological approach to assessing the quality of drills	113	65
4.5. Approaching to the efficiency of smooth entrance in cutting of the drill of $\phi 8$ mm using the electrical current at cutting	116	66
4.5.1. Arguments regarding the smooth entrance in cutting of the drill	116	66
4.5.2. Presentation of the device for smooth entrance in cutting of the drill	116	66
4.5.3. Experiment planning	118	66
4.5.4. Performing experiments and processing results	119	67
4.6. Reengineering of the device for smooth entrance in cutting of the drill	123	69
4.6.1. Calculation of the axial cutting force at drilling	124	69
4.6.2. Calculation of the cutting moment at drilling	130	70
4.6.3. Calculation of the device spring to identify the range of use	136	71
4.6.4. Identification of the working parameters for the drill smooth entrance in cutting device	137	71
4.6.5. Modification of the working spring at the device for drill smooth entrance in cutting	138	72
4.7. Conclusions	139	73
Chapter 5. Innovative approach for using the electrical current at turning	141	75
5.1. Measuring stand for the electrical current at turning	142	76
5.2. Improvement of the electrical current collector at turning	144	76
5.3. The influence of the cutting regime on the voltage of the electrical current at cutting when turning with coated cutting inserts	145	77
5.3.1. Planning and performing experiments	145	77
5.3.2. Data processing. ANOVA analysis	148	78
5.3.3. Optimization of the cutting regime, using the electrical current at cutting, in order to increase the durability of the cutting tool at turning	154	82

5.4. Innovative technique for assesing the quality of mechanically fixed cutting inserts ..	156	84
5.4.1. Identification of the applicaton and establishment of the methodology for assesing the quality of cutting inserts	156	84
5.4.2. Determination of the thickness of the coating layers of metal carbide cutting inserts	157	85
5.4.3. Determination of the hardness and adhesion of the coating layers of metal carbide cutting inserts	159	87
5.4.4. Performing experiments and processing obtained data to assess the quality of cutting inserts batches	160	88
5.4.5. Economical aspects regarding cutting inserts batches	166	92
5.5. Conclusions	167	93
6. Final conclusions, personal contributions, dissemination and future directions of research	170	96
6.1. Final conclusions	171	97
6.2. Personal contributions	180	101
6.3. Dissemination of the obtained results	181	102
6.4. Future directions of research	182	103
Selected bibliography	183	104
Annexes	198	-
Annex 1 – Analysis Bulletin of C45 steel	198	-
Annex 2 – Excerpt from the wear measurement report with the 3D GOM scanner	199	-
Annex 3 – Excerpt from the wear measurement report with the 2D digital profilometer.....	201	-
Annex 4 – Wear measurement report with the 3D digital microcope	203	-
Annex 5 – Wear measurement with the 2D optical-digital microscope	205	-
Annex 6A – Measurement report for coating layer thickness for cutting inserts from batch A	216	-
Annex 6B – Measurement report for coating layer thickness for cutting inserts from batch B	217	-
Annex 6C – Measurement report for coating layer thickness for cutting inserts from batch C	218	-
Annex 7 – Excerpt from the coating hardness measurement report	219	-
Annex 8 – Measurement report for the adhesion of the coating layers of the cutting inserts	230	-
Annex 9 – Caputre for data acquisition report at voltage measurement of the electrical current at cutting	244	-
Annex 10 – Short summary of the doctoral thesis (Romanian / English)	245	110
Annex 11 – Curriculum vitae	246	111

SINTEZA TEZEI DE DOCTORAT

Prelucrarea metalelor este esențială în civilizația actuală. Utilizarea aşchierii la obținerea diverselor piese este, deocamdată, pe primul loc atât datorită preciziei de prelucrare cât și diversității formelor suprafețelor prelucrate. Necesitatea creșterii performanțelor procedeelelor de prelucrare prin aşchiere a condus atât la dezvoltarea sistemelor de prelucrare cât și la diversificarea metodelor și procedeelelor de control a rezultatului prelucrărilor. Pentru stăpânirea calității pieselor rezultate, cu influență hotărâtoare asupra fiabilității produselor, s-a introdus standardul de calitate ISO9001.

O prevedere expresă a standardului ISO9001 este *Îmbunătățirea continuă*. Aceasta nu se poate realiza dacă nu se face apel la abordări inovative. În acest context, prezenta teză de doctorat abordează, în mod inovativ, problematica fabricării produselor industriale utilizând procedeele de prelucrare prin aşchiere a metalelor

Capitolul 1 al tezei de doctorat, intitulat *Stadiul actual al cercetărilor privind tehnici inovative la aşchiera metalelor*, tratează atât necesitatea abordărilor inovative dar și sinteza principalelor fenomene ce au loc în timpul procesului de aşchiere. Totodată se dau exemple de abordări inovative la aşchiera metalelor. Se evidențiază modul de stăpânire a calității prin implementarea Sistemului de Management al Calității conform standardului SR EN ISO 9001, standard ce apelează la tratarea sistemică a proceselor. Se realizează legătura dintre *Îmbunătățirea continuă* din cuprinsul standardului și *Ingineria inovativă* ca mijloc de a îmbunătăți procesele, tehnologiile, tehnicile și managementul în domeniul prelucrărilor prin aşchiere a metalelor. Capitolul se încheie cu concluzii și prezintă, în mod sintetic, posibile noi direcții de abordări inovative la aşchiera metalelor.

În **Capitolul 2**, având denumirea de *Obiectivele teze de doctorat*, se stabilesc obiectivele principale ale tezei, pe baza concluziilor și direcțiilor de cercetare descrise în capitolul 1.

Capitolul 3, *Mijloace alternative pentru măsurarea uzurii plăcuțelor aşchietoare*, abordează problematica măsurării uzurii plăcuțelor aşchietoare cu noi echipamente, și anume: prin scanare 3D, cu profilometrul digital și cu microscop digital de ultimă generație, instrumente mai puțin utilizate pentru aprecierea uzurii.

În prima parte a capitolului se elaborează metodologia de lucru iar apoi se măsoară uzuri ale plăcuțelor aşchietoare cu noile mijloace la care se adaugă și microscopul 2D optico-digital. Se identifică sursele de eroare la măsurarea uzurii plăcuțelor aşchietoare și se determină eroarea de măsurare ce poate să o facă un singur operator dar și operatori multipli. Se compară valorile obținute și se ajunge la concluzia, pe baza rezultatului măsurărilor, că se poate utiliza pentru măsurarea uzurii oricare din echipamentele moderne precizate anterior.

Capitolul 4, intitulat *Abordarea inovativă a utilizării curentului electric de aşchiere la strunjire*, tratează problematica utilizării în industrie a curentului electric de aşchiere. Abordările sunt inovative deoarece, până în prezent, curentul electric de aşchiere, chiar dacă oferă cu uşurinţă informaţii asupra desfăşurării procesului de aşchiere la prelucrarea materialelor metalice cu tăişuri aşchietoare metalice, nu se utilizează la scară industrială. Folosind curentul electric de aşchiere se apreciază calitatea unui lot de burghie şi se elaborează metodologia inovativă de achiziţionare a burghiilor. Se scoate în evidenţă şi impactul ecologic al metodei elaborate. Totodată, se abordează posibilitatea utilizării curentului electric de aşchiere la determinarea eficienţei intrării line în aşchiere a burghiului şi, aplicând principiul îmbunătăţirii continue, se realizează reingineria dispozitivului de intrare lină în aşchiere a burghiului, rezultând, în final, mărirea gamei de utilizare.

Capitolul 5, cu titlul *Abordarea inovativă a utilizării curentului electric de aşchiere la strunjire* debutează cu îmbunătăţirea colectorului de curent electric din componenţa standului de măsurare. Pentru cercetări experimentale se utilizează un multimetru de ultimă generaţie dotat cu placă de achiziţie date şi softul aferent pentru memorarea şi prelucrarea primară a datelor obţinute pe cale experimentală.

Primele cercetări experimentale sunt axate pe influenţa regimului de aşchiere la strunjire, utilizând plăcuţe acoperite cu straturi dure, asupra tensiunii curentului electric de aşchiere. După programarea experimentelor, utilizând un plan factorial complet, şi efectuarea lor, s-a realizat prelucrarea datelor folosind sistemul software Design Expert. În urma analizei ANOVA a rezultat o relaţie liniară între parametrii regimului de aşchiere şi tensiunea curentului electric de aşchiere. S-a realizat optimizarea regimului de aşchiere prin minimizarea tensiunii curentului de aşchiere, fapt ce conduce şi la mărirea durabilităţii plăcuţelor aşchietoare acoperite cu diverse straturi rezistente la uzură.

Curentul electric de aşchiere este utilizat, în continuare, la aprecierea calităţii a trei loturi de plăcuţe aşchietoare acoperite, fixate mecanic. Se determină grosimea straturilor de acoperire, duritatea şi aderenţa acestora, cu aparatură de ultimă generaţie. După realizarea cercetărilor experimentale şi prelucrarea datelor obţinute se apreciază calitatea loturilor de plăcuţe aşchietoare şi sunt evidenţiate aspecte economice.

În **capitolul 6**, *Concluzii finale, contribuţii personale, diseminare şi direcţii viitoare de cercetare*, sunt prezentate concluzii generale şi sunt evidenţiate contribuţiile personale. Totodată sunt precizate articolele ştiinţifice publicate de către autoare din domeniul tezei de doctorat şi sunt elaborate direcţii viitoare de cercetare.

Teza de doctorat cuprinde 75 de tabele (20 de tabele în anexe), 178 de figuri (40 de figuri în anexe), 53 de relaţii şi 204 surse bibliografice.

LISTA DE ABREVIERI

CAD - Computer Aided Design;
CAE - Computer Aided Engineering;
CAPP - Computer Aided Process Planning;
CAM - Computer Aided Manufacturing;
CCD - Charge-Coupled Device;
CNC - Computer Numeric Command;
FEM - Finite Element Method;
LED - Light-Emitting Diode;
SEM - Scanning Electron Microscopy;
TCM - Tool Condition Monitoring.

LISTA DE NOTAȚII

A – aşchie;
 C_F , C_M – coeficienți din relațiile forței de aşchiere (la burghiere – forță axială) și a momentului de torsiune;
 C_s – coeficient ce ține cont de materialul de prelucrat;
D – diametrul burghiului;
E – tensiunea electromotoare a termocuplului piesă-sculă;
E – modul de elasticitate longitudinal;
F – forța;
 f_b – săgeata de blocaj a arcului; f_{max} – săgeata maximă;
 F_b – forța de blocaj a arcului; F_{max} – sarcina maximă;
 F_{fca} – forța de frecare pe fața de aşezare a sculei aşchietoare; $F_{pretens}$ – forța de pretensionare;
 F_t – forța totală de aşchiere; G – modul de elasticitate transversal;
HB – duritatea;
 H_0 – înălțimea arcului în stare liberă; H_b – înălțimea de blocaj a arcului;
 H_{min} – înălțimea minimă de lucru; i – indicele arcului;
I – intensitatea curentului electric de aşchiere;

Abordări inovative la aşchiera metalelor - Teză de doctorat – Lista de abrevieri și notații

K_F, K_M – coeficienți compuși de corecție; K_{aF} – coeficient de ascuțire;
 K_{K_F} – coeficienți pentru unghiul la vârf; K_{η_F}, K_{η_M} – coeficienți pentru grosimea relativă a miezului burghiului; K_{saF} – coeficient de supraascuțire (ajustarea tășului transversal);
 K_s – coeficient în funcție de lungimea alezajului;
 K_T – adâncimea craterului; K_M – distanța dintre tășul aşchietor și cel mai adânc punct din crater;
 K_F – lățimea materialului dintre crater și tăiș; KE – deplasarea radială a vârfului sculei;
 L – lichid de aşchiere;
 M – moment;
 n – turația burghiului (sau a piesei); n – numărul de spire ale arcului;
 n_r – numărul spirelor de reazem;
 P – piesă;
 PT_{SF} – proces tehnologic de elaborare a semifabricatelor; PT_{PM} – proces tehnologic de prelucrări mecanice; PT_M – proces tehnologic de montaj; PT_i – proces tehnologic de încecări;
 PT_{FIN} – proces tehnologic de finisare;
 r – rezistența internă a termocuplului;
 r – raza la vârf;
 R_a – parametrul de rugozitate R_a ;
 R_G – rezistența în ghidajele mașinii-unelte și cărucior; R_i – rezistența internă de aşchiere;
 R_R – rezistența în rulmenți, cutie de viteze, cutie de avansuri;
 R_P – rezistența în vârful de centrare și pinolă;
 f, s – avansul de aşchiere;
 S – sculă aşchietoare;
 S_A, S_B – coeficienți Seebeck;
 a_p, t – adâncimea de aşchiere;
 T – timpul de prelucrare efectivă cu un burghiu;
 U – tensiunea curentului electric de aşchiere;
 v, v_c – viteza de aşchiere;
 VB_B – uzura tășului aşchietor pe fața de aşezare; VB_{MAX} – uzura maxima;
 α – unghiul de aşezare al sculei aşchietoare; γ – unghi de degajare; ε – unghi la vârf al sculei;
 η – grosimea relativă a miezului burghiului;
 μ_T – coeficientul Thomson;
 π_{AB} – coeficientul Peltier;
 σ_r – rezistența la rupere de compresiune;
 θ – temperatura în zona de aşchiere;
 τ – timpul de aşchiere;
 τ_{at} – rezistență admisibilă la torsiune.

Capitolul 1 STADIUL ACTUAL AL CERCETĂRIILOR PRIVIND FENOMENE LA AŞCHIEREA METALELOR CE POT FI ABORDATE INOVATIV

1.1. Necesitatea abordărilor inovative la aşchiera metalelor

Construcţia de Maşini şi Echipamente reprezintă un pilon principal în evoluţia şi dezvoltarea umanităţii. Materialele utilizate în Fabricaţia de Maşini şi Echipamente sunt diverse: metale şi aliajele acestora, materiale plastice, materiale compozite, materiale ceramice, sticlă, lemn, răşini, etc. Cea mai mare pondere o deţin metalele şi aliajele acestora iar în consecinţă *Construcţia de Maşini* apelează la modelarea acestora în piese, iar piesele sunt introduse în subansamble şi în produse finite.

Abordarea sistemică a modelării proceselor de elaborare, prelucrare şi utilizare a metalelor are la bază noţiunea de *system*.

Construcţia de Maşini, ca orice alt domeniu care concură la evoluţia civilizaţiei umane, utilizează diverse procese pentru îndeplinirea obiectivelor, procese care sunt tratate sistemic. Calitatea a devenit un obiectiv prioritar iar implementarea standardului SR EN ISO 9001 este o necesitate pentru orice firmă care doreşte să ofere produse de calitate.

Îmbunătăţirea continuă din Sistemul de Management al Calităţii apelează la un model de Management al Calităţii bazat tot pe procese care, de asemenea, sunt tratate sistemic (fig. 1.1).

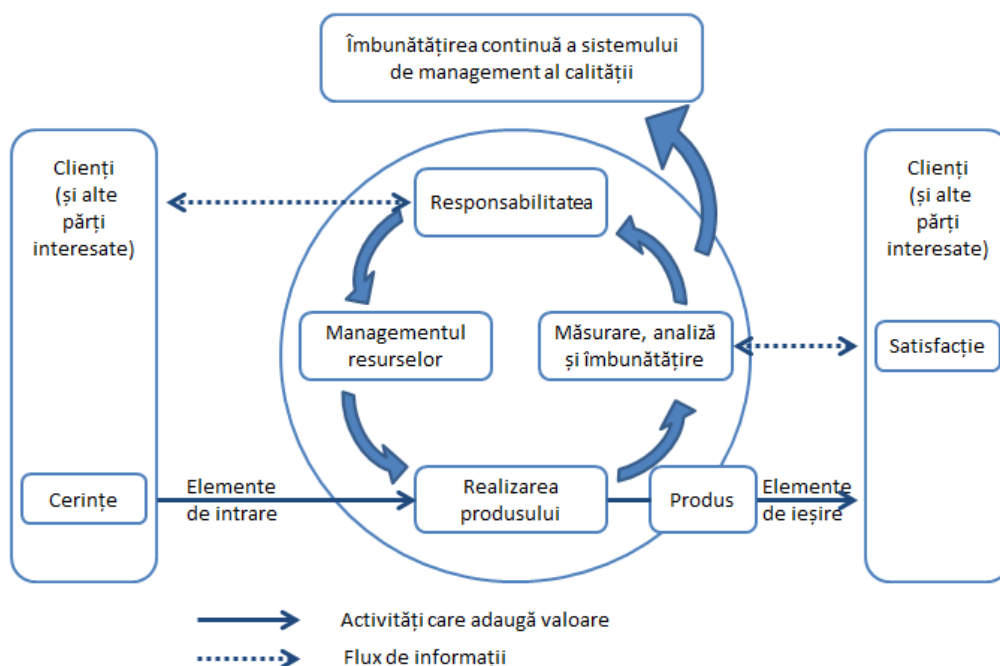


Fig. 1.1. Schema modelului de îmbunătăţire a unui sistem de Management al Calităţii bazat pe procese [SR EN ISO 9001]

Procesul tehnologic de prelucrare prin aşchiere PT_{PA} este o componentă a procesului tehnologic de prelucrări mecanice și are la bază sistemul tehnologic de prelucrare prin aşchiere (fig. 1.2).

Deoarece aşchiera reprezintă încă modalitatea principală de prelucrare a materialelor metalice, interesul pentru îmbunătățirea continuă la orice nivel este o preocupare constantă.

O îmbunătățire continuă nu poate fi realizată dacă nu se vine cu o inovare.

Conform Dicționarului explicativ al limbii române [Dex 98], inovație înseamnă "rezolvarea unei probleme de tehnică sau de organizare a muncii cu scopul îmbunătățirii (productivității) muncii, perfecționării tehnice sau raționalizării soluțiilor aplicate".

Rezultă că *inovativ* poate fi introdus în *îmbunătățirea continuă* care este cerință obligatorie în Managementul Calității (SR EN ISO 9001). Se poate spune că orice îmbunătățire în Construcția de Mașini apelează la tehnici și tehnologii inovative.

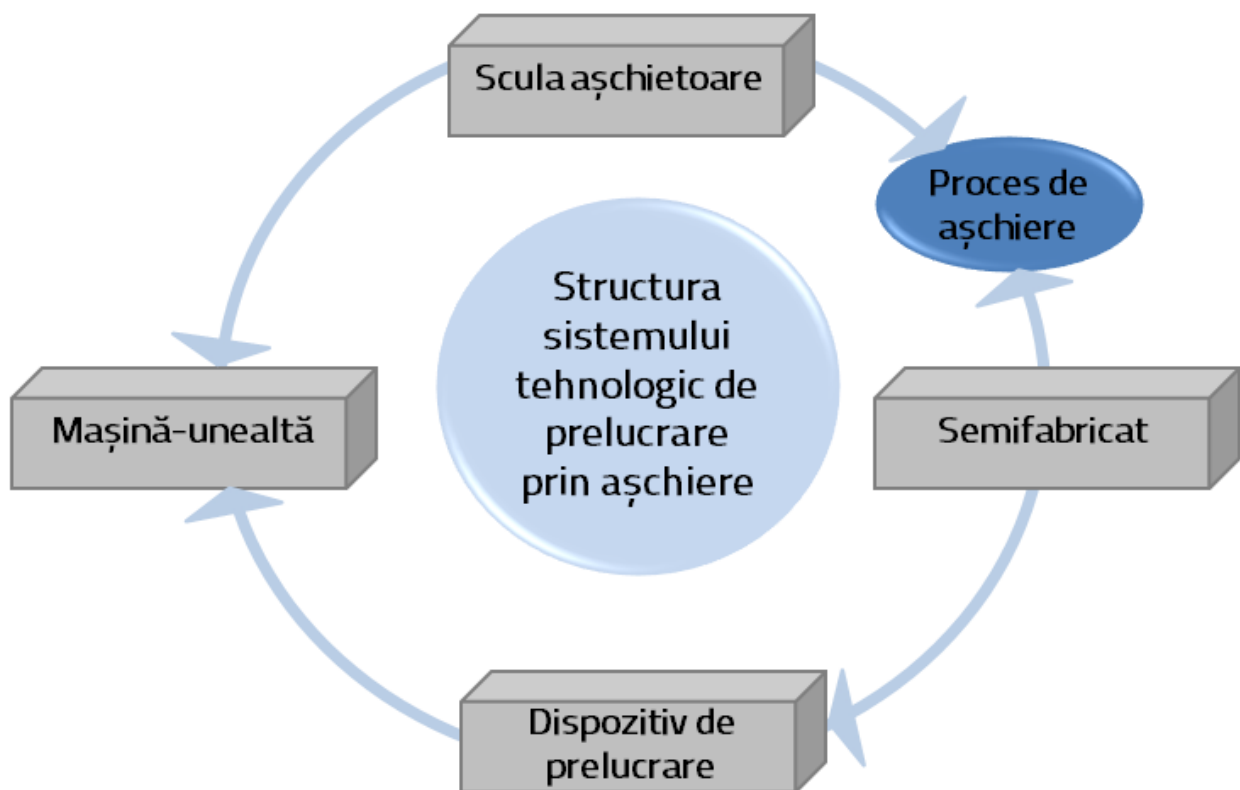


Fig. 1.2. Schema structurii sistemului tehnologic de prelucrare prin aşchiere [DIT08]

Abordarea inovativă în construcția de mașini are ca puncte de plecare două aspecte:

1. tehnică inovativă (exemplu: mașini inovative bazate pe tehnologii inovative);
2. tehnologii inovative (exemplu: noi procedee de realizare a unui produs).

Cele două abordări se întrepătrund în sensul că o tehnică inovativă conduce la realizarea de tehnologii inovative dar și o tehnologie inovativă presupune realizarea de tehnică inovativă.

Exemple de grupări de tehnici și tehnologii inovative din construcția de mașini sunt: CAD/CAE/CAPP/CAM; Rapid Prototyping; Rapid Tooling; Rapid Manufacturing; Reverse Engineering; Concurrent Engineering; Virtual Engineering [MAN12].

O abordare inovativă fie în tehnică, fie în tehnologie se caracterizează prin următoarele:

- aduce o noutate în raport cu o tehnică sau tehnologie utilizată curent;
- îmbunătățește calitativ un produs sau o piesă;
- simplifică tehnologiile de fabricație și de control;
- scurtează ciclul de fabricație;
- crește productivitatea muncii;
- îmbunătățește condițiile de muncă.

Abordarea inovativă în Construcția de Mașini, pe lângă tehnici și tehnologii se adresează și managementului [DAI15a].

1.2. Fenomene ce au loc la aşchiera metalelor

1.2.1. Elemente introductive

Pentru utilizarea adecvată a unor noțiuni specifice Construcției de Mașini se vor prezenta câteva definiții.

Procedeu – “Mijloc folosit pentru a ajunge la un anumit rezultat; soluție practică adoptată ca sistem pentru efectuarea unui lucru; mod sistematic de executare a unei operații sau a unui proces prin folosirea unei anumite metode; fel, mod de acțiune pentru realizarea unui scop” [DEX98].

Metodă – “Procedeu sau ansamblu de procedee folosite în realizarea unui anumit scop” [DEX98].

Proces – “Sucesiune de stări, etape, stadii, prin care trec, în desfășurarea lor temporală, în schimbarea lor, diverse obiecte, fenomene etc; desfășurare în timp a unui eveniment sau a unui fenomen” [DEX98]; “un ansamblu de activități corelate sau în interacțiune care transformă elementele de intrare în elemente de ieșire” [SR EN ISO 9000].

Proces tehnologic – totalitatea operațiilor care comportă prelucrări mecanice și chimice, tratamente termice, impregnări, montaje etc și prin care materiile prime, semifabricatele etc. sunt transformate în produse finite” sau repararea ori întreținerea unui sistem tehnic [PIC92].

Proces de fabricație – totalitatea procedeelelor folosite pentru transformarea materiilor prime și a semifabricatelor în produse finite” [PIC92].

Dintre toate metodele și procedeele de prelucrare a pieselor enumerate mai înainte, așa cum s-a arătat și în subcapitolul 1.1, procedeul cu cel mai mare grad de universalitate și cu mari performanțe, rămâne, deocamdată, **așchiera**.

Generarea suprafeţelor prin aşchiere poate fi definită ca fiind îndepărtarea mai multor straturi de material de pe semifabricat, sub formă de aşchii, cu ajutorul unei scule aşchietoare, aceasta fiind un corp ce posedă un tăiş cu o duritate mai mare decât a materialului de prelucrat [DIT08].

1.2.2. Identificarea fenomenelor ce au loc la aşchiera metalelor

Pentru a aborda inovativ prelucrarea prin aşchiere este necesar identificarea fenomenelor care au loc în timpul procesului de aşchiere.

În figura 1.3 se prezintă că fenomenele ce au loc în timpul procesului de aşchiere sunt ca efecte primare ale unor acţiuni mecanice primare determinate de forţele de aşchiere [DIT08], [DAI19].

Cercetările la aşchiere s-au concentrat asupra efectelor primare deoarece acestea se pot evidenţia şi măsura mai uşor decât acţiunile primare *cauză*. Efectele primare reprezintă ieşirea din sistemul *proces de aşchiere*.

Acţiunile primare *cauză* pot fi puse în evidenţă fie prin oprirea procesului de aşchiere şi pătrunderea în zona de aşchiere (ex. deformaţii plastice, ruperi), fie indirect prin intermediul fenomenelor *efect* (ex. căldura degajată datorită frecărilor).

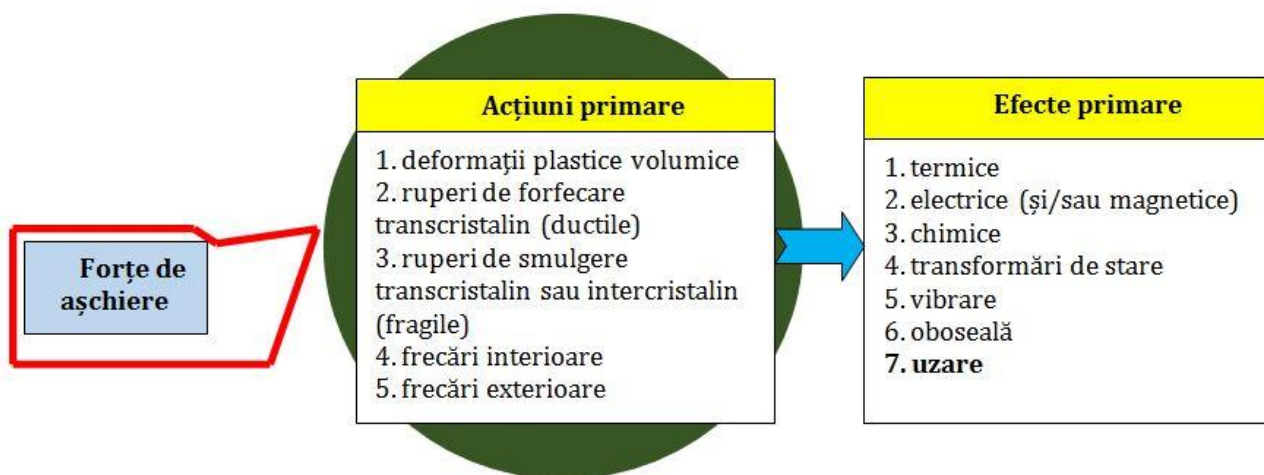


Fig. 1.3. *Acțiuni primare și efecte primare la aşchiere [DAI19]*

Acţiunile primare sunt mecanice deoarece au loc începând cu intrarea sculei aşchietoare în materialul de prelucrat și sunt determinate, în principal, de rezistenţa materialului de prelucrat la înaintarea sculei. Cum se consideră că procesul de aşchiere are loc când forţa sculei aşchietoare, dată de maşina-unealtă, egalează rezistenţa la aşchiere a materialului de prelucrat, rezistenţele la aşchiere sunt studiate sub denumirea de forţele de aşchiere.

1.2.3. Procesul de aşchiere privit ca sistem

Interacţiunea dintre fenomenele ce au loc în timpul desfăşurării procesului de aşchiere poate fi evidenţiată mai uşor dacă procesul de aşchiere este privit ca *sistem*. O identificare amănunţită a procesului de aşchiere privit ca *sistem* (fig. 1.4) este detaliată în sursa bibliografică [DIT08].

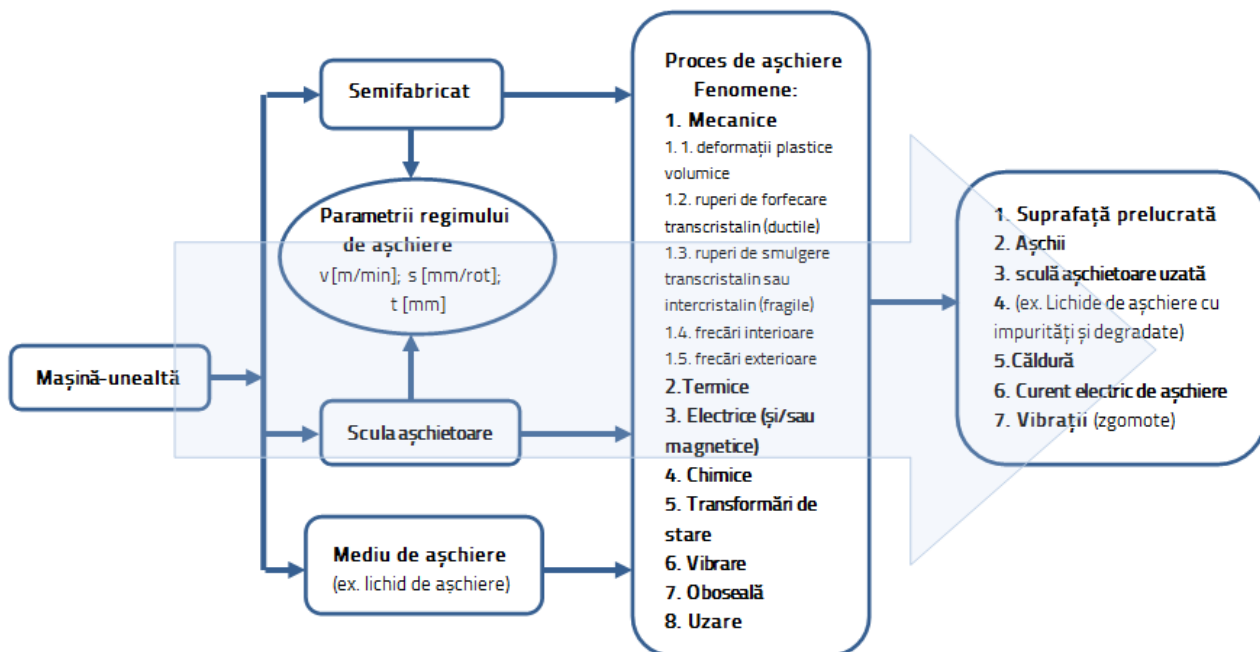


Fig. 1.4. Schema procesului de aşchiere ca sistem [DIT08]

1.2.4. Evidenţierea complexităţii desfăşurării procesului de aşchiere

Pentru ca procesul de aşchiere să fie repetitiv identic este necesar ca intrările în sistem să aibe caracteristici constante. Cum sunt foarte multe caracteristici se poate spune că nici un proces de aşchiere nu seamănă cu altul.

În literatura de specialitate [DIT08] se identifică caracteristicile elementelor de intrare în sistemul *Proces de aşchiere* care se grupează în caracteristici ce se menţin constante în procesul de aşchiere și caracteristici ce variază.

Elementele de ieşire din procesul de aşchiere se pot grupa în două:

- cu variație lentă în timp (ex. caracteristicile suprafeței prelucrate, aşchiile, lichidele de aşchiere, căldura, curentul electric de aşchiere, uzura sculei aşchietoare)
- cu variație rapidă în timp (ex. vibrațiile).

În figura 1.5 este prezentată schema desfăşurării complexe a procesului de aşchiere cu interconexiunile fenomenelor, calitativ, în care [DIT08]:

VB_B – uzura tăişului aşchietor pe fața de aşezare; α – unghiul de aşezare al sculei aşchietoare; $F_{f\alpha}$ – forța de frecare pe fața de aşezare a sculei aşchietoare; θ – temperatura în zona de aşchiere; R_i – rezistența internă de aşchiere; F_t – forța totală de aşchiere; σ_r – rezistența la rupere de compresiune; HB – duritatea; R_a – rugozitatea;

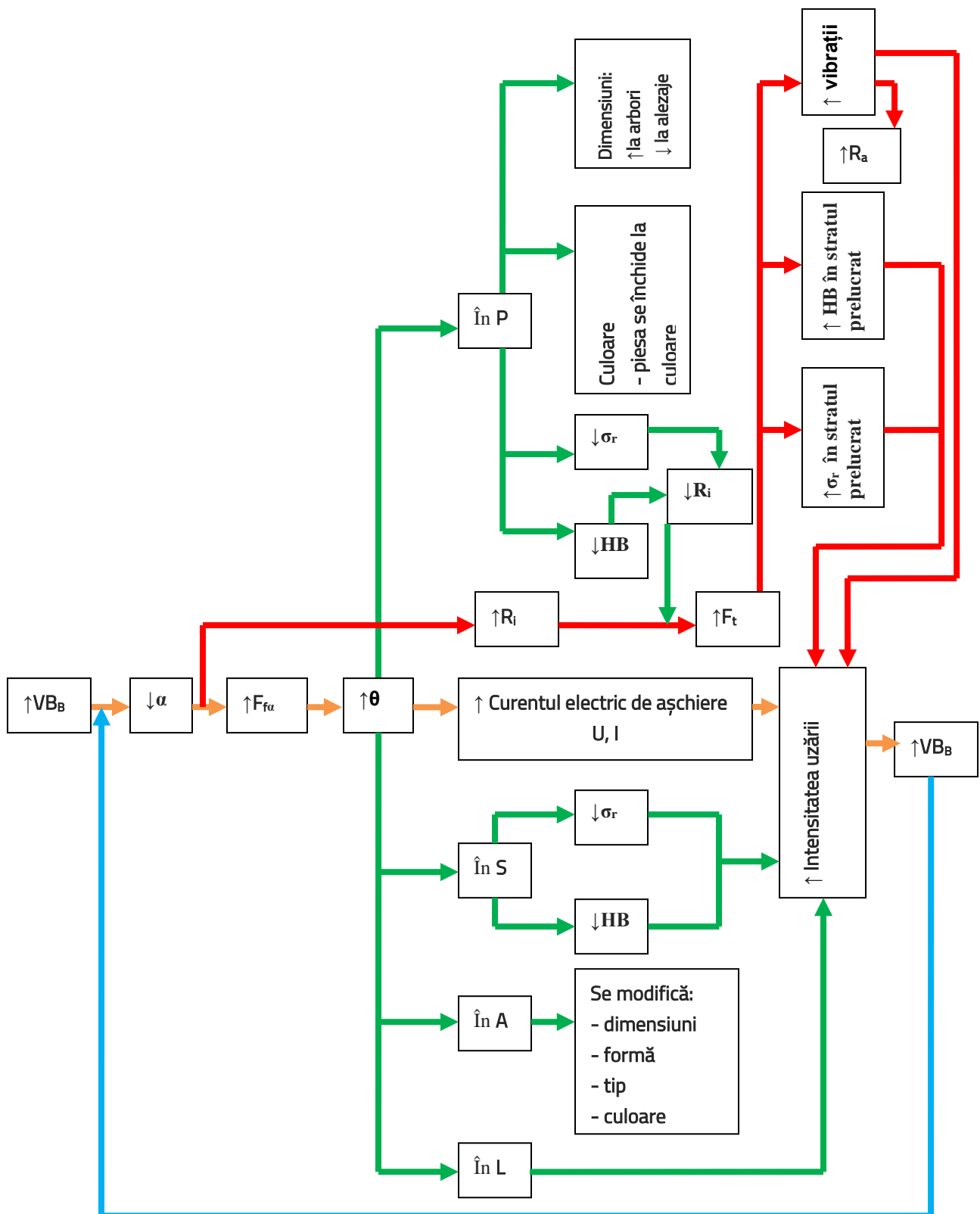


Fig. 1.5. Schema consecințelor uzării sculei aşchietoare asupra desfăşurării procesului de aşchiere [DIT08]

U și I – tensiunea și intensitatea curentului electric de aşchiere.

Semantică: ex. $\uparrow VB_B$ – crește uzura pe fața de aşezare; $\downarrow \alpha$ – scade valoarea unghiului de aşezare;

P – piesă; S – sculă aşchietoare; A – aşchie; L – lichid de aşchiere.

Modul de desfășurare al procesului de aşchiere indică faptul că acesta este un sistem primar cu buclă de reacție degenerativă [DIT08]. Odată declanșat procesul de aşchiere poate fi cel mult întrerupt iar degenerarea se manifestă până la uzura admisibilă a tăişului aşchietor. Un nou proces de aşchiere are loc odată cu reascuțirea/schimbarea tăişului sculei aşchietoare.

Fenomenele ce au loc la aşchiere au fost intens studiate și sunt bine semnalate de literatura de specialitate.

În cele ce urmează se detaliază două fenomene: uzura sculei aşchietoare și curentul electric de aşchiere, motivul fiind alegerea lor pentru abordări inovative.

1.3. Uzura sculei aşchietoare

1.3.1. Elemente de bază

Fenomenul de uzare se referă la îndepărtarea de material de pe fețele active ale sculei în timpul procesului de aşchiere. Fenomenul de uzare are drept consecință uzura sculei aşchietoare [DIT08].

Conform ISO 3685, uzura sculelor aşchietoare poate fi clasificată în: uzura la colț, uzura pe flanc (pe fața de aşezare), crestătură (uzura prin oboseală și/sau o incluziune în materialul de prelucrat) și uzura tip crater (fig. 1.6). Primele trei tipuri apar pe suprafața de aşezare la contactul dintre sculă și piesa iar uzura tip crater apare pe suprafața de degajare la contactul dintre sculă și aşchie.

Uzura pe flanc (pe fața de aşezare) prezintă cel mai mare interes deoarece apare pe orice tip de tăiş aşchietor și reprezintă criteriul utilizat în determinarea durabilității sculei.

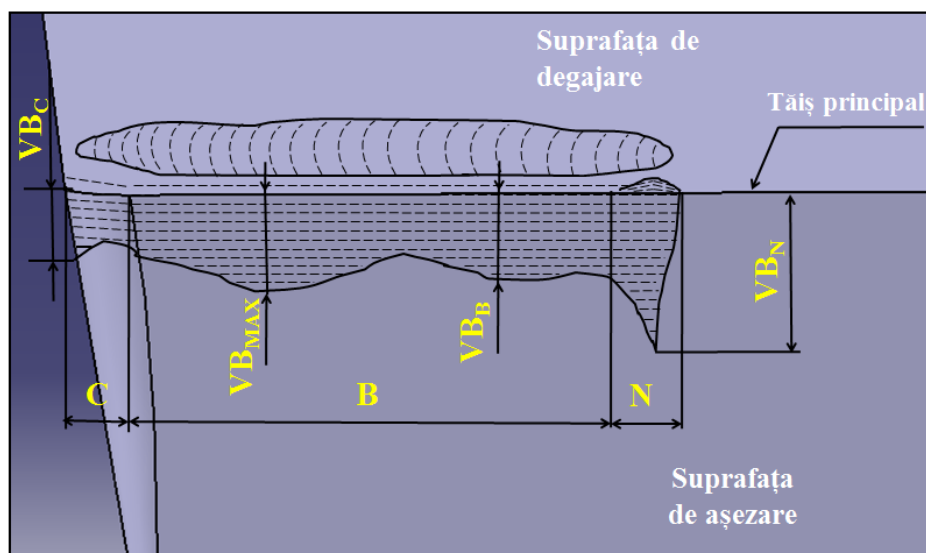


Fig. 1.6. Caracteristicile uzurii tăişului aşchietor pe fața de aşezare [ISO 3685]

Aşa cum este prezentat în fig. 1.6, conform ISO 3685 (este asimilat de STAS 12046/1), partea uzată a tăişului aşchietor este împărţită în trei zone:

1) zona C – uzura la colt; 2) zona B – uzura pe flanc; 3) zona N – crestătură.

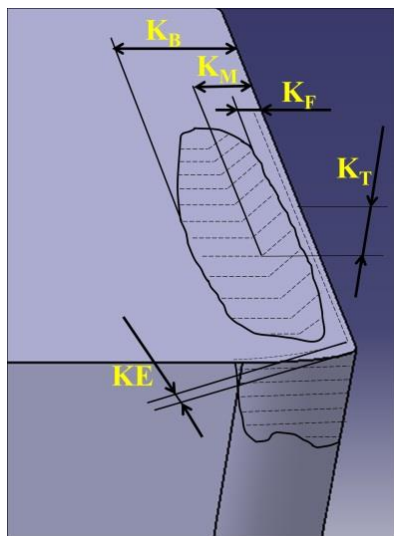
Durabilitatea sculei este determinată de doi parametri ce sunt măsurăţi în zona B:

1. VB_{MAX} – uzura maxima; 2. VB_B – uzura medie.

Valorile recomandate pentru uzura admisibilă sunt $VB_B = 0,3$ mm pentru o uzură uniformă și $VB_{MAX} = 0,6$ mm pentru o uzură neuniformă [SID13]. În literatura de specialitate [DIT08] se indică pentru uzura admisibilă diverse valori, în funcție de procedeul de prelucrare, de scula aşchietoare și de materialul tăişului aşchietor.

Uzura tip crater apare împreună sau concomitent cu uzura pe flanc, iar caracteristicile sale sunt prezentate conform ISO 3685, în fig. 1.7, în care:

- K_T – adâncimea craterului;
- K_M – distanța dintre tăişul aşchietor și cel mai adânc punct din crater;
- K_B – distanța dintre tăişul aşchietor și capătul craterului;
- K_F – lățimea materialului dintre crater și tăiş;
- KE – deplasarea radială a vârfului sculei.



Evoluția uzurii în timp prezintă trei faze (fig. 1.8) [KIO10, DIT08]:

1. faza I – uzura inițială (sau uzura de început);
2. faza II – uzura normală până la atingerea uzurii admisibile;
3. faza III – uzura accelerată care poate conduce în orice moment la ruperea sculei.

La sfârșitul fazei a II-a, procesul de aşchiere trebuie întrerupt pentru înlocuirea sau ascuțirea tăişului aşchietor. Din acest motiv, pentru estimarea cât mai corectă a momentului apropierei de uzura admisibilă, monitorizarea evoluției uzurii sculei reprezintă un permanent domeniu de interes.

Fig. 1.7. Caracteristicile uzurii tip crater [ISO 3685]

Timpul de aşchiere efectivă până la atingerea uzurii admisibile poartă numele de **durabilitate a sculei aşchietoare**.

În funcție de obiectivele urmărite, măsurarea uzurii poate fi făcută on-line, direct pe mașina-unealtă, în timpul procesului de aşchiere, sau off-line, separat sau nu, de mașina-unealtă, utilizând instrumente de măsură și control.

Metoda on-line pentru determinarea uzurii este cunoscută în literatura de specialitate sub numele TCM (Tool Condition Monitoring - monitorizarea stării sculei) și poate fi clasificată în

TCM direct și TCM indirect. TCM direct constă în măsurarea propriu-zisă a uzurii cu tăişul aşchietor aflat încă pe maşina-unealtă, utilizând sisteme optice, iar TCM indirect se referă la estimarea uzurii în timpul procesului de aşchiere, prin măsurarea altor factori corelați cu valoarea uzurii [DIT08].

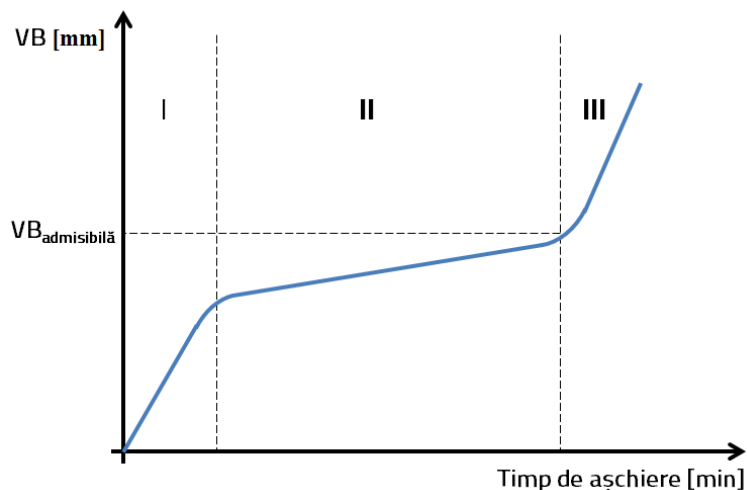


Fig. 1.8. Evoluția uzurii în timp [KIO10]

Măsurarea uzurii folosind metoda TCM directă este mai precisă decât cea a estimării, dar prezintă și dezavantaje. Principalul dezavantaj constă în necesitatea întreruperii procesului de aşchiere pentru ca uzura să poată fi măsurată. Celelalte dezavantaje constau în faptul că tăişul trebuie să fie curăţat de aşchii și lichid de aşchiere, iar iluminatul în interiorul maşinii-unelte ar trebui să fie unul corespunzător.

Metoda TCM indirectă se bazează pe senzori ce sunt sensibili la fenomenele din procesului de aşchiere cum ar fi forţa, emisia acustică (amplitudinea vibraţiilor la 1000 Hz), puterea motorului, vibraţiile în sens larg și temperatura. Analizând aceste fenomene și măsurând parametrii acestora se poate estima valoarea instantanee a uzurii tăişului aşchietor dar și momentul când aceasta atinge valoarea admisibilă.

În urma consultării unui număr de 102 lucrări, în figura 1.9 se prezintă procentul lucrărilor care se referă la cele trei categorii de metode utilizate pentru măsurarea uzurii.

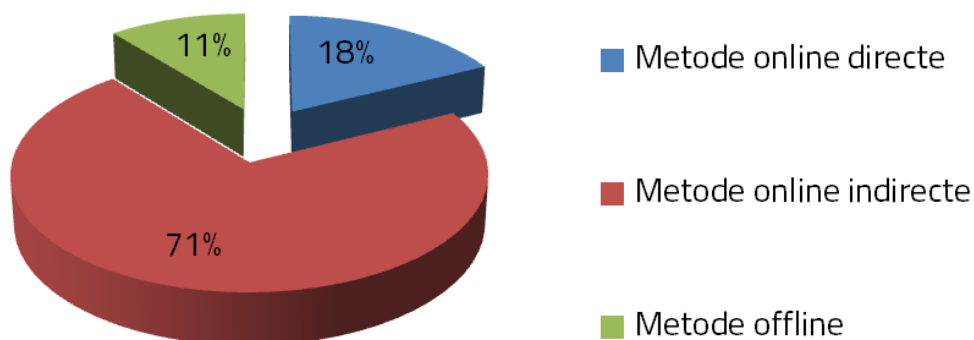


Fig. 1.9. Procentul lucrărilor publicate în cele trei direcții din domeniul măsurării uzurii sculelor aşchietoare

1.3.2. Metode on-line de măsurare a uzurii

A. Metode directe on-line de măsurare a uzurii

Măsurarea uzurii în timpul procesului de aşchiere reprezintă o provocare pentru cercetători. Datorită lichidului de aşchiere, a aşchiilor și a iluminatului necorespunzător, realizarea unor măsurători precise a uzurii este dificilă, iar dacă se dorește evaluarea uzurii fără întreruperea procesului de aşchiere atunci această sarcină devine și mai dificilă, dar posibilă datorită dezvoltării continue a tehnologiilor optice și de procesare a imaginilor.

Un sistem optic de măsurare este alcătuită din cameră CCD, un microscop dacă este necesar, sistem de iluminare, și un computer cu software pentru procesarea imaginilor.

Un aspect foarte important pentru a obține valori precise ale uzurii este reprezentat de sistemul de iluminare. Sunt mai multe tipuri de sisteme de iluminat cum ar fi lămpile fluorescente sau cu halogen, lumina LED, sau laser, iar utilizarea filtrelor cu infraroșu este recomandată pentru obținerea unui profil mult mai clar al uzurii [DUT14].

După ce este preluată imaginea uzurii pe flanc, sunt utilizate tehnici de procesare a imaginilor pentru îmbunătățirea clarității imaginii uzurii prin reducerea imperfecțiunilor, pentru a delimita suprafața uzată de suprafața neuzată și pentru obținerea conturului uzurii în vederea determinării caracteristicilor. Tehnicile de procesare a imaginilor folosite pentru aşchiere sunt [DUT14]: interpolare, netezire, mărirea clarității, transformări în domeniul frecvenței (transformatele Fourier, Wavelet), segmentarea imaginii, analiza texturii.

În prezent sistemele optice sunt utilizate în mare parte pentru măsurătorile pe mașina-unealtă. Utilizând o camera CCD a fost dezvoltat un sistem bazat pe analiza imaginilor succesive pentru o măsurare periodică a uzurii pe flanc [WAN05]. Această tehnologie a fost dezvoltată pentru operația de frezare iar imaginile flancului uzat au fost captate fără întreruperea rotației sculei, dar pentru o viteză mică. Aceeși cercetători au propus măsurarea uzurii pe flanc utilizând o camera CCD pentru obținerea de imagini binare și apoi au dezvoltat o metodă pentru detectarea automată a conturului uzurii [WAN06]. Zhang a dezvoltat un algoritm utilizând un sistem optic de măsurare directă a uzurii pentru freze, cu rezultate foarte precise, ce implică programarea sculei pentru a se opri în aceeași poziție pentru a fi curățată și pentru a măsura uzura [ZHA13]. O metodă similară a fost dezvoltată de Li ș.a. [LI13] pentru plăcuțe aşchietoare și integrate într-un centru de prelucrare CNC. Malekian ș.a. au proiectat un sistem TCM ce utilizează și metoda directă și cea indirectă [MAL09]. Pentru măsurarea directă a uzurii a fost utilizat un microscop și o cameră CCD iar rezultatele au fost corelate cu alți parametri studiați în vederea estimării stării sculei. Alte cercetări [ZHU17] au propus, pentru micro-frezare, o nouă metodă de creștere a regiunii pentru procesarea imaginilor uzurii, bazată pe analiza componentelor morfologice. De asemenea, pentru urmărirea stadiului tășului aşchietor a fost dezvoltat un sistem optic utilizând două camere CCD [SZY16].

Li și An [LI16] au propus o metodă pentru centrarea automată și segmentarea suprafeței uzate în vederea obținerii de valori precise ale uzurii pe flanc, în cazul procesului de strunjire. Tot pentru procesul de strunjire a fost măsurată uzura pe flanc a plăcuțelor aşchietoare utilizând un sistem optic și tehnici de clasificare bazate pe descriptori geometrici pentru a obține trei categorii de uzură (mică, medie și mare) cu estimarea probabilității de apartenență la aceste categorii [CAS07].

Pentru a minimaliza problema utilizării lichidului de aşchiere, în metoda TCM directă, s-a propus un sistem microscopic confocal fluorescent, utilizând un microscop confocal, o cameră CCD și o diodă laser pentru a induce fluorescența [TAK16].

În ceea ce privește uzura tip crater, caracteristicile sale de adâncime pot fi evaluate utilizând echipament adițional cum ar fi un microscop sau un proiector de franje paralele cu ajutorul căruia se pot obține imagini 3D. În acest scop a fost dezvoltat un sistem de măsurare a sculei [CER15a, CER15b] și un dispozitiv de prindere pentru utilizarea lor pe mașina-unealtă, utilizând un profilometru laser 2D tip Keyance. Au fost obținute imagini 3D precise ale sculei aşchietoare, aceasta fiind montată pe mașină. Jurkovic ș.a. [JUR05] au dezvoltat o mașină optică formată dintr-o cameră CCD și o diodă laser cu proiector de franje pentru a măsura atât uzura pe fața de aşezare cât și cea de pe fața de degajare. În alte cercetări [KAR97, NIR01] au fost dezvoltate tehnici stereo de obținere a imaginilor pentru a măsura on-line uzura tip crater.

O altă echipă de cercetare a abordat atât uzura pe flanc, cât și uzura tip crater, prin întreruperea procesului de strunjire din minut în minut pentru a capta imaginea uzurii pe flanc și pentru a măsura uzura de tip crater cu un microscop, în scopul programării unei rețele neuronale bazată pe modelul ADN-ului [DAD17].

În ceea ce privește procesul de rectificare, a fost dezvoltat un sistem de măsurare prin scanare 3D pentru măsurarea uzurii on-line, prin urmărirea schimbării geometriei suprafețelor plane ale discului abraziv. Acesta este scanat pe mașina de rectificat, dar metoda presupune întreruperea procesului [LIP14].

O altă metodă utilizată pentru monitorizarea on-line a uzurii sculei este tehnica ultrasunetelor. Abu-Zahra și Yu a îndreptat emisia de ultrasunete către scula aşchietoare iar reflecția lor a condus la digitizarea uzurii pe flanc și pe vârf [ABU03]. Utilizând aceeași tehnică prin ultrasunete, într-o altă cercetare au fost urmărite caracteristicile de adâncime și lățime a uzurii tip crater [DIN09].

B. Metode indirecte on-line de măsurare a uzurii (TCM indirect)

Măsurarea on-line a uzurii folosind metode indirecte constă în monitorizarea diferitelor semnale de ieșire din procesul de aşchiere care sunt corelate cu gradul de uzură al sculei. Un sistem TCM constă atât în componente hardware, cât și software și conform [SID13], componenta hardware se ocupă de achiziția semnalelor iar componenta software procesează semnalele, extrage și selectează caracteristicile și folosește, de regulă, inteligența artificială

pentru luarea deciziei. În figura 1.10, bazată pe centralizarea informațiilor din literatura de specialitate [SID13, DUT14, ZHA16, DIN96], este detaliat sintetic TCM prin metoda indirectă.

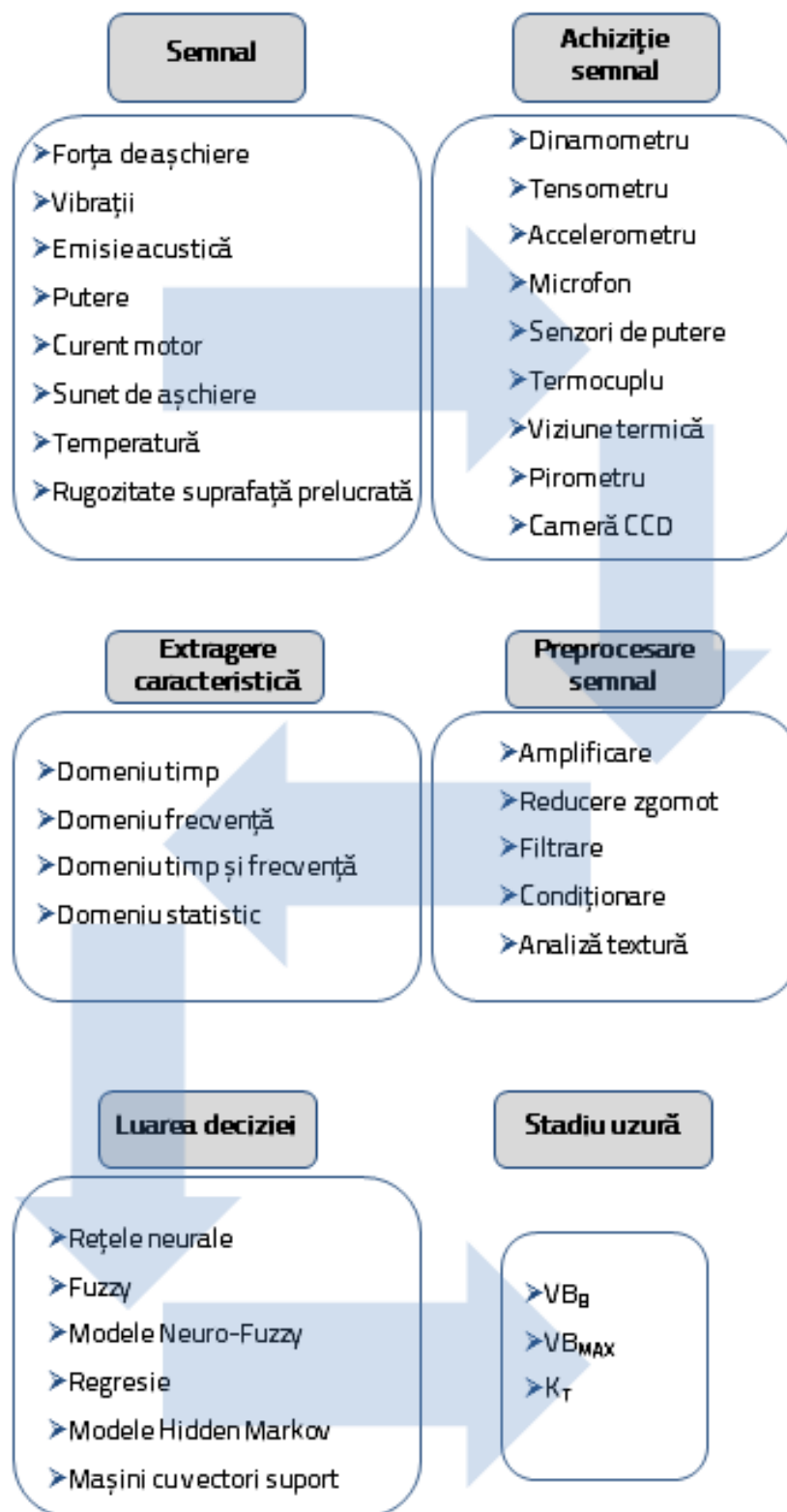


Fig. 1.10. TCM indirect [SID13, DUT14, ZHA16]

Pe baza bibliografiei consultate s-a calculat procentul lucrărilor publicate pentru fiecare metodă de măsurare indirectă a uzurii (73 de lucrări). Rezultatele sunt prezentate în figura 1.11.

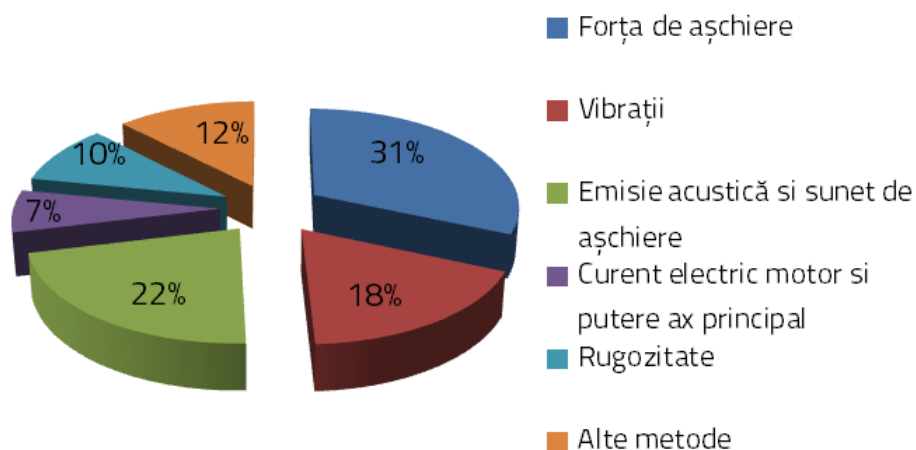


Fig. 1.11. Procentul lucrărilor publicate pentru fiecare metodă de măsurare indirectă a uzurii sculelor aşchietoare

1.3.3. Metode off-line de măsurare a uzurii

Metodele off-line constau în măsurarea uzurii tăişului aşchietor în afara procesului de aşchiere, în condiții de laborator, obținându-se rezultate foarte precise.

Metodele optice sunt cele mai utilizate pentru evaluarea off-line a uzurii iar instrumentul cel mai comun pentru această măsurătoare este microscopul. Mandal ș.a. [MAN15] au utilizat un microscop stereo pentru măsurarea uzurii pe flanc și, ca o nouă abordare în acest domeniu, Su ș.a. [SU06] au dezvoltat un sistem optic pentru măsurarea automată a uzurii pe flanc la burghie, folosind un microscop și o camera CCD.

O altă metodă off-line utilizată pentru evaluarea uzurii este reprezentată de interferometria în lumină albă. Dawson și Kurfess [DAW05] au utilizat această metodă pentru a cuantifica pierderile de material prin compararea datelor obținute din imaginea 3D a uzurii suprapusă peste reprezentarea unei scule neuzate. Atât uzura crater cât și uzura pe flanc au putut fi măsurate cu succes prin această metodă. De asemenea, Devillez ș.a. [DEV04] au măsurat uzura crater utilizând interferometria în lumină albă. Uzura crater a fost măsurată prin metoda schimbării de fază, folosind proiectoare de franje paralele și au obținut o hartă 3D a plăcuței aşchietoare [WAN06]. Pentru această metodă a fost utilizat un proiector de franje paralele, un microscop și o cameră CCD de pe un alt microscop, cu care se poate lucra de la distanță.

Alte cercetări sunt canalizate pe găsirea a noi metode pentru evaluarea off-line a uzurii și una din direcții este reprezentată de tehnica Reverse Engineering. În lucrarea lor, Valerga ș.a. [VAL15] au realizat modelarea 3D completă (scanare și reconstituirea geometriei) a unor scule aşchietoare uzate și au observat că uzura sculei apare și pe modelele fizice obținute, dar nu au

măsurat-o. În lucrarea [CAB17] este prezentată modalitatea de folosire a acestei tehnici în măsurarea uzurii prin digitizarea plăcuţei aşchietoare cu un scanner laser şi realizarea modelului CAD. Rezultatele au fost validate prin compararea lor cu unele obţinute prin microscopul stereo.

1.4. Curentul electric de aşchiere


Curentul electric de aşchiere rezultă la prelucrarea materialelor metalice cu scule care au tăişuri metalice. Deşi e cunoscut ca fenomen din jurul anilor 1950, utilizarea lui până de curând s-a limitat doar la aprecierea temperaturii din zona de aşchiere, şi aceasta în condiţii de laborator. Deoarece este rezultatul aşchierii materialelor metalice cu tăişuri metalice, înseamnă că poate furniza informaţii utile despre desfăşurarea procesului de aşchiere.

Având în vedere cele semnalate anterior se poate aprecia că analiza curentului electric de aşchiere poate conduce la aplicaţii inovative în construcţia de maşini, la prelucrarea prin aşchiere cu tăişuri metalice a diverselor piese metalice.

1.4.1. Identificarea efectelor şi fenomenelor ce dau curent electric de aşchiere

Ținând cont de faptul că fenomenele ce au loc în procesul de aşchiere au ca şi consecinţă uzura tăişului aşchietor rezultă următoarea succesiune a desfăşurării lor (conform [DAI15b]):

forţe de aşchiere → fenomene termice → fenomene electrice → uzura tăişului aşchietor



Apariţia curentului electric la aşchiere se datorează efectelor Seebeck, Peltier, Thomson şi fenomenului de emisie termoelectronică [DIT13].

1.4.2. Evoluţia cercetărilor privind curentul electric la aşchiere

Cercetările în domeniul curentului electric la aşchiere se pot împărţi în două perioade distincte [DAI15b]. Prima perioadă, între anii 1950-1983, se caracterizează prin studiul în sine al curentului electric la aşchiere (teoretic şi experimental). În a doua perioadă, 1983-prezent, datorită progresului în domeniul aparaturii de măsurare a curenţilor electrici mici, se reiau studiile din prima perioadă şi se dezvoltă noi cercetări, ţinta fiind aplicabilitatea practică.

Primele cercetări ale curentului electric la aşchiere, [DIT09a, BOB66], au început în 1950 în Rusia şi s-au axat pe utilizarea acestuia la măsurarea temperaturii din zona de aşchiere. Ulterior cercetările au abordat legăturile dintre curentul electric la aşchiere (termocurent) şi alţi parametri ai aşchierii [BOB66, POS67, KOR68, BAG73, VAS74, VAS80], [PAL 83]. Cercetătorii ruşi au efectuat mai multe cercetări experimentale privind curentul electric la aşchiere concretizate în articole ştiinţifice (în limba rusă) şi lucrări de disertaţie (în limba rusă). Faptul că

lucrările au fost scrise în limba rusă, în acea perioadă, a condus la o întârziere în cunoaşterea acestora.

După 1960 au avut loc cercetări şi în alte ţări, precum India [BAG73].

Printre cercetătorii din prima perioadă se pot enumera: Bobrovski, Postnikov, Korobov, Bagchi, Vasiliev, Palei.

În a doua perioadă a cercetărilor, acestea se înmulţesc, ca şi ţările unde au loc, ca de exemplu: Rusia, Japonia, România, India, Brazilia, USA, Franţa şi Bangladesh.

Printre cercetătorii care apar în a doua perioadă se pot aminti: Plotnikov, Medison, Tanaka, Murata, Diţu, Gangopadhyay, Soman, Santos, Pan, El Mansori, Amin.

Procedeele de prelucrare prin aşchiere la care s-au concentrat cercetările curentului electric sunt, în ordinea numărului de articole ştiinţifice, strunjirea, burghiarea şi frezarea.

Primele cercetări în domeniul curentului electric la aşchiere (denumit şi termocurent) au avut drept scop utilizarea acestuia în măsurarea temperaturii din zona de aşchiere (exemplu [VAS80]). Ulterior cercetările s-au axat pe studiul influenţei diversilor factori asupra curentului electric la aşchiere şi pe legătura acestuia cu uzura sculei aşchietoare. Factorii care influenţează desfăşurarea procesului de aşchiere pot fi sintetizaţi astfel:

- regimul de aşchiere (v_c - viteza de aşchiere, f - avansul de aşchiere, a_p - adâncimea de aşchiere);
- geometria sculei aşchietoare (α - unghi de aşezare, γ - unghi de degajare, ε - unghi la vârful sculei, K - unghi de atac principal, r - raza la vârful);
- cuplul format din materialul tăişului aşchietor şi piesa de prelucrat (amândouă trebuie să fie bune conductoare de electricitate);
- mediul de aşchiere (lichid, gazos);
- caracteristicile electrice ale maşinii-unelte (rezistenţa electrică).

De exemplu, în lucrarea [VAS83], este studiată influenţa regimului de aşchiere, unde se arată influenţa vitezei de aşchiere asupra intensităţii şi tensiunii a curenţilor electrici la strunjirea cu $t = 0,1\text{mm}$ şi $s = 0,1\text{mm/rot}$, a oţelului 45 cu plăcuţe lipite T30K4 şi T15K6 precum şi a fontei cu plăcuţe lipite tip BK3M (notaţii şi materiale ruseşti).

În sursa bibliografică [BAG73] s-a obţinut relaţia 1.1 ce conţine influenţa regimului de aşchiere şi a timpului de prelucrare asupra intensităţii curentului electric la aşchiere. Experimentele s-au efectuat pe oţelul EN24 (oţel indian) utilizând la strunjire longitudinală cu o plăcuţă din carbură metalică (nu sunt specificate caracteristici).

$$I = 0,2178 \cdot v_c^{0,462} \cdot f^{0,265} \cdot a_p^{0,177} \cdot \tau^{0,148} \quad [\mu A] \quad (1.1)$$

în care:

v_c [m/min] - viteza de aşchiere; f [$\mu\text{m/rot}$] - avansul de aşchiere; a_p [μm] - adâncimea de aşchiere; τ [min] - timpul de aşchiere.

Relația 1.2 exemplifică influența regimului de aşchiere asupra curentului electric la aşchiere în cazul strunjirii oțelului OLC45 cu plăcuță SPMR 150612-P30 fixată mecanic ce are următoarea geometrie: $\alpha=5^\circ$, $\gamma=6^\circ$, $\kappa=45^\circ$, $r_\epsilon=1,2$ mm, fără răcire [DIT08].

$$U(v,s,t) = 3,567 \cdot v_c^{0,306} \cdot f^{0,117} \cdot a_p^{0,097} \quad [\text{mV}] \quad (1.2)$$

Influența geometriei sculei aşchietoare asupra curentului electric de aşchiere este exemplificată în lucrarea [VAS 83] prin unghiul γ și raza r_ϵ la vârful sculei aşchietoare. Se poate constata că atât pentru unghiul γ cât și pentru raza la vârful sculei aşchietoare r_ϵ variația curentului electric la aşchiere prezintă un minim deci se poate determina un optim.

Influența mediului de aşchiere asupra curentului electric rezultat a fost studiată de mai mulți cercetători [POS67, DIT11]. În tabelul 1.1 este exemplificată influența lichidelor de aşchiere la strunjirea longitudinală a oțelului OLC45 folosind emulsie.

Tabelul 1.1. *Eficiența utilizării lichidelor de aşchiere la strunjirea cu diferite viteze de aşchiere [DIT11]*

C 45 ; SPMR 150612-P30; $\alpha=5^\circ$; $\gamma=6^\circ$; $\lambda=0^\circ$; $\chi=45^\circ$						
Nr. crt.	V_c [m/min]	f [mm/rot]	a_p [mm]	Fără răcire	Cu răcire	Eficiență
				U [mV]	U_R [mV]	
1	38,95	0,106	2	9,3	6,5	30,1 %
2	48,69	0,106	2	10,9	9,1	16,5 %
3	61,35	0,106	2	12,0	11,6	3,33 %
4	77,91	0,106	2	13,6	13,2	2,94 %
5	97,39	0,106	2	14,4	14,7	-2,1 %

În literatura de specialitate [POS67, DIT11] se prezintă utilizarea curentului electric la aşchiere în aprecierea calității lichidelor de aşchiere folosite.

Un salt calitativ din punctul de vedere al cercetărilor în domeniul curentului electric la aşchiere l-a reprezentat legătura acestuia cu alte fenomene ce au loc în procesul de aşchiere. Astfel se face legătura între curentul electric de aşchiere și principalele caracteristici ale aşchierii [DIT05].

Legătura dintre curentul electric de aşchiere și temperatură a fost prima aplicație a utilizării termocurentului de aşchiere și începutul cercetărilor în domeniu. S-au determinat relații de legătură de-a lungul întregii perioade de cercetare [VAS80, PAL83, STE93, DIT99, DIT10].

Una din direcțiile abordate în continuarea cercetărilor este legătura dintre curentul electric la aşchiere și forța necesară aşchierii. Un exemplu de legătură dintre curentul electric și

forţă este arătat în sursa bibliografică [STE93], prezentată în relația 1.3, obținută în cazul strunjirii oțelului OL37 cu o plăcuță din carbură metalică P20, ce are următoarea geometrie: $\alpha = 8^\circ$; $\gamma = 10^\circ$; $\lambda = 0^\circ$; $K = 45^\circ$; $r = 0,5 \text{ mm}$.

$$F_z = 33,98 \cdot v_c^{-0,506} \cdot f^{0,427} \cdot a_p^{0,871} \cdot U \quad [daN] \quad (1.3)$$

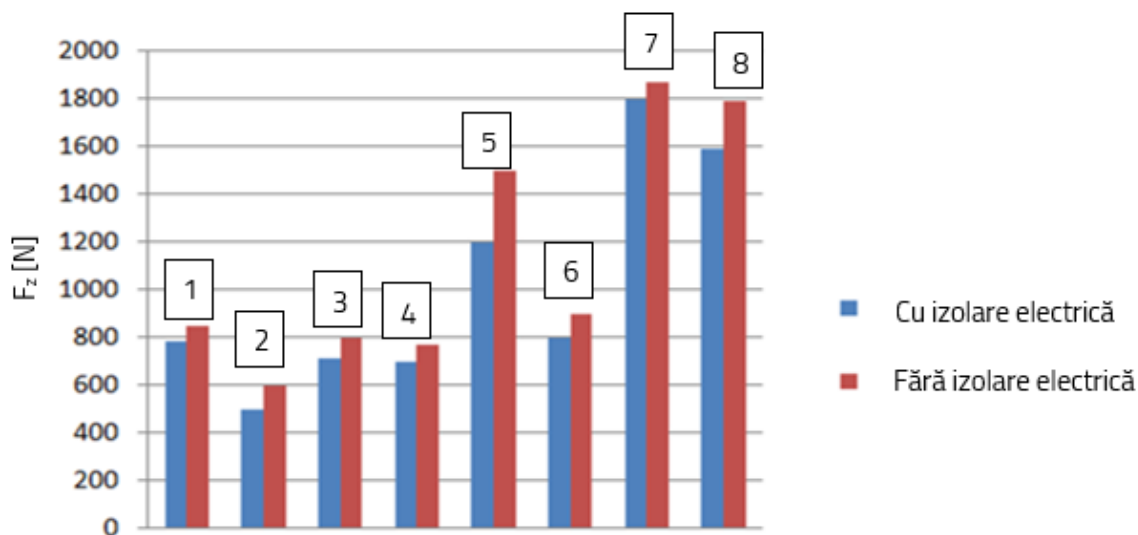
în care U [mV] - tensiunea curentului electric de aşchiere.

O altă direcție importantă de continuare a cercetărilor este legătura dintre curentul electric de aşchiere și uzura tăişului aşchietor [KOR68, NUR98, PAN93, DIT09b].

Cea mai veche cercetare a fost efectuată de către Korobov, în anul 1968 [KOR68]. Ulterior cercetările s-au dezvoltat datorită diversității de material utilizate în construcția de mașini și a sculelor aşchietoare.

Pe parcursul derulării experimentelor privind legătura dintre curentul electric de aşchiere și uzura tăişului aşchietor s-a constatat că termocurentul de aşchiere, cu cât este mai mare, cu atât influențează mai mult intensitatea uzurii în cazul în care piesa se află la anod (polul pozitiv) și scula aşchietoare se află la catod (polul negativ). Dacă se izolează electric scula aşchietoare sau se introduce un curent electric compensator, durabilitatea sculei aşchietoare crește [BOB66, KOR68].

Lucrarea [MED14] precizează că dacă se izolează electric scula aşchietoare forța necesară aşchierii scade (figura 1.12).



Forța de aşchiere la strunjirea aliajelor de titan VT1-0 (1, 2), OT4 (3, 4), VT6 (5, 6) și VST5553 (7, 8), cu $n = 31,5 \text{ rot/min}$ (1, 3, 5, 7) și 250 rot/min (2, 4, 6, 8)

Fig. 1.12. Influența întreruperii circuitului curentului electric la aşchiere asupra forței de aşchiere [MED14]

Dacă majoritatea cercetărilor în domeniul curentului electric de aşchiere s-au axat pe strunjire şi burghiere, în ultima perioadă, acesta se studiază şi la frezare [PLO09, MUR13, MUR12, MUR11, HIR98]. Astfel, în lucrarea [PLO09] se studiază o aplicaţie industrială a curentului de aşchiere rezultat la frezare. Pe o maşină cu comandă numerică, la începutul prelucrării, se măsoară curentul electric pentru fiecare dinte al frezei. După o schemă logică se calculează viteza optimă de prelucrare astfel încât dinţii să se uzeze uniform, în acelaşi timp.

Până în prezent s-au realizat foarte puţine aplicaţii industriale utilizând curentul electric de aşchiere. Posibilele aplicaţii industriale studiate în lucrări ştiinţifice sunt sintetizate în figura 1.13.

Pe parcursul derulării cercetărilor în domeniul curentului electric la aşchiere, constatându-se că acesta, cu cât este mai mare, cu atât influenţează mai mult intensitatea uzării în cazul în care piesa se află la anod (polul pozitiv) şi scula aşchietoare se află la catod (polul negativ), s-a încercat utilizarea unui curent electric compensator pentru a elimina influenţa negativă a curentului electric de aşchiere. De aici a venit ideea studierii desfăşurării aşchierii prin introducerea intenţionată a unui curent electric exterior [TAN04, GAN06, TAN09, SOM14].

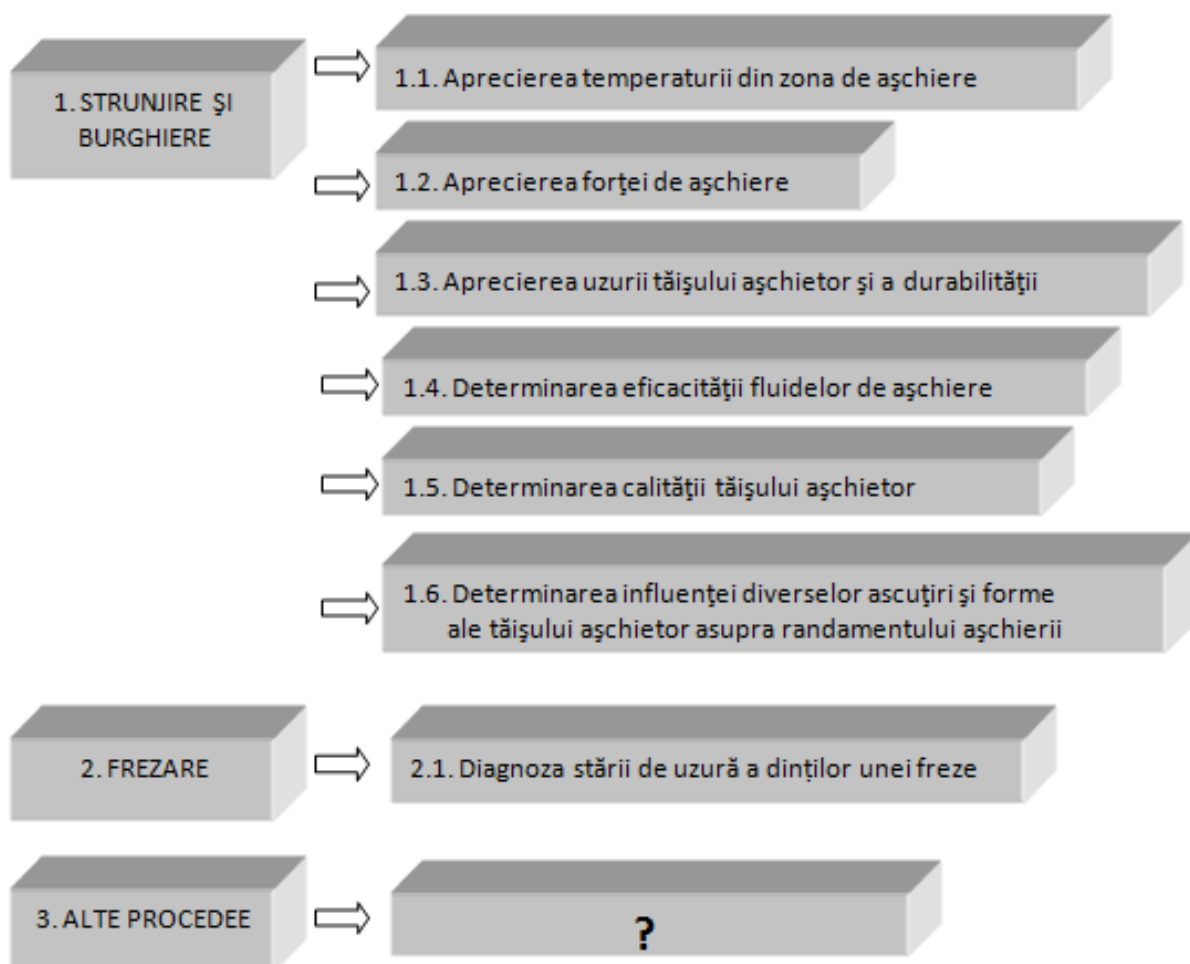


Fig. 1.13. Posibile aplicaţii ale curentului electric de aşchiere studiate până în prezent [DAI15, DIT08]

1.5. Concluzii

1.5.1. Concluzii privind uzura sculei aşchietoare

Evaluarea uzurii sculei aşchietoare reprezintă obiectivul principal al oricărui producător de scule aşchietoare. Apariţia de noi materiale pentru tăişul aşchietor conduce, în mod automat, la studiul uzurii acestora în procesul de aşchiere. Fiind elementul hotărâtor pentru scula aşchietoare, cercetările au fost şi sunt intense, atât pentru măsurarea uzurii pentru cercetări, cât şi supravegherea acesteia în industrie, în special pe maşini cu comandă numerică.

Din literatura de specialitate studiată se constată următoarele:

- cercetările sunt concentrate pe măsurarea uzurii atât on-line, cât şi off-line;
- procentul cercetărilor este mai mare în direcţia măsurării uzurii on-line deoarece acestea au drept ţintă implementarea pe maşini-unelte cu comandă numerică;
- chiar dacă deocamdată ponderea cercetărilor privind măsurarea indirectă a uzurii on-line este mai mare se constată o intensificare a cercetărilor pentru măsurarea directă a uzurii, în mod on-line;
- se dezvoltă, în continuare, cercetări pentru măsurarea directă a uzurii off-line datorită utilizării în laboratoare de cercetare atât la apariţia de noi scule aşchietoare cât şi la utilizarea de noi materiale şi acoperiri pentru scule aşchietoare;
- nu s-a identificat, în literatura de specialitate studiată, o metodologie pentru măsurarea uzurii medii pe flancul (suprafaţa de aşezare) a sculei aşchietoare;
- apariţia de noi echipamente de măsură determină şi utilizarea acestora la măsurarea uzurii;
- nu s-a identificat, în literatura tehnică studiată, modul de determinare a erorii umane de măsurare a uzurii pe flancul (pe suprafaţa de aşezare) tăişului aşchietor;
- privitor la metodele directe on-line, tendinţa cercetărilor este axată pe utilizarea de noi tehnologii optice, mai precise, pentru a capta imaginea uzurii în timpul procesului de aşchiere şi pe dezvoltarea de noi metode eficiente de prelucrare a imaginilor;
- cu privire la metodele indirecte on-line, cele mai recente cercetări nu se concentrează pe găsirea unor noi fenomene care să fie corelate cu uzura sau pe dezvoltarea de noi senzori, deoarece cele utilizate până acum sunt încă considerate adecvate pentru monitorizarea stării sculelor aşchietoare; cercetările sunt orientate atât pe dezvoltarea modelelor matematice de caracterizare a uzurii, pe găsirea celor mai bune metode de procesare a semnalului achiziţionat din timpul procesului de aşchiere, cât şi pe dezvoltarea algoritmilor de luare a deciziilor;
- în ceea ce priveşte măsurarea off-line a uzurii sculelor aşchietoare a fost abordată o nouă metodă, Reverse Engineering, în care tehnologia de scanare 3D a devenit din ce în ce mai performantă; cercetările efectuate măsoară uzura după post-procesarea norului de puncte şi elaborarea modelului CAD; necesitatea acoperirii plăcuţei cu pudra anti-reflexie şi faptul că echipamentul nu este destul de precis pentru acest tip de aplicaţie, face această

măsurare dificilă, în special pentru valori mici ale uzurii; se impune găsirea unei alte metodologii de scanare a uzurii care să pună în valoare precizia de măsurare a echipamentului.

1.5.2. Concluzii privind curentul electric de aşchiere

Cercetările privind curentul electric de aşchiere se pot grupa în două perioade distincte (fig. 1.14).

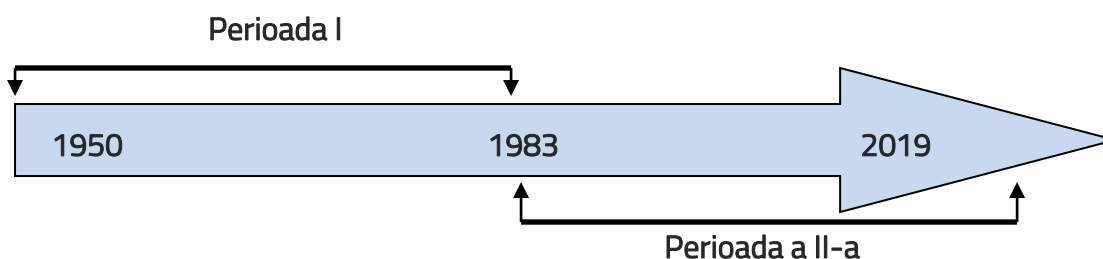


Fig. 1.14. Gruparea cercetărilor privind curentul electric de aşchiere

Perioada I:

- cercetările au început în Rusia (anul 1950), iar în India au început în 1960;
- cercetători: Bobrovski, Postnikov, Korobov, Bagchi, Vasiliev, Palei;
- cercetările s-au concentrat pe utilizarea curentului electric de aşchiere pentru măsurarea temperaturii în zona de aşchiere;
- au fost determinate relații între parametrii curentului electric de aşchiere (în special tensiunea acestuia) și parametrii regimului de aşchiere la diverse cupluri tăiş aşchietor – material de prelucrat.

Perioada a II-a:

- cercetările au continuat în Rusia, Japonia, România, India, Brazilia, SUA, Franța, Polonia și Bangladesh;
- cercetători: Plotnikov, Medison, Tanaka, Murata, Dițu, Gangopadhyay, Soman, Santos, Pan, El Mansori, Amin;
- cercetările din prima perioadă au fost reluate, dezvoltate și pentru alte procedee de prelucrare prin aşchiere (ex. frezare);
- s-au semnalat aplicații practice, altele în afară de măsurarea temperaturii, dar fără a se elabora metode practice, aplicabile la scară industrială; se pot enumera câteva aplicații ce pot fi dezvoltate atât în laborator, cât și în industrie, cum ar fi: echipamente pentru aprecierea eficacității utilizării lichidelor de aşchiere, pentru estimarea forțelor de aşchiere fără utilizarea dinamometrelor, pentru aprecierea calității tăişurilor aşchietoare;
- metoda aprecierii calității tăişurilor aşchietoare utilizând curentul electric de aşchiere are potențial de a fi implementată rapid și simplu în practică.

Capitolul 2

OBIECTIVELE TEZEI DE DOCTORAT

Obiectivele tezei de doctorat s-au elaborat pe baza concluziilor din capitolul 1, *Stadiul actual al cercetărilor privind fenomene la aşchiera metalelor ce pot fi abordate inovativ*.

S-au stabilit 10 obiective pe trei direcții de cercetare.

1. Direcția *Uzura sculei aşchietoare*

- 1.1. Elaborarea unei metodologii de măsurare a uzurii plăcuțelor aşchietoare;
- 1.2. Determinarea erorii de măsurare a uzurii;
- 1.3. Măsurarea uzurii plăcuțelor aşchietoare prin scanare;
- 1.4. Măsurarea uzurii plăcuțelor aşchietoare utilizând profilometrul digital;
- 1.5. Măsurarea uzurii plăcuțelor aşchietoare utilizând microscopul digital.

2. Direcția *Curentul electric la burghiere*

- 2.1. Metodă inovativă de apreciere a calității burghiilor cu evidențierea aspectului ecologic;
- 2.2. Metodă inovativă de achiziționare a burghiilor;
- 2.3. Alte abordări inovative la burghiere.

3. Direcția *Curentul electric la strunjire*

- 3.1. Influența regimului de aşchiere asupra tensiunii curentului electric de aşchiere la strunjire;
- 3.2. Aprecierea calității plăcuțelor aşchietoare acoperite.

Obiectivele tezei de doctorat sunt arătate și sub forma unei organigrame (fig. 2.1).

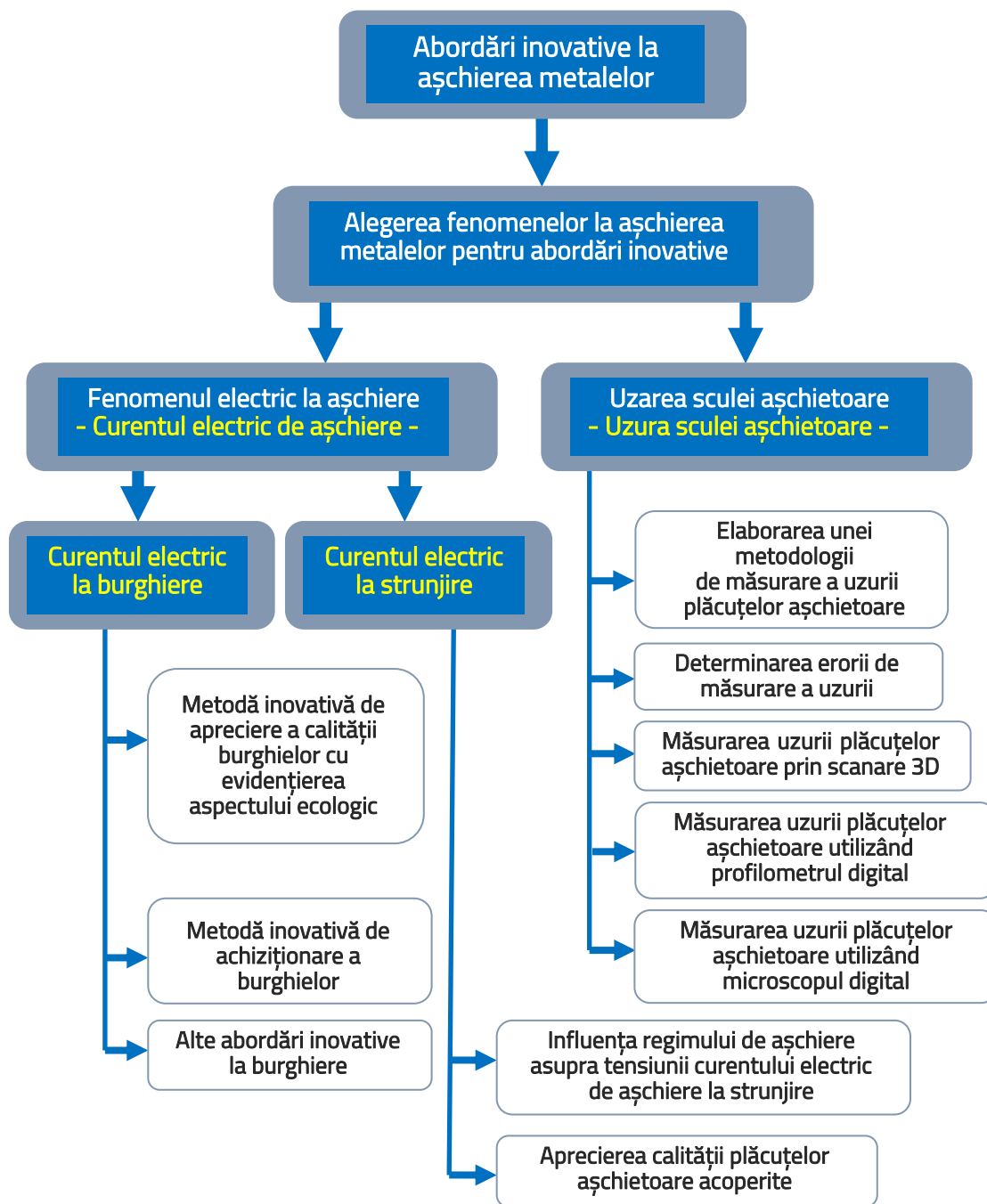


Fig. 2.1. Organigrama obiectivelor tezei de doctorat

Capitolul 3 METODE ŞI MIJLOACE ALTERNATIVE PENTRU MĂSURAREA UZURII PLĂCUŢELOR AŞCHIETOARE

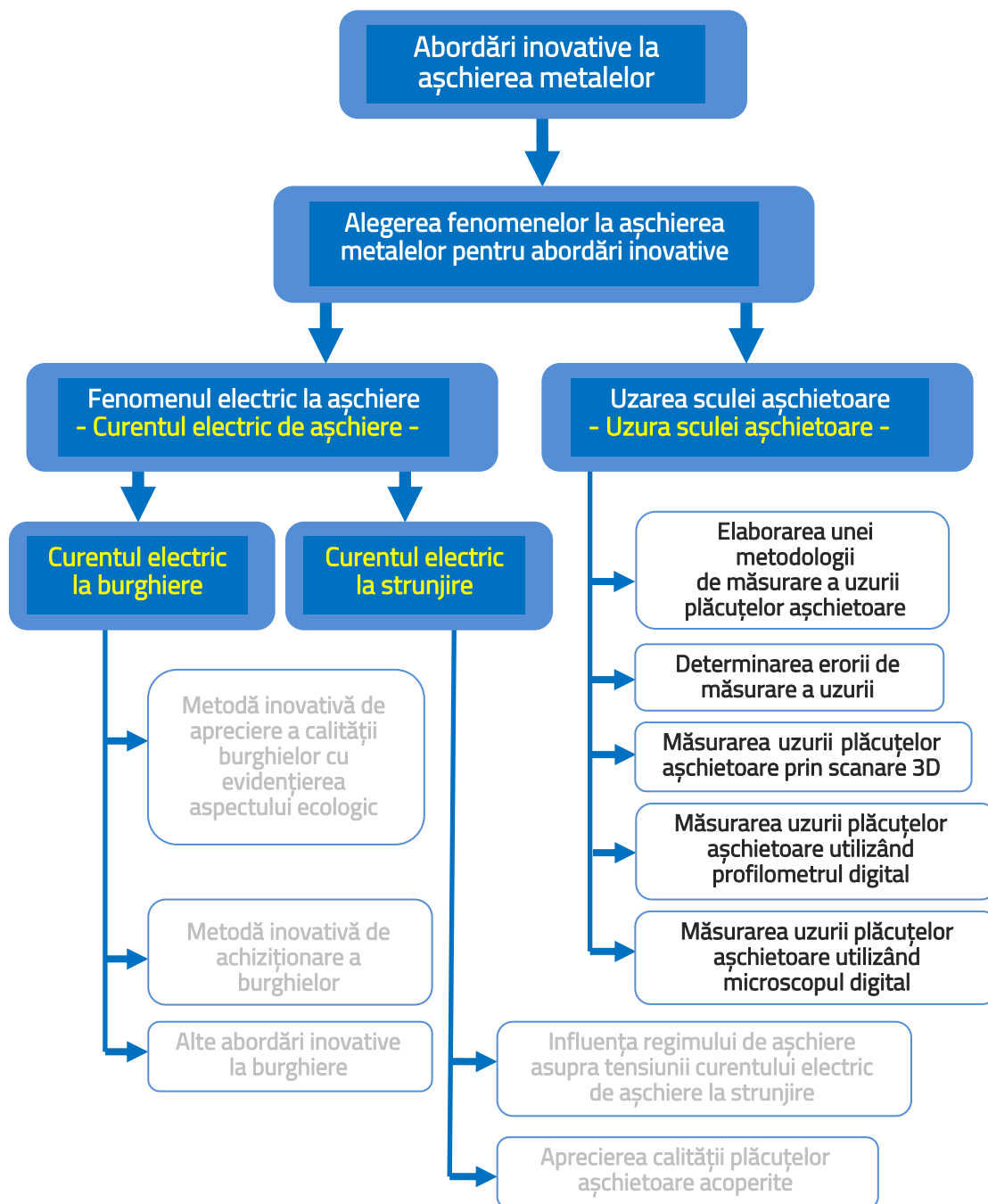


Fig. 3.1. Organigrama capitolului 3

Aprecierea uzurii sculei aşchietoare reprezintă o necesitate atât în producție, cât și în cercetare iar măsurarea cu exactitate, în mod direct, mai ales în cercetare, se realiza cu microscopul industrial, precizia acestuia fiind de 0,01 mm. Dezvoltarea aparaturii de măsurare în construcția de mașini a condus la creșterea performanțelor sistemelor de măsurare. Nu a făcut excepție nici microscopul industrial, precizia de măsurare a acestuia îmbunătățindu-se de 10 ori (0,001 mm).

Au fost dezvoltate noi instrumente de măsurare, cu destinație diversă, printre acestea numărându-se scannerul 3D (afișaj 0,001 mm), profilometrul digital 2D (afișaj 0,0001 mm) și microscopul digital 3D (afișaj 0,001 μ m), instrumente ce nu au fost create special pentru măsurarea uzurii sculelor aşchietoare. Scopul acestui capitol (fig. 3.1) este să se elaboreze o metodologie unitară de măsurare a uzurii și totodată să se măsoare uzura, comparativ, cu noi sisteme de măsurare.

3.1. Elaborarea unei metodologii de măsurare a uzurii plăcuțelor aşchietoare

Dacă caracteristicile uzurii tăișului aşchietor la strunjire și notațiile corespunzătoare sunt bine reglementate în standardul internațional ISO 3685/1993 (revizuit în 2017), nu același lucru se poate spune și despre metodologia de măsurare, aceasta fiind lăsată pe seama cercetătorilor. Datorită lipsei de metodologie, mai ales la determinarea uzurii medii pe fața de aşezare (figura 3.2), la aprecierea aceleiași uzuri s-au obținut rezultate diferite când măsurarea s-a efectuat de doi operatori diferiți.

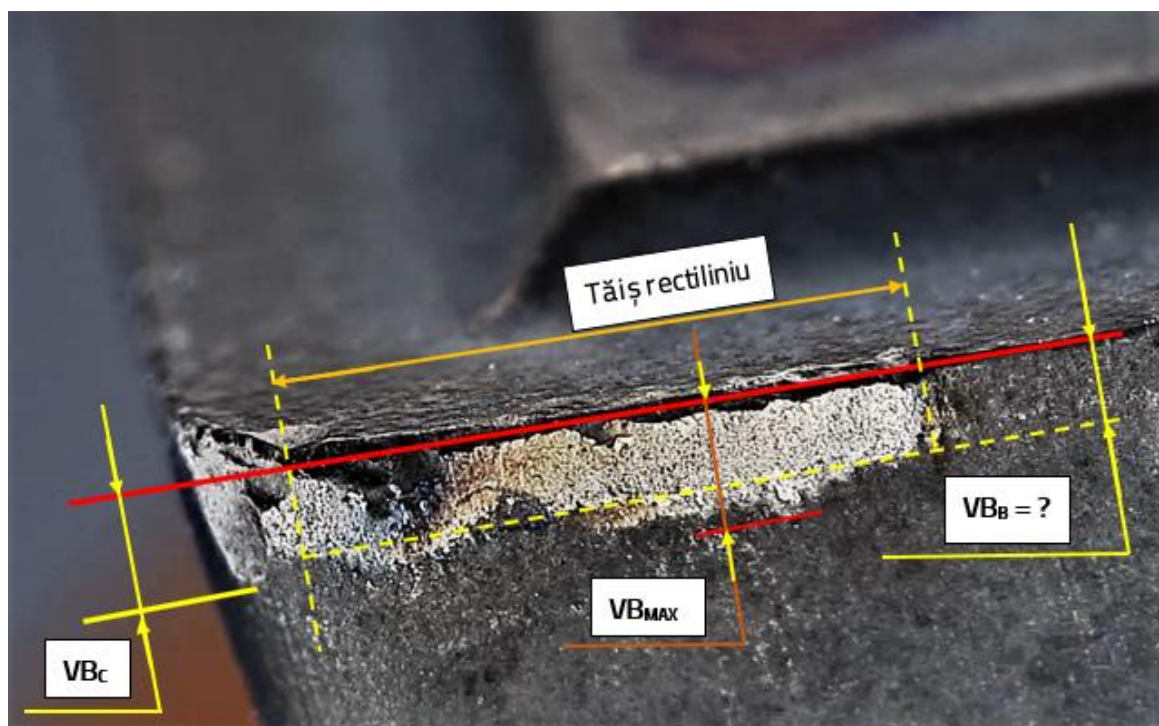


Fig. 3.2. Caracteristicile uzurii la tăișul nr. 1 (microscop digital 3D)
[ISO 3685/1993 (revizuit în 2017)]

În acest subcapitol se prezintă modul în care se elaborează o metodologie unitară de măsurare a uzurii pe faţa de aşezare a sculei aşchietoare astfel încât, aplicată corect, să conducă la obţinerea unor valori extrem de apropiate la măsurarea aceleiaşi uzuri de către doi sau mai mulţi operatori diferiţi.

Metodologia propune o măsurare incrementală a uzurii pe faţa de aşezare a tăişului aşchietor. În acest scop s-a ales tăişul la care uzura are un grad mare de neuniformitate (fig. 3.3), fiind mai dificilă măsurarea ei.

Pentru a determina pasul de măsurare s-au parcurs următoarele etape [DAI19]:

1. S-a strunjit cu tăişul nr. 1 de la o plăcuţă din carbură metalică tip SPMR150612-P30 (fig. 3.4) o epruvetă de $\varnothing 50$ şi $l = 300$ mm, din C45 (caracteristici conform anexei 1), cu viteza de aşchiere de 98,96 m/min ($n = 630$ rot/min), cu un avans de 0,208 mm/rot şi o adâncime de aşchiere de 2,25 mm. Suportul port cuţit (prindere cu bridă a plăcuţei patrute care are 4 tăişuri) a determinat un unghi de aşezare de 5° şi un unghi de degajare tot de 5° . Cu ajutorul microscopului 2D optico-digital TM-1005B Mitutoyo (figura 3.5), cu precizia de 0,001 mm, s-a măsurat cota $M = 3,095$ mm (fig. 3.6). Pe baza schemei din figura 3.6 s-a determinat lungimea uzată a tăişului rectiliniu ($L_x = 2,705$ mm) şi adâncimea de aşchiere reală ($a_p = 2,264$ mm);

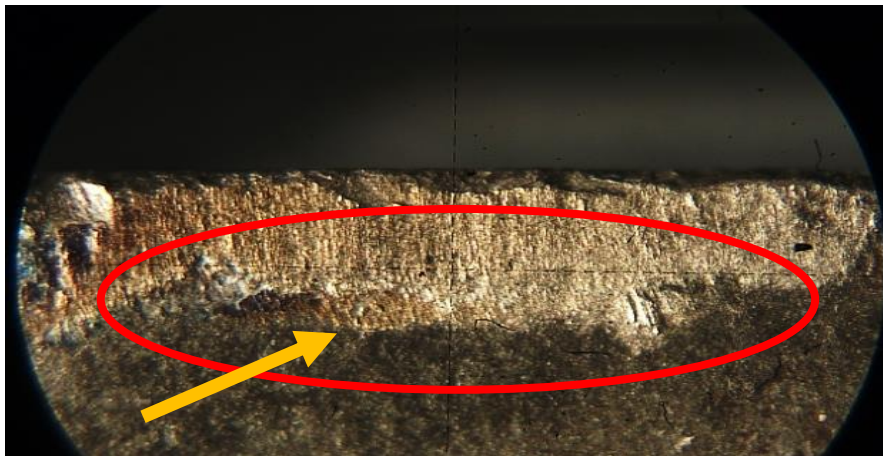


Fig. 3.3. Imaginea la microscopul optico-digital 2D a uzurii pe flanc la tăişul nr. 1 [DAI19]

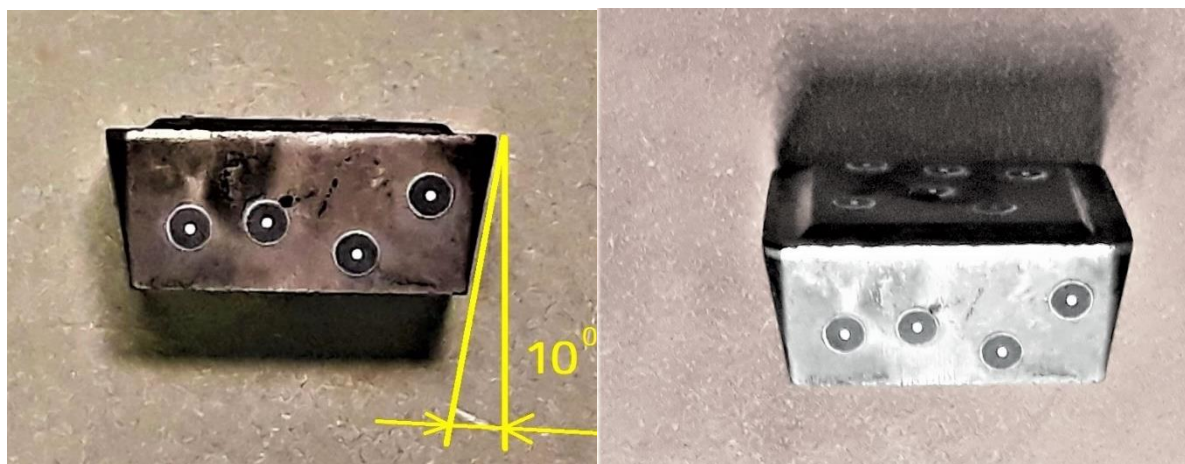


Fig. 3.4. Plăcuţă din carbură metalică tip SPMR150612-P30

2. S-au ales 8 valori (în milimetri) diferite pentru pasul de măsurare:

0,025; 0,05; 0,075; 0,1; 0,125; 0,15; 0,175; 0,2 mm.

3. S-a determinat numărul punctelor de măsurare a uzurii cu relația $(L_x/p + 1)$ și la un $p = 0,025$ mm a rezultat un număr de 109 puncte; în cele 109 puncte s-a măsurat uzura tăişului nr. 1; la fel s-a procedat pentru toate de mai sus, obținându-se rezultatele din tabelul 3.1.



Fig. 3.5. *Microscop optico-digital 2D pentru măsurarea uzurii sculei aşchiitoare [DAI19]*

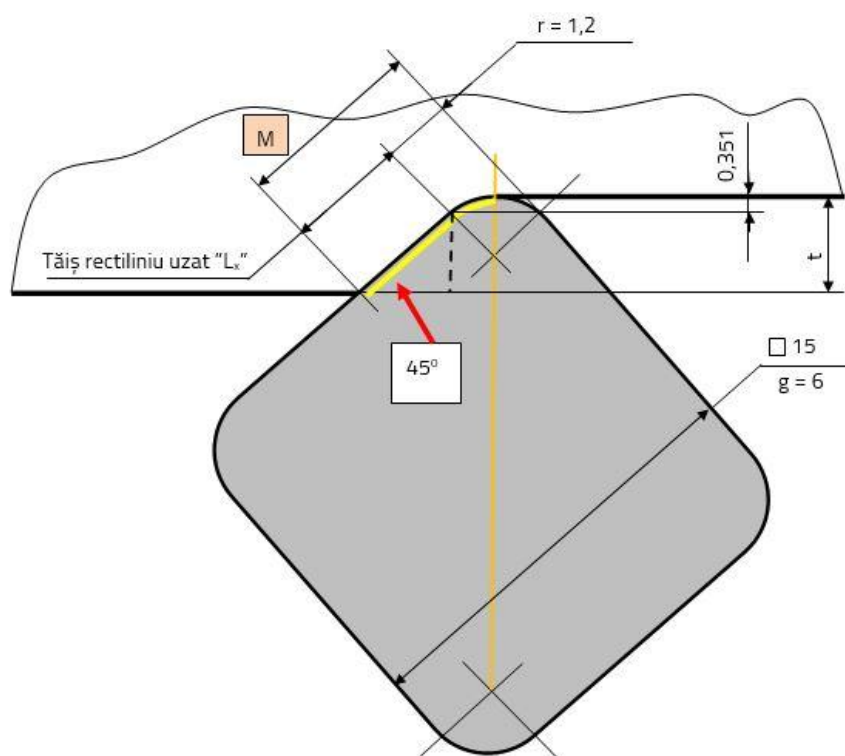


Fig. 3.6. *Schema de calcul a lungimii tăişului rectiliniu uzat și a adâncimii reale de aşchiere prin măsurarea cotei M*

În figura 3.5 se poate în vedea că pentru a măsura uzura (fig. 3.3) plăcuța aşchietoare trebuie aşezată înclinat cu 15° . Dacă pe masa orizontală a microscopului plăcuța aşchietoare se poziționează pe o față de aşezare, valorile măsurate trebuiesc corectate cu $1/\cos(15^\circ)$.

Tabel 3.1. Valori măsurate ale uzurii pe fața de aşezare la tăişul nr. 1 [DAI19]

Nr. crt.	Pasul punctelor de măsurare [mm]	Valori măsurate ale uzurii [mm]	Uzura medie VB_B [mm]	Procentaj uzură medie față de $p = 0,025$ mm [%]
1	0,025 (109 pt)	0,372; 0,378; 0,434; 0,432; 0,450; 0,431; 0,441; 0,446; 0,459; 0,447; 0,462; 0,468; 0,472; 0,459; 0,464; 0,456; 0,458; 0,459; 0,480; 0,486; 0,483; 0,516; 0,535; 0,553; 0,559; 0,587; 0,615; 0,638; 0,652; 0,676; 0,684; 0,692; 0,686; 0,642; 0,631; 0,585; 0,595; 0,615; 0,610; 0,595; 0,596; 0,577; 0,591; 0,598; 0,608; 0,606; 0,613; 0,618; 0,624; 0,594; 0,582; 0,594; 0,599; 0,579; 0,584; 0,582; 0,598; 0,579; 0,591; 0,603; 0,604; 0,587; 0,591; 0,614; 0,619; 0,594; 0,590; 0,592; 0,593; 0,560; 0,533; 0,561; 0,563; 0,562; 0,566; 0,565; 0,570; 0,572; 0,567; 0,540; 0,543; 0,519; 0,504; 0,460; 0,458; 0,441; 0,436; 0,433; 0,451; 0,463; 0,469; 0,497; 0,499; 0,523; 0,551; 0,569; 0,585; 0,611; 0,621; 0,639; 0,643; 0,662; 0,658; 0,650; 0,643; 0,640; 0,639; 0,652; 0,654	0,56155	100
2	0,05 (55 pt)	0,372; 0,434; 0,450; 0,441; 0,459; 0,462; 0,472; 0,464; 0,458; 0,480; 0,483; 0,535; 0,559; 0,615; 0,652; 0,684; 0,686; 0,631; 0,595; 0,610; 0,596; 0,591; 0,608; 0,613; 0,624; 0,582; 0,599; 0,584; 0,598; 0,591; 0,604; 0,591; 0,619; 0,590; 0,593; 0,533; 0,563; 0,566; 0,570; 0,567; 0,543; 0,504; 0,458; 0,436; 0,451; 0,469; 0,499; 0,551; 0,585; 0,621; 0,643; 0,658; 0,643; 0,639; 0,654	0,5578	99,33

3	0,075 (37 pt)	0,372; 0,432; 0,441; 0,447; 0,472; 0,456; 0,480; 0,516; 0,559; 0,638; 0,684; 0,642; 0,595; 0,595; 0,591; 0,606; 0,624; 0,594; 0,584; 0,579; 0,604; 0,614; 0,590; 0,560; 0,563; 0,565; 0,567; 0,519; 0,458; 0,433; 0,469; 0,523; 0,585; 0,639; 0,658; 0,640; 0,654	0,5554	98,90
4	0,1 (28 pt)	0,372; 0,450; 0,459; 0,472; 0,458; 0,483; 0,559; 0,652; 0,686; 0,595; 0,596; 0,608; 0,624; 0,599; 0,598; 0,604; 0,619; 0,593; 0,563; 0,570; 0,543; 0,458; 0,451; 0,499; 0,585; 0,643; 0,643; 0,654	0,5584	99,44
5	0,125 (22 pt)	0,372; 0,431; 0,462; 0,456; 0,483; 0,587; 0,684; 0,585; 0,596; 0,606; 0,582; 0,585; 0,604; 0,594; 0,533; 0,565; 0,543; 0,441; 0,469; 0,569; 0,643; 0,640	0,5467	97,36
6	0,15 (19 pt)	0,372; 0,441; 0,472; 0,480; 0,559; 0,684; 0,595; 0,591; 0,624; 0,584; 0,604; 0,590; 0,563; 0,567; 0,458; 0,469; 0,585; 0,658; 0,654	0,5553	98,89
7	0,175 (16 pt)	0,372; 0,466; 0,464; 0,516; 0,652; 0,585; 0,591; 0,594; 0,598; 0,614; 0,533; 0,572; 0,458; 0,497; 0,621; 0,640	0,5483	97,64
8	0,2 (14 pt)	0,372; 0,459; 0,458; 0,559; 0,686; 0,596; 0,624; 0,598; 0,619; 0,563; 0,543; 0,451; 0,585; 0,643	0,5540	98,66
9	0,25 (11 pt)	0,372; 0,462; 0,483; 0,684; 0,596; 0,582; 0,604; 0,533; 0,543; 0,469; 0,643	0,5428	96,66
10	0,3	0,372; 0,472; 0,559; 0,595; 0,624; 0,604; 0,563; 0,458; 0,585; 0,654	0,5486	97,69
11	0,4 (10 pt)	0,372; 0,458; 0,686; 0,624; 0,619; 0,543; 0,585	0,5553	98,89
12	0,5 (6 pt)	0,372; 0,483; 0,596; 0,604; 0,543; 0,643	0,5402	96,20

Datele din tabelul 3.1 sunt reprezentate grafic în figura 3.7.

Se impune ca media valorilor pentru un anumit pas să fie minim 99% din media valorilor pentru pasul cel mai mic ($p = 0,025$ mm). Măsurătorile realizate cu un pas de 0,1 mm aproximează cel mai bine măsurătorile realizate cu un pas de 0,025 mm. În acest fel, în loc de măsurarea a109

puncte se pot face măsurători doar în 28 de puncte iar procentajul la valoarea medie este de 99,44% din valoarea medie a măsurătorilor realizate cu pasul de 0,025 mm [DA19].

Astfel, metodologia pentru evaluarea uzurii pe flanc propune o măsurare incrementală a uzurii, descrisă în 5 etape, sintetizate în figura 3.8.

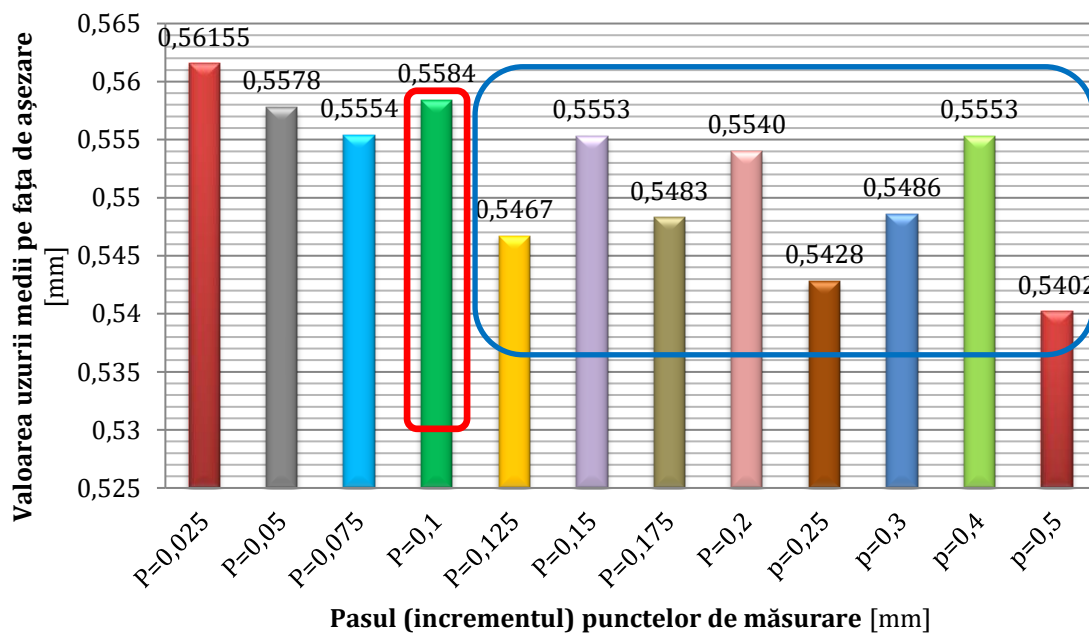


Fig. 3.7. Reprezentarea grafică a valorilor medii ale uzurii pe fața de aşezare în funcție de pasul (incrementul) punctelor de măsurare la tăişul nr. 1 [DA19]

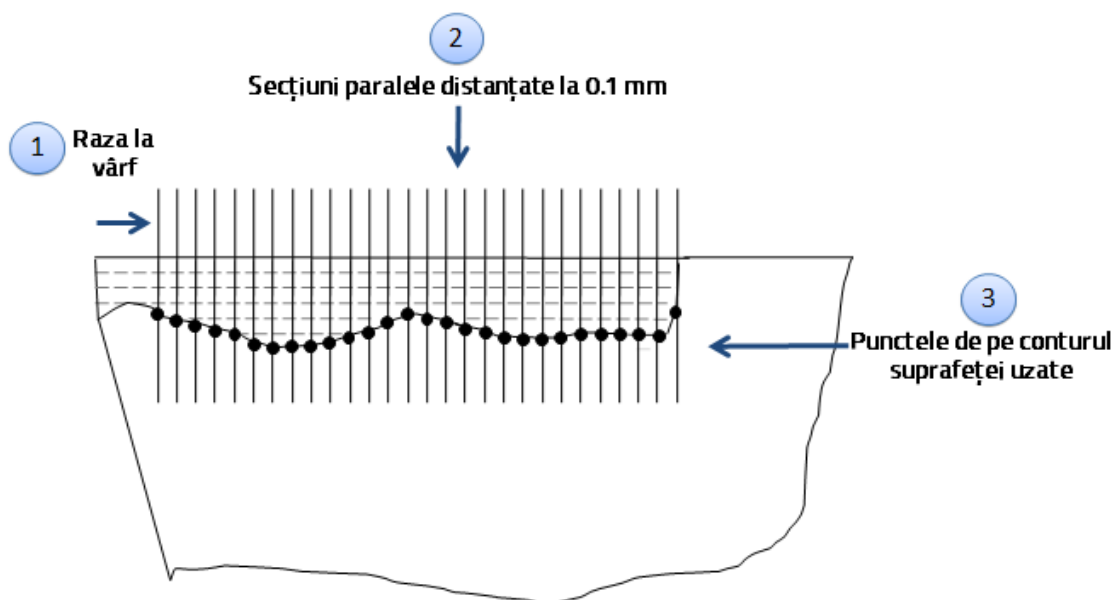


Fig. 3.8. Metodologia propusă pentru măsurarea incrementală a uzurii pe flanc (pe fața de aşezare)

- Etapa 1. Identificarea începutului uzurii pe tăişul rectiliniu pentru măsurarea cotei M (fig. 3.6) în vederea determinării lungimii tăişului rectiliniu uzat; calculul numărului punctelor de măsurare prin împărțire lungimii rectilinii a tăişului uzat la pasul (incrementul) de 0,1 mm iar la

partea întreagă a împărţirii se mai adaugă cifra 1; pentru a evita uzura pe colţ măsurarea va începe de la sfârşitul uzurii pe tăişul sculei, către raza la vârful sculei; în acest mod se micşorează eroarea de poziţionare a originii măsurătorilor de către doi operatori independenţi; dacă s-ar începe de la vârful sculei, pentru evitarea razei la vârf, nu s-ar reuşi identificarea punctului de inflexiune dintre rază şi porţiunea rectilinie a tăişului;

- Etapa 2. Determinarea dreptei de referinţă a măsurătorilor (fig. 3.2), prin poziţionarea acesteia în lungul tăişului neuzat;
- Etapa 3. Împărţirea suprafeţei uzate (pe tăişul rectiliniu uzat) în secţiuni paralele distanţate la 0,1 mm şi totodată perpendiculare pe dreapta de referinţă; această împărţire se face cu scopul obţinerii unui număr suficient de puncte pentru o evaluare precisă a uzurii medii; prima măsurătoare nu trebuie să aibă valoarea zero (fig. 3.8);
- Etapa 4. Măsurarea înălţimii uzurii în fiecare secţiune; se va identifica uzura maximă, (înălţimea maximă obţinută), VB_{MAX} ;
- Etapa 5. Se calculează valoarea uzurii medii VB_B ca fiind media valorilor măsurate, luând în considerare inclusiv valoarea maximă.

3.2. Identificarea şi determinarea erorii umane de măsurare a uzurii

3.2.1. Identificarea surselor de eroare umană la măsurarea uzurii

cu microscopul optico-digital 2D

În figura 3.9 sunt evidenţiate toate sursele de erori umane la măsurarea uzurii.



Fig. 3.9. Evidenţierea surselor de eroare umană la măsurarea uzurii

1. *Prima sursă de eroare umană la măsurarea uzurii pe flanc* este dată de alinierea reticolului orizontal 1 al microscopului optico-digital 2D cu tăişul aşchietor. Eroarea în acest caz este dată de suprapunerea reticolului orizontal peste tăişului aşchietor, suprapunere ce determină linia de referinţă faţă de care se măsoară uzura pe flanc VB_B . Pentru a determina eroarea de suprapunere s-a poziţionat reticolul orizontal pe tăişul plăcuţei aşchietoare şi s-a reglat la zero micrometrul digital al microscopului industrial. S-au efectuat 20 de repetări ale poziţionării reticolului şi s-a determinat abaterea faţă de prima măsurătoare.

Experimenta s-a constatat că ecartul maxim de 0,005 mm este nesemnificativ pentru uzură în procesul de aşchiere. Numai reticolul microscopului are o grosime de 1µm. În concluzie, acest tip de eroare se poate neglija.

2. *A doua sursă de eroare umană la măsurarea uzurii pe flanc* este poziţionarea reticolului vertical la sfârşitul uzurii, în partea dreaptă (fig. 3.9). Reticolul determină originea de la care se realizează pasul punctelor de măsurare a uzurii. Şi în acest caz s-au efectuat 20 de repetări ale poziţionării reticolului şi s-a determinat abaterea faţă de prima măsurătoare

S-a constatat că, de data aceasta, ecartul maxim a crescut la 0,006 µm fapt datorat dificultăţii mai mari de poziţionare a reticolului vertical.

Totodată s-a evidenţiat faptul că eroarea datorată poziţionării reticolului 2 la sfârşitul uzurii, faţă de măsurătorile iniţiale ale uzurii pe flanc, este sub 1% atât pentru uzura maximă VB_{MAX} cât şi pentru uzura medie VB_B . Aceste abateri sunt nesemnificative pentru procesul de aşchiere.

3. *A treia sursă de eroare umană la măsurarea uzurii pe flanc* (fig. 3.9) este dată de aprecierea mai dificilă a trecerii de la suprafaţa uzată a flancului la suprafaţa neuzată. Această eroare se manifestă atunci când măsurătorile sunt efectuate de operatori diferiţi dar şi în cazul când măsurătorile sunt repetate de către acelaşi operator.

3.2.2. Determinarea erorii de măsurare indusă de un operator

Aşa cum s-a arătat mai înainte particularitatea măsurării uzurii pe flanc (pe faţa de aşezare) constă în faptul că *trecerea de la suprafaţa de aşezare la uzură este generatoare de erori datorită aprecierii diferite a trecerii* (fig. 3.2 şi figura 3.3) de către diverşi operatori şi chiar de către acelaşi operator la repetarea măsurărilor.

Pentru a determina eroarea de măsurare a unui operator s-au efectuat 12 măsurători ale aceleiaşi uzuri (cea din figura 3.2 şi figura 3.3). Punctul de început al măsurărilor a fost dat de poziţionarea pe microscop cu o precizie de 0,001 µm iar pasul (incrementul) punctelor măsurate a fost de 0,1 mm. S-a măsurat uzura în 28 de puncte.

În urma rpetărilor măsurărilor se pot trage următoarele concluzii:

- *Diferenţa (ecartul) maximă dintre citiri este de 0,031 mm la 4 puncte ceea ce înseamnă că în aceste puncte este mai greu de sesizat trecerea de la faţa de aşezare la uzură;*

- *Diferența maximă dintre uzurile medii este de 0,0106 mm ceea ce este mai mult decât acceptabil;*
- *Toate repetările au indicat uzura maximă în același punct;*
- *Media uzurilor medii este de $VB_B = 0,5633$ mm;*
- *Media uzurii maxime este de $VB_{MAX} = 0,7000$ mm.*

3.2.3. Determinarea erorii de măsurare indusă de operatori independenți

Pentru a vedea dacă există diferențe dintre operatori independenți la măsurarea aceleiași uzuri s-a apelat la 5 operatori care au măsurat fiecare separat, aceeași uzură, după un minim instructaj. Drept reper s-a luat prima măsurătoare a operatorul care a făcut măsurarea aceleiași uzuri de 12 ori, cu 3 zecimale. Rezultatele au condus la următoarele concluzii:

Diferența (ecartul) maximă dintre operatori este de 0,068 mm, la punctul 1, ceea ce este de înțeles, fiind prima măsurătoare; deja la măsurarea uzurii în punctul 2 diferența s-a redus la 0,059 mm iar apoi s-a intrat în normal, diferența încadrându-se ca la primul operator, când s-au efectuat 12 repetări;

- *Diferența maximă dintre uzurile medii pentru cei 6 operatori este de 0,0079 mm ceea ce este mai mult decât acceptabil;*
- *Toate repetările, și în acest caz, au indicat uzura maximă în același punct;*
- *Totodată s-au identificat punctele unde aprecierea trecerii de la fața de aşezare la uzură s-a făcut cu dificultate mai mare, și anume, în 7 puncte.*

3.3. Măsurarea uzurii plăcuței aşchietoare cu scannerul 3D

Scanarea 3D (digitizarea) este un procedeu utilizat foarte mult pentru Reverse Engineering și controlul pieselor [VAR97]. În vederea realizării ei este nevoie de un sistem de achiziție date 3D, adică un instrument care colectează coordonatele 3D ale tuturor punctelor unei regiuni sau ale unei suprafețe [BOE02].

În metodologia propusă se utilizează scanarea 3D pentru măsurarea precisă a uzurii fără post-procesarea norului de puncte sau dezvoltarea modelului CAD.

Utilizând procedeul de strunjire au fost uzate 10 tăişuri ale plăcuțelor din carbură metalică tip SPMR150612. Materialul prelucrat este C45 (cu caracteristicile din anexa 1), semifabricat de tip bară cu $\varnothing 50$ mm. Aprecierea uzurii medii pe flanc până la care s-a făcut aşchiera, cuprinsă între 0,6 și 0,7 mm, a fost realizată prin utilizarea unui microscop optico-digital 2D.

Pentru scanarea uzurilor s-a utilizat scannerul 3D ATOS III Triple Scan de la compania GOM, existent la compania Spectromas București [ENA16] prezentat în figura 3.10.

Pentru aplicarea metodologiei utilizând scannerul 3D, măsurările sunt descrise în 8 etape, după cum urmează:

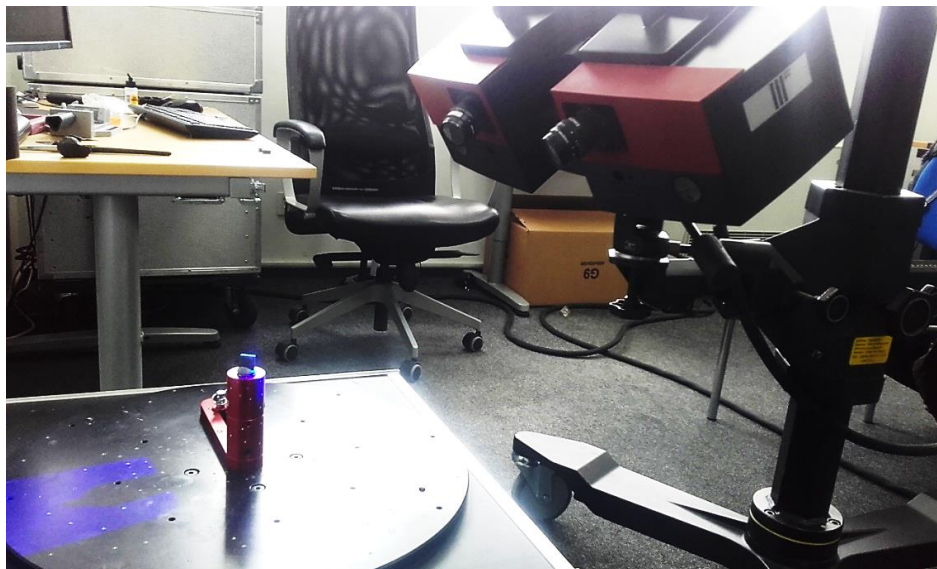


Fig. 3.10. Scanarea plăcuței cu scannerul 3D ATOS III Triple Scan

1. Pregătirea plăcuței și realizarea unui prim set de măsurători;
2. Fotografierea uzurii pe flanc;
3. Scanarea plăcuței;
4. Încadrarea plăcuței într-un sistem de coordonate;
5. Generarea secțiunilor paralele cu pasul de 0,1 mm pe uzura flancului;
6. Localizarea conturului utilizând imaginea fotografică;
7. Determinarea distanțelor de la muchia plăcuței (linie de referință) la punctele de pe conturul uzurii;
8. Obținerea valorilor pentru VB_{max} și VB_B .

Pentru primul tăiș rezultatele sunt:

- $VB_{MAX} = 0,717$ mm;
- $VB_B = 0,534$ mm.

S-au scanat toate cele 10 tăișuri, rezultatele prezentându-se în anexa 5.

Un exemplu de raport de măsurare [ENA16], realizat de compania Spectromas, cu scannerul 3D ATOS III Triple Scan Gom, se află în anexa 2.

3.4. Măsurarea uzurii plăcuțelor aşchietoare cu profilometrul digital 2D

Aplicațiile cu sistemele optice de măsurare 2D se bazează pe măsurarea înălțimii uzurii pe fața de aşezare (pe flanc) față de tăișul inițial. Precizia măsurătorilor este în funcție de performanțele sistemului optic de măsurare 2D, performanțe care s-au îmbunătățit continuu. Sistemele optice de măsurare de ultimă generație au trecut de la precizia de 0,01 mm la precizia de 0,001 mm iar cele mai performante la precizia de 0,0001 mm. Utilizarea profilometrului digital la măsurarea uzurii plăcuțelor aşchietoare are drept scop evidențierea utilizării unor sisteme optice 2D care nu au ca destinație măsurări ale uzurii sculelor aşchietoare ci măsurări ale

diverselor profile 2D. Rezultatele obţinute sunt comparate cu cele obţinute prin scanare 3D dar şi cu alte sisteme de măsurare 2D şi 3D.

Pentru măsurarea uzurii a fost utilizat un sistem 2D Vision Measuring System Quick Image QI-A 2010B de la compania Mitutoyo, aflat în dotarea laboratorului de măsurări Mitutoyo din cadrul Institutului de Cercetare – Dezvoltare al Universităţii Transilvania din Braşov ([MIH17]), prezentat în figura 3.11. Sistemul are afişajul de măsurare 0,0001 mm.

În acest caz, aplicând metodologia propusă pe sistemele 2D, etapele de măsurare vor fi:

- Etapa 1. Definirea originii sistemului de referinţă al echipamentului;
- Etapa 2. Generarea manuală a liniei de referinţă a uzurii pe faţa de aşezare;
- Etapa 3. Alinierea sistemului de referinţă al echipamentului la linia de referinţă generată;
- Etapa 4. Definirea punctului de pornire – măsurătoarea va începe, cum este arătat în figura 3.8, de la sfârşitul uzurii spre raza la vârful tăişului aşchietor cu un pas egal cu 0,1 mm;
- Etapa 5. Măsurarea înălţimilor uzurii pe faţa de aşezare până la raza de la vârful plăcuţei aşchietoare;
- Etapa 6. Calcularea uzurii medii " VB_B " şi identificarea uzurii maxime " VB_{MAX} ".



Fig. 3.11. Sistem optic de măsurare 2D Quick Image QI-A 2010B

Imaginea uzurii pe flanc vizualizată pe sistemul de măsurare 2D este prezentată în figura 3.12, iar rezultatele obţinute pentru toate cele 28 puncte, conform metodologiei propuse, sunt prezentate în anexa 3.

Rezultatele obţinute pentru tăişul 1 sunt:

- $VB_{MAX} = 0,632$ mm;
- $VB_B = 0,523$ mm.

S-a măsurat uzura la toate cele 10 tăişuri, rezultatele fiind centralizate în anexa 3.

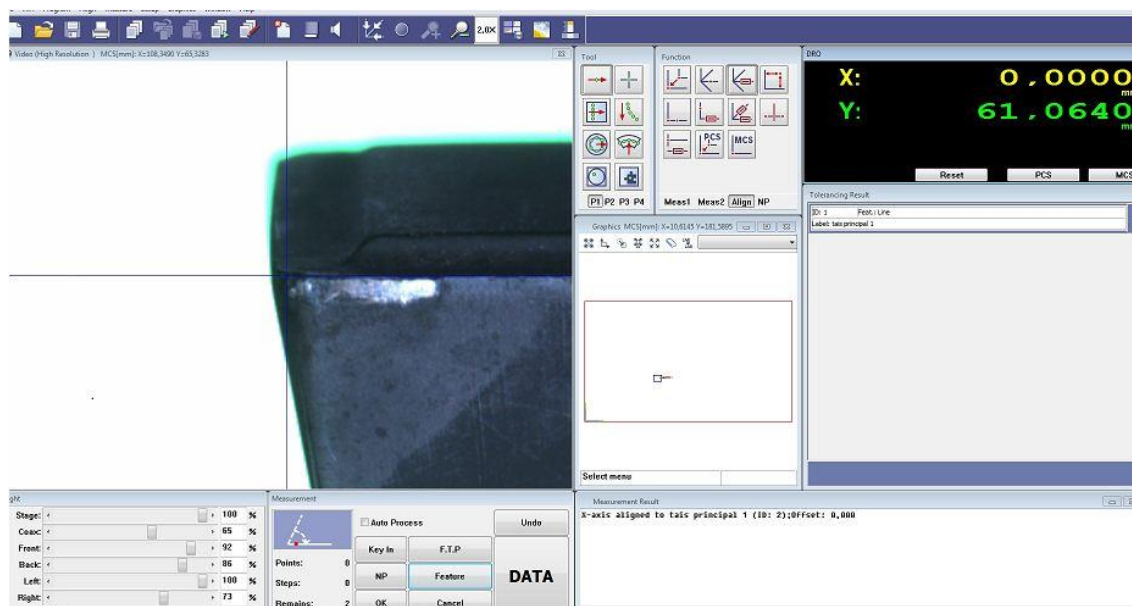


Fig. 3.12. *Imaginea uzurii pe flanc a tăişului nr. 1 utilizând profilometrul 2D*

3.5. Măsurarea uzurii plăcuţelor aşchietoare cu microscopul optico-digital 2D

Măsurarea uzurii cu microscopul optico-digital 2D TM-1005B Mitutoyo s-a detaliat în subcapitolul 3.1 pentru tăişul nr. 1. În acest subcapitol se va exemplifica o nouă măsurare a uzurii, şi anume, la tăişul nr. 8 (fig. 3.13), unde uzura are caracter uniform.



Fig. 3.13. *Imaginea la microscopul optico-digital 2D a uzurii pe flanc la tăişul nr. 8*

Numărul de puncte în care se măsoară uzura s-a determinat cu relația $(L_x/0,1 + 1)$, unde $L_x = 2,383$, rezultând 25 de puncte.

Rezultatul măsurătorilor este:

- $VB_{MAX} = 0,787$ mm;
- $VB_B = 0,660$ mm.

3.6. Măsurarea uzurii plăcuțelor aşchietoare cu microscopul digital 3D

Microscopul digital 3D este un echipament de scanare 3D, de ultimă generație, utilizat în diverse scopuri, cum ar fi: distanțe, volum, rugozitate, forme diverse, deformări, topografie, etc. Microscopul digital 3D, evident, execută cu mare precizie și măsurători 2D.

Prezentă la DemoMetal Braşov 2019, firma japoneză Hirox a expus ultimul tip de microscop digital 3D. Prin amabilitatea expozantului a fost efectuată o măsurătoare 2D a uzurii la tăişul nr. 1 și o scanare 3D a uzurii [LE019]. Microscopul digital 3D cu care s-au efectuat măsurătorile este prezentat în figura 3.14.

Rezultatele măsurătorilor cu microscopul scanner 3D digital (măsurătorile fiind făcute 2D), pentru tăişul nr. 1, sunt următoarele (anexa 4):

- $VB_{MAX} = 0,690$ mm;
- $VB_B = 0,543$ mm.

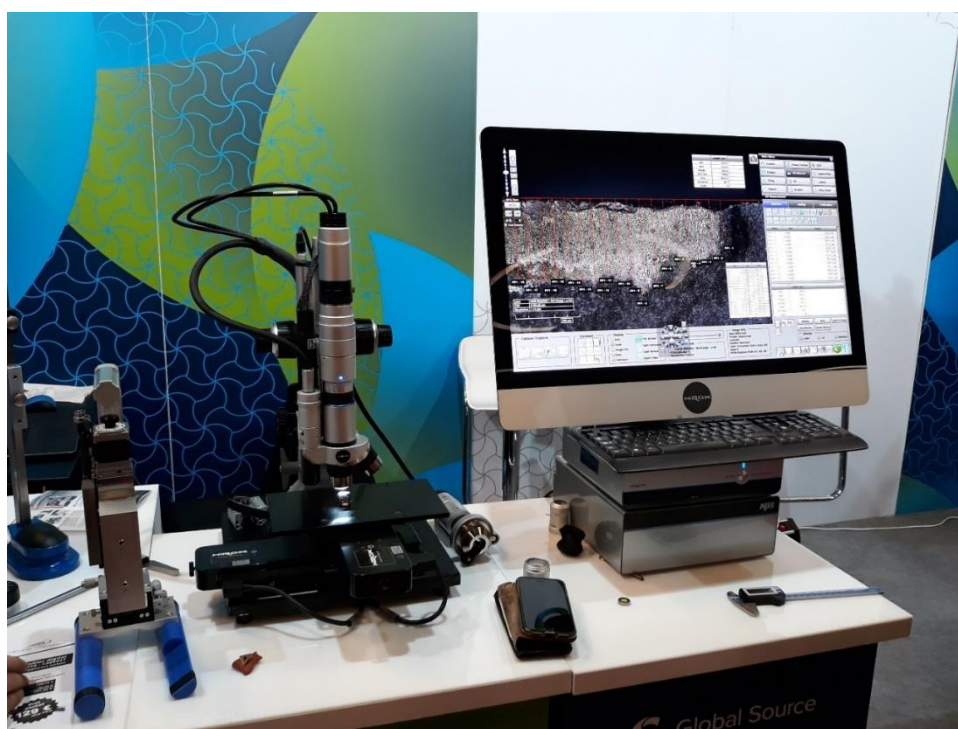


Fig. 3.14. Imaginea la microscopul digital 3D a uzurii pe flanc la tăişul nr. 1

Rezultatele măsurătorilor cu microscopul scanner 3D digital (măsurătorile fiind făcute 2D), pentru tăişul nr. 1, sunt următoarele (anexa 4):

- $VB_{MAX} = 0,690$ mm;
- $VB_B = 0,543$ mm.

Scanarea 3D a uzurii tăişului nr. 1, realizată cu microscopul digital 3D [LEO19], este prezentată în figura 3.15.

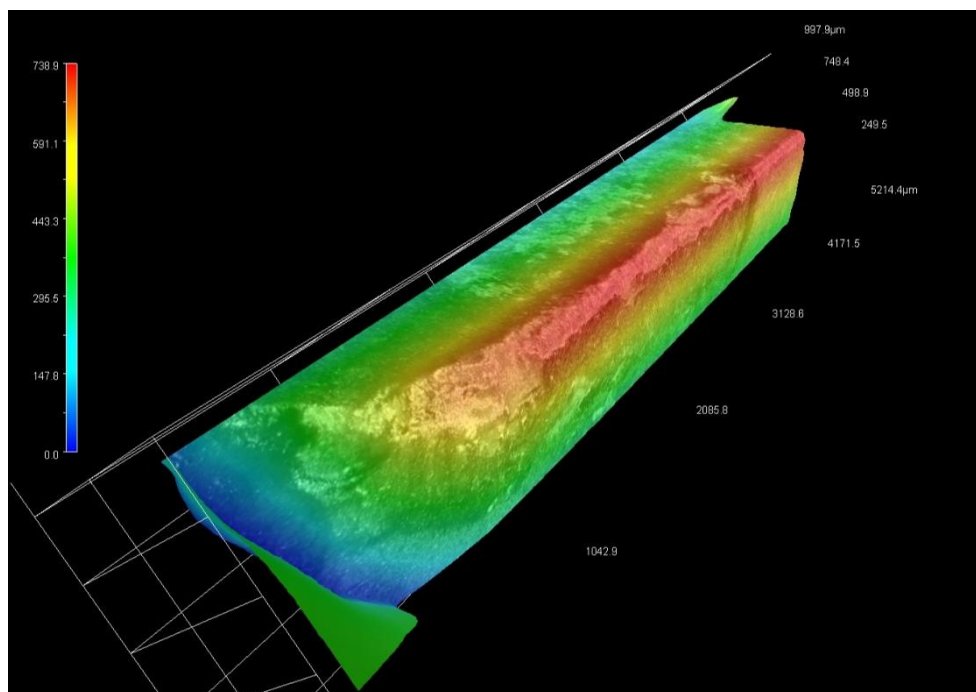


Fig. 3.15. *Imaginea 3D a uzurii la tăişul nr. 1 [LEO19]*

Din figura 3.15 se observă că trecerea de la tăişul uzat la cel neuzat și, totodată, se poate constata la tăişul neuzat existența unei mici raze obținute la sinterizarea plăcuței.

3.7. Compararea rezultatelor și concluzii

3.7.1. Compararea rezultatelor și concluzii pentru tăişul nr. 1

Măsurarea uzurii pe fața de aşezare (pe flanc) la tăişul nr. 1 s-a realizat cu 4 sisteme de măsurare diferite și anume: scanner 3D Gom, sistem digital de măsurare 2D Quick Image QI-A 2010B Mitutoyo, microscop digital 3D Hirox și microscop optico-digital 2D Mitutoyo.

Pe baza măsurătorilor efectuate se pot trage următoarele concluzii:

- Cele 4 sisteme de măsurare au indicat uzura maximă în punctul 9 iar ecartul maxim pentru uzura maximă este de 0,024 mm, valoare care este mai mică față de repetarea măsurătorii efectuată de același operator, valoare egală cu 0,030 mm;
- Ecartul maxim pentru uzura medie este de 0,035 mm (sunt 4 operatori diferiți și 4 sisteme de măsurare), valoare apropiată de ecartul maxim de 0,029 mm obținut de 6

operatori diferiți la măsurarea aceleiași uzuri cu același sistem de măsurare (microscopul 2D optico-digital);

- Diferențele mai mari la măsurarea uzurii în anumite puncte arată faptul că în aceste puncte trecerea de la suprafața uzată la suprafața neuzată este mai dificil de apreciat (sunt 4 operatori diferiți) dar influența asupra uzurii medii este acceptabilă;
- Având în vedere dificultatea aprecierii trecerii de la flancul uzat la cel neuzat, valorile măsurate cu cele 4 sisteme de măsurare sunt destul de apropiate ceea ce înseamnă că *pentru măsurarea uzurii la tăișul nr. 1 se poate utiliza oricare din sisteme.*

3.7.2. Compararea rezultatelor și concluzii pentru tăișurile 2÷10

Măsurarea uzurii la tăișurile 2÷10 (9 tăișuri) s-a efectuat cu 3 sisteme de măsurare deoarece sistemul de măsurare "Microscop scanner 3D digital" nu a mai fost disponibil. Se exemplifică comparația pentru tăișul nr. 8 (fig. 3.13). Rezultatele sunt prezentate, comparativ, în tabelul 1.

Tabelul 1. Rezultate pentru măsurarea uzurii la tăișul nr. 8 cu 3 sisteme de măsurare

Nr. pct. (i)	Scanner 3D [mm]	Profilometru digital 2D [mm]	Microscop 2D optico-digital [mm]
VB _{MAX}	0,811	0,794	0,787
	Ecart maxim = 0,024		
VB _B	0,678	0,658	0,660
	Ecart maxim = 0,020		

În urma realizării măsurătorilor se poate concluziona:

- Și de data aceasta cele 3 sisteme de măsurare au indicat uzura maximă în același punct iar ecartul maxim pentru uzura maximă este de 0,024 mm, identic ca la tăișul nr. 1; valoarea este mai mică (0,024 mm) față de repetarea măsurătorii efectuată de același operator (0,030 mm);
- Ecartul maxim pentru uzura medie este de 0,020 mm (sunt 3 operatori diferiți și 3 sisteme de măsurare), valoare sub ecartul maxim de 0,029 mm obținut de 6 operatori diferiți la măsurarea aceleiași uzuri cu același sistem de măsurare (microscopul 2D optico-digital);
- Se constată faptul că valorile mai apropiate obținute la măsurarea uzurii la tăișul nr. 8 se datorează uniformității uzurii comparativ cu uzura de la tăișul nr. 1
- Valorile foarte apropiate obținute la măsurarea uzurii la tăișul nr. 8 cu cele 3 sisteme de măsurare conduc la concluzia că *pentru măsurarea uzurii la tăișul nr. 8 se poate utiliza oricare dintre cele 3 sisteme.*

3.7.3. Compararea rezultatelor și concluzii pentru 10 tăişuri

Din analiza măsurătorilor pentru uzură, efectuate cu 3 sisteme de măsurare pentru 10 tăişuri, se evidențiază următoarele concluzii:

- Valorile obținute pentru uzură cu cele 3 sisteme de măsurare sunt foarte apropiate;
- Acolo unde ecartul maxim la uzura maximă are valoare mare trecerea de la suprafața uzată la cea neuzată este mai difuză ceea ce coincide cu imaginile uzurilor (anexa 5);
- Ecartul la valoarea uzurii medii este tot în jurul valorii de 0,03 mm (maxim 0,035 mm);
- La tăişurile la care ecartul maxim al uzurii medii are valori mai mari de 0,035 mm imaginea uzurii este mai difuză și este mai greu de apreciat trecerea de la suprafața uzată la cea neuzată, observație care coincide cu fotografiile uzurilor (anexa 5);
- Dacă valorile ecartului maxim ale uzurii medii sunt mai mici imaginea uzurii (anexa 5) este mai clară și a fost mai ușor a se determina trecerea de la suprafața uzată la cea neuzată;
- Dacă valorile ecartului maxim la uzura maximă și la uzura medie sunt concomitent mici rezultă că a fost mai dificil determinarea punctului de început al măsurătorilor (imaginea uzurii tăişului 9 din anexa 5);
- Cu cât raportul $V_{B_{MAX}}/V_{B}$ este mai mare de 1,2 mm cu atât gradul de neuniformitate al uzurii este mai mare (tăişurile 1, 4, 7, 10 din anexa 5).

În concluzie, la măsurarea uzurii maxime și la determinarea uzurii medii, se poate utiliza, cu foarte bună precizie, oricare din sistemele de măsurare folosite respectând metodologiile de măsurare prezentate în subcapitolele 3.3 și 3.4.

Capitolul 4 ABORDAREA INOVATIVĂ A UTILIZĂRII CURENTULUI ELECTRIC DE AŞCHIERE LA BURGHIERE

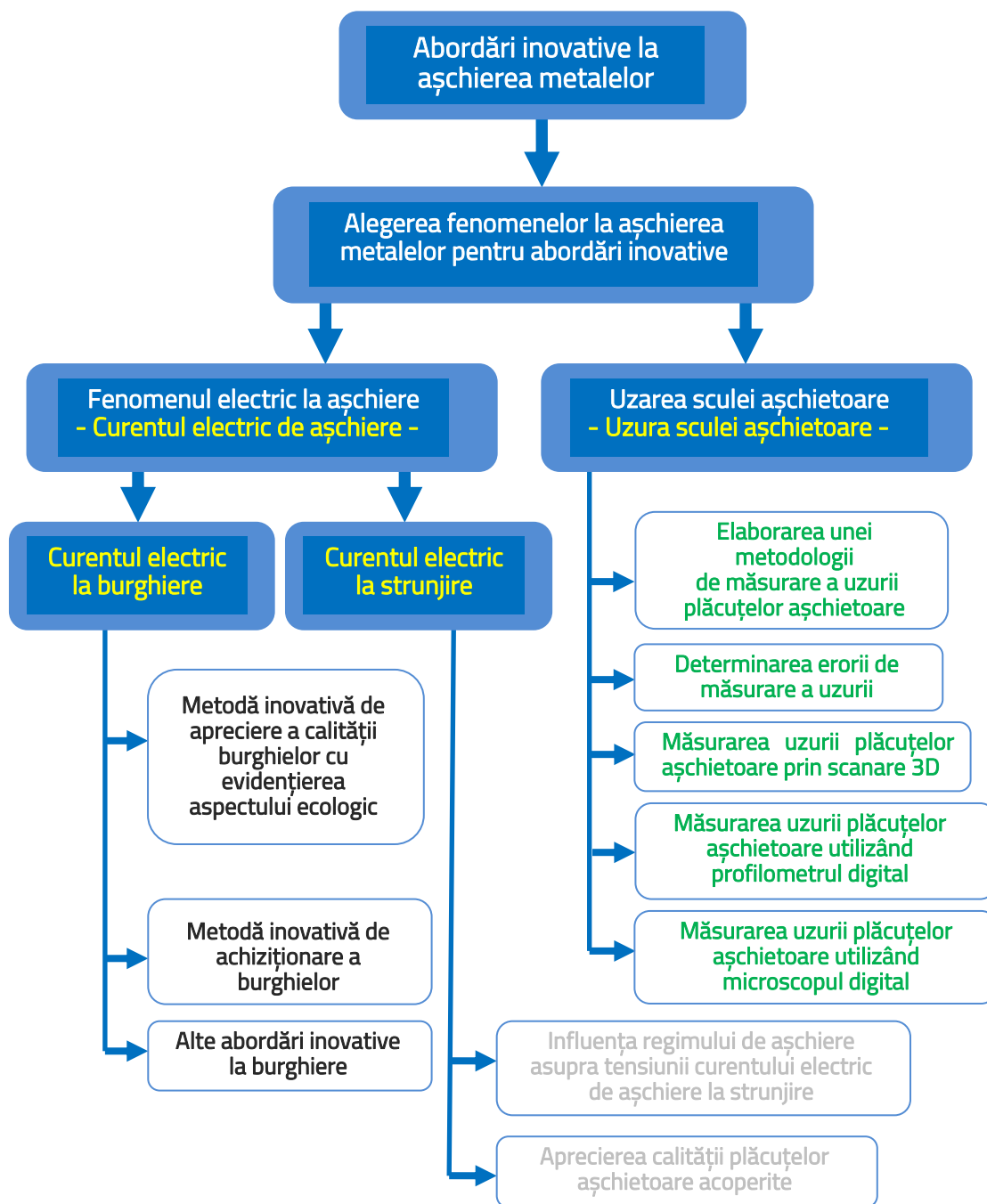


Figura 4.1. Organigrama capitolului 4

În capitolul 1 al tezei de doctorat s-a evidențiat faptul că unul dintre fenomenele identificate a avea loc în procesul de aşchiere este fenomenul electric. Deși a fost identificat de mult timp, totuși, nu s-a utilizat la scară industrială în aplicații, cu excepția aprecierii temperaturii în procesul de aşchiere. Raritatea utilizării curentului electric de aşchiere în practică face ca identificarea unor noi aplicații să capete caracter inovativ. Scopul capitolului 4, sintetizat în organigrama din fig. 4.1 este de a elabora aplicații inovative ale curentului electric de aşchiere pentru burghiere.

4.1. Stand pentru măsurarea curentului electric de aşchiere la burghiere

În vederea desfășurării unor cercetări cu caracter experimental a fost configurat un stand care permite măsurarea curentului electric de aşchiere la burghiere (figura 4.2).

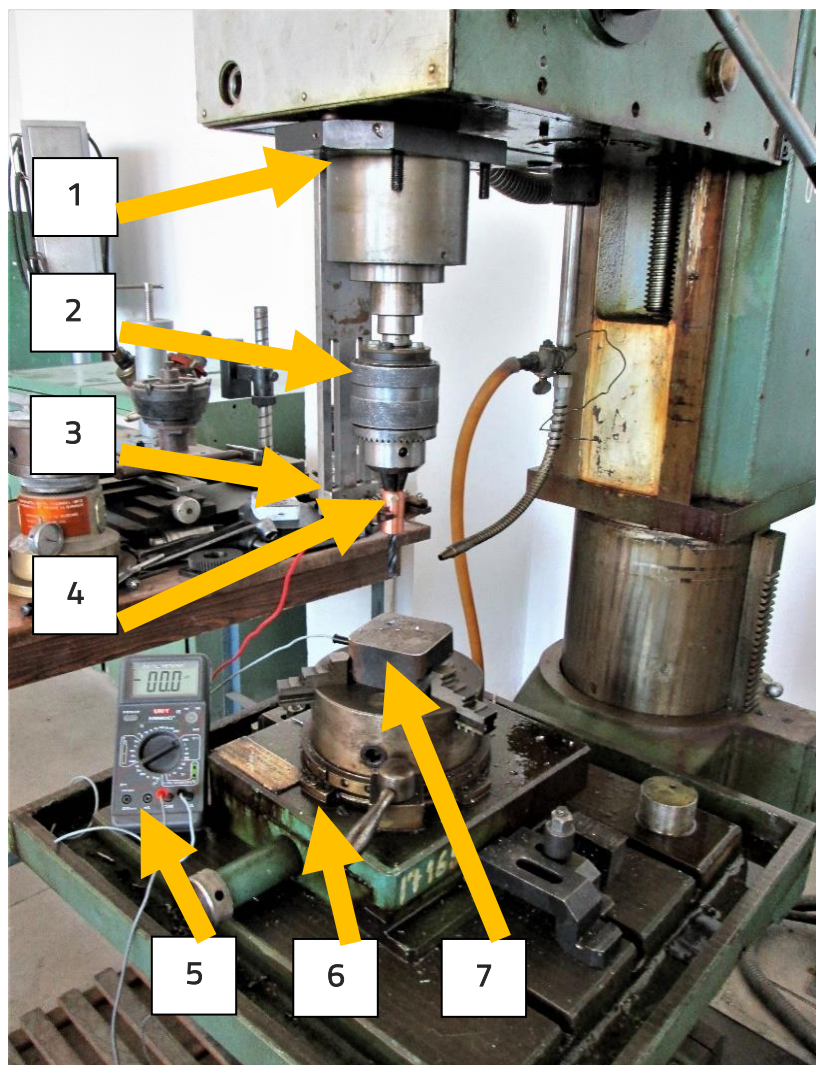


Fig. 4.2. Stand experimental pentru măsurarea curentului electric de aşchiere la burghiere

Părțile componente ale standului experimental sunt:

1. Mașină de găurit; 2. Mandrin ce este izolat electric față de mașina-unealtă; 3. Suport pentru colector; 4. Colector; 5. Multimetru de precizie clasic; 6. Dispozitiv de experimentări; 7. Piesa care urmează a fi aşchiată.

4.2. Aprecierea calității unui lot de burghie

4.2.1. Identificarea aplicației

Estimarea durabilității tăişului unei scule aşchietoare are o mare importanță în controlul calității tăişului aşchietor mai ales în producția de serie, la achiziționarea unui lot de scule de către un beneficiar, ori pentru compararea diverselor scule aşchietoare achiziționate de la diverse firme pentru a studia raportul calitate/preț și a decide de unde se pot cumpăra în condiții avantajoase sculele aşchietoare de care are nevoie o societate comercială industrială [DAI17a].

Calitatea inițială a unui tăiş aşchietor, așa cum reiese din cercetările anterioare [PLO09, MUR13, MUR12, HIR98, DIT10, TAN04, NUR98], poate fi apreciată prin valoarea tensiunii curentului electric de aşchiere inițial. Cu cât această valoare este mai mare, cu atât temperatura inițială este mai mare datorită imperfecțiunilor tăişului aşchietor.

Prin această aplicație [DAI17a] se analizează influența imperfecțiunilor inițiale ale tăişului burghiului și asupra mărimii inițiale a tensiunii curentului electric de aşchiere.

4.2.2. Organizarea experimentelor

Au fost achiziționate 30 de burghie având diametrul $\varnothing 8$ mm, materialul tăişului aşchietor fiind Rp5. Pentru micșorarea timpului necesar experimentărilor burghierea s-a efectuat pe oțelul 42MoC11 (rezistența la rupere – 950 N/mm^2), cu ajutorul mașinii de găurit 6GCODA1. Compoziția chimică a materialului, conform STAS, Euronorm și DIN este următoarea: C (carbon) = $0,38 \div 0,45\%$; mangan (Mn) = $0,6 \div 0,9\%$; siliciu (Si) max. $0,4\%$; fosfor (P) max $0,035\%$; sulf (S) max. $0,03\%$; crom (Cr) = $0,9 \div 1,2\%$; molibden (Mo) = $0,15 \div 0,3\%$. Rezistența la rupere (R_m) este egală cu 950 N/mm^2 iar duritatea este egală cu 241 HB (unități Brinell).

Ordinea etapelor, ce urmează a fi parcurse în vederea cercetării experimentale, este următoarea:

1. Vizualizarea burghiilor la microscop;
2. Identificarea eventualelor imperfecțiuni și aprecierea inițială a calității burghiilor;
3. Măsurarea tensiunii curentului electric la burghiere;
4. Luarea deciziei asupra calității burghiilor pe baza valorii tensiunii curentului electric la aşchiere

4.2.3. Realizarea experimentelor și prelucrarea datelor

Curentul electric de aşchiere a fost măsurat cu ajutorul standului experimental din figura 4.2. S-a măsurat tensiunea inițială "U₀" pentru cele 30 de burghie iar rezultatele obținute s-au grupat pe 3 categorii de calitate, obținându-se următorul rezultat:

- Burghie calitatea I : U₀ = 0,1÷0,3 mV – 7 bucăți;
- Burghie calitatea a II-a : U₀ = 0,4÷0,5 mV – 13 bucăți;
- Burghie calitatea a III-a : U₀ = 0,6÷0,7 mV – 10 bucăți.

Având imaginile la microscop ale burghiilor înainte de a aşchia cu ele și mărimea curentului electric, au fost examinate tăşurile fiecărui burghiu în vederea găsirii defectelor de fabricație și a explicării ulterioare a mărimii tensiunii curentului electric de aşchiere. Pentru un burghiu s-au vizualizat atât tăşurile principale (două), cât și tăşul transversal, identificându-se dacă au defecte sau nu.

În figura 4.3 se prezintă imagini ale celor două tăşuri aşchietoare principale (1), (2) cât și a tăşului transversal (3) pentru burghiul nr. 10 care a avut tensiunea curentului electric de aşchiere de U_{0,10} = 0,2 mV (burghiu de calitate I).

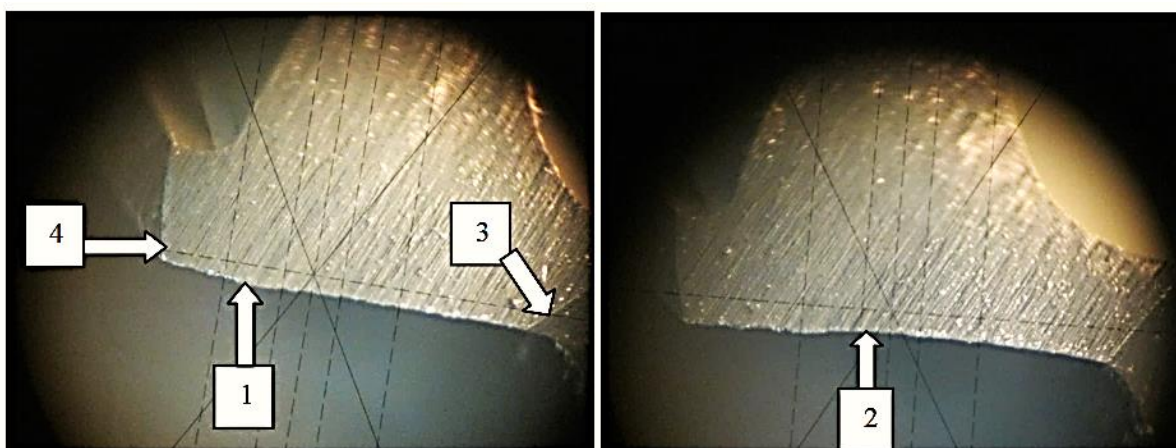


Fig. 4.3. Tăşurile principale (1), (2), tăşul transversal (3) și colțul (4) la burghiul nr.10, ce are U_{0,10} = 0,2 mV (burghiu de calitate I) [DAI17a]

Din figura 4.3 se poate constata faptul că atât tăşurile principale, cât și tăşul transversal, sunt corespunzătoare din punct de vedere al formei și rugozității. Totodată se poate constata că și colțurile burghiului sunt foarte bune. Toate burghiile din lot ar fi trebuit să aibă calitatea celui studiat.

În figura 4.4 sunt prezentate imagini ale tăşurilor aşchietoare de la burghiul numărul 14 care a avut un curent electric de aşchiere inițial de U_{0,14} = 0,6 mV (burghiu de calitate a III-a).

Analizând imaginile din figura 4.4 se poate constata că tăşul transversal (3) este parțial bine ascuțit, iar tăşurile principale (1), (2) ca și colțurile (3) sunt necorespunzătoare ceea ce explică creșterea temperaturii din zona de aşchiere și totodată a tensiunii curentului electric de aşchiere.

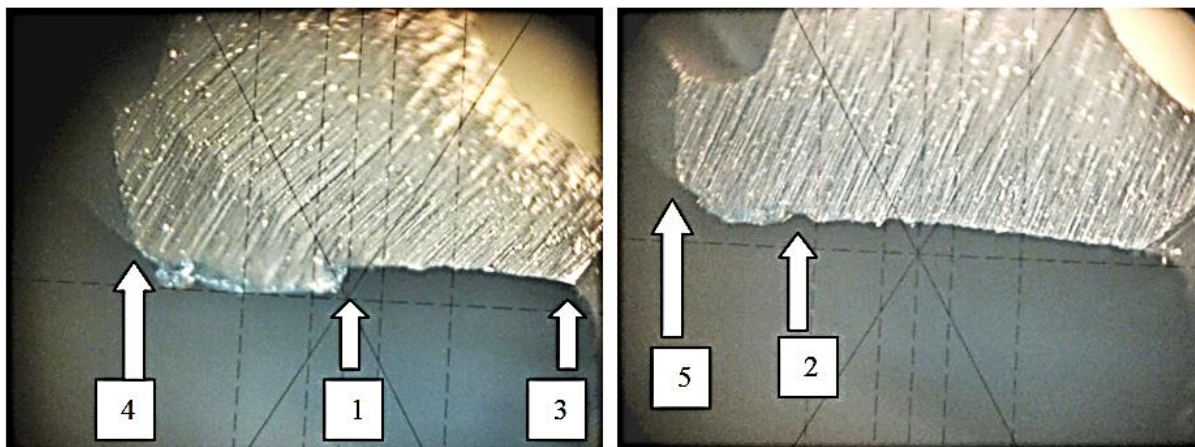


Fig. 4.4. Tăişurile principale (1), (2), tăişul transversal (3) şi colţurile (4), (5) la burghiul nr. 14 ce are $U_{0,14} = 0,6 \text{ mV}$ (burghiu de calitate a III-a) [DAI17a]

4.2.4. Interpretarea rezultatelor

Ca urmare a experimentelor efectuate se pot evidenția următoarele concluzii:

- Curentul electric de aşchiere este un mijloc inovativ în aprecierea calităţii tăişurilor la burghie şi poate fi utilizat cu uşurinţă în acest scop;
- Procentajul fiecărei clase de calitate din întreg lotul de burghie este următorul: 23,34% de burghie sunt de calitate I, 43,33% de calitate a II-a şi 33,33% de calitate a III-a; în această situaţie lotul de burghie are o calitate bună deoarece predomină burghiile de calitate a II-a ;
- Curentul electric de aşchiere este sensibil la orice imperfecţiune a tăişurilor burghiului;
- Curentul electric de aşchiere a evidenţiat şi o rugozitate necorespunzătoare obţinută la ascuţire datorită granulaţiei mari a discului abraziv utilizat;
- Dacă se determină durabilitatea burghiilor din fiecare clasă de calitate se poate face şi o analiză a raportului calitate/preţ.

4.3. Achiziţionarea inovativă a burghiilor

4.3.1. Identificarea aplicaţiei

Datorită frecvenţei de prelucrare a alezajelor prin burghiere, achiziţionarea corectă a sculelor aşchietoare conduce la economii semnificative în companiile industriale şi care pot evita sculele de proastă calitate ce sunt cumpărate de către utilizatorii particulari de la supermarketuri, utilizatori care sunt ademeniţi cu preţuri mici. Firmele de specialitate şi cu atât mai mult supermarketurile nu dau date, măcar informative, despre durabilitatea burghiilor pentru că ar fi uşor de făcut raportul calitate-preţ . Din acest motiv este oportună analiza

calităţii diferitelor mărci de burghie comercializate de diverşi furnizori [DAI17a]. O primă analiză comparativă a două loturi de burghie este prezentată în lucrarea [DIT08b] dar burghiile au avut un diametru de 6 mm, număr de bucăţi din fiecare lot 6, nu s-a făcut validarea rezultatelor şi nici o analiză economică. În acest subcapitol se face o analiză completă a două loturi formate din burghie cu un diametru de 8 mm.

4.3.2. Analiza experimentală a calităţii burghiilor din două loturi, de la doi furnizori, în funcţie de tensiunea curentului electric de aşchiere

În vederea aprecierii calităţii celor două loturi de burghie, pentru început, s-au achiziţionat câte 2 loturi cu câte 10 burghie în fiecare lot, de la două firme cunoscute, şi s-a măsurat tensiunea curentului electric de aşchiere iniţial U_0 pentru fiecare burghiu, cu ajutorul standului din figura 4.2.

Experimentele s-au efectuat pe materialul C45 ($R_m = 806 \text{ N/mm}^2$ – anexa 1) şi $HB = 227$. De remarcat este faptul că rezistenţa la rupere a oţelului C45 este comparabilă cu rezistenţa la rupere a oţelului 42MoC11 ($R_m = 950 \text{ N/mm}^2$)

Valori ale tensiunii curentului de aşchiere iniţial U_0 , pentru cele două loturi sunt prezentate în figura 4.5 .

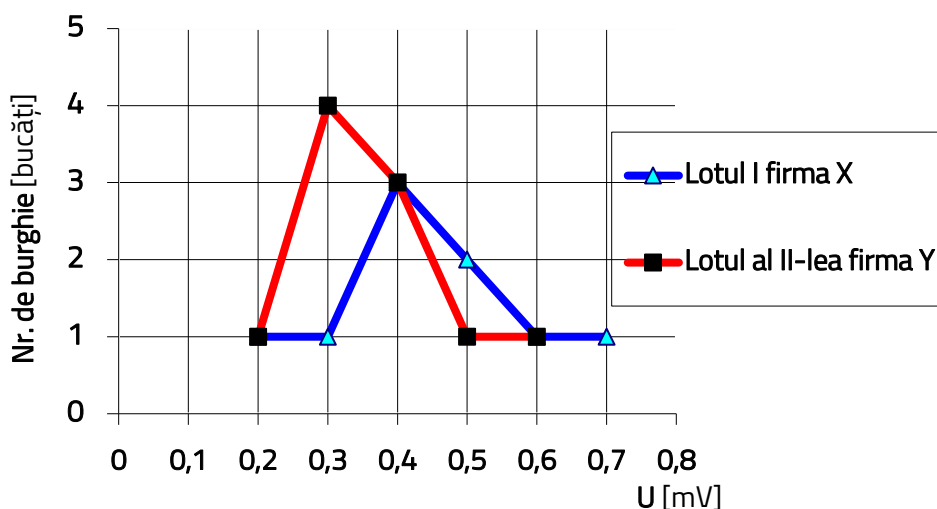


Fig. 4.5. Numărul de burghie la aceeaşi valoare a tensiunii curentului electric de aşchiere pentru lotul I şi lotul al II-lea

Din figura 4.5 se observă că lotul al II-lea are cel mai mare număr de burghie la tensiunea de 0,3 mV (4 burghie) iar lotul I are cel mai mare număr de burghie la tensiunea de 0,4 mV. Totodată diferenţa dintre tensiunea maximă şi tensiunea minimă este mai mică la lotul al II-lea ceea ce înseamnă că este stăpânit mai bine procesul de fabricaţie a burghiilor.

4.3.3. Estimarea inovativă a durabilităţii burghiilor din lotul I şi lotul al II-lea utilizând dependenţa liniară

Estimarea în mod inovativ a durabilităţii burghiilor pe baza măsurării tensiunii curentului electric de aşchiere are la bază constatarea dependenţei liniare a durabilităţii plăcuţelor aşchietoare de tensiunea curentului electric de aşchiere la strunjire în referinţele [DIT97] şi [DIT08]. Se presupune că dependenţa liniară semnalată mai sus este valabilă şi la burghiere.

Din cele două loturi se iau câte două burghie, şi anume, burghiul cu cea mai mică tensiune a curentului electric de aşchiere şi burghiul cu cea mai mare tensiune a curentului electric de aşchiere. Burghiele se supun încercărilor de durabilitate. Se aşchiază pe materialul C45 până la apariţia uzurii la colţuri de 0,4 mm (fig. 4.6), chiar dacă literatura de specialitate recomandă uzura admisibilă la colţuri de 0,6 mm. S-a apelat la această abordare pentru scurtarea timpului necesar experimentelor şi micşorarea consumului de material. Burghierea s-a efectuat până la o adâncime a alezajului în jurul valorii de 20 mm, adâncimea exactă măsurându-se ulterior cu un şubler digital iar valorile sunt rotunjite la mm. Pentru a opri aşchiera când uzura la colţ devenea 0,4 mm, înainte de atingerea acestei valori, s-a măsurat uzura, la microscopul industrial, după prelucrarea fiecărui alezaj. Rezultatele obţinute sunt prezentate în tabelul 4.1.

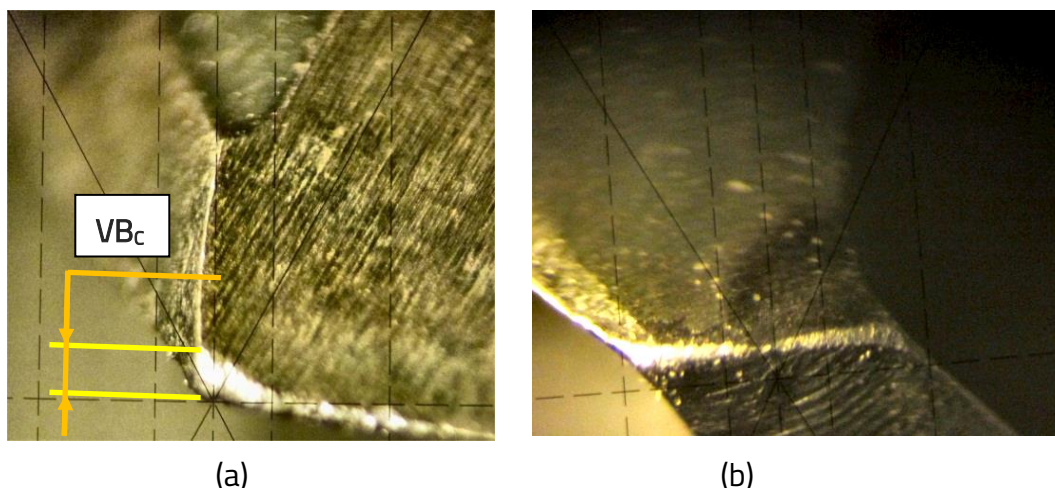


Fig. 4.6. Uzura la colţ a tăişului principal, (a), şi a uzura tăişului transversal, (b), la burghiu

Tabel 4.1. Valori cu încercările la durabilitate la aşchiera oţelului C45 cu patru burghie din HS6-5-2, două pentru lotul I şi două pentru lotul al II-lea						
Numărul burghiului din lotul I	Diametrul burghiului [mm]	Turaţia [rot/min]	Avansul [mm/rot]	Tensiunea U_0 a curentului electric de aşchiere [mV]	Adâncimea totală a alezajelor aşchiate [mm]	Timpul de aşchiere efectivă [min]
Lotul I						
2	8	560	0,25	0,7	17	0,12
9	8	560	0,25	0,2	282	2,01

Lotul al II-lea						
4	8	560	0,25	0,6	76	0,55
9	8	560	0,25	0,2	285	2,04

Pentru fiecare lot, utilizând ecuația dusă prin cele două puncte din tabelul 4.1 (fig. 4.7) se esimează durabilitatea pentru fiecare burghiu din cele două loturi. Durabilitatea, sugestiv, se măsoară prin adâncimea alezajului aşchiat.

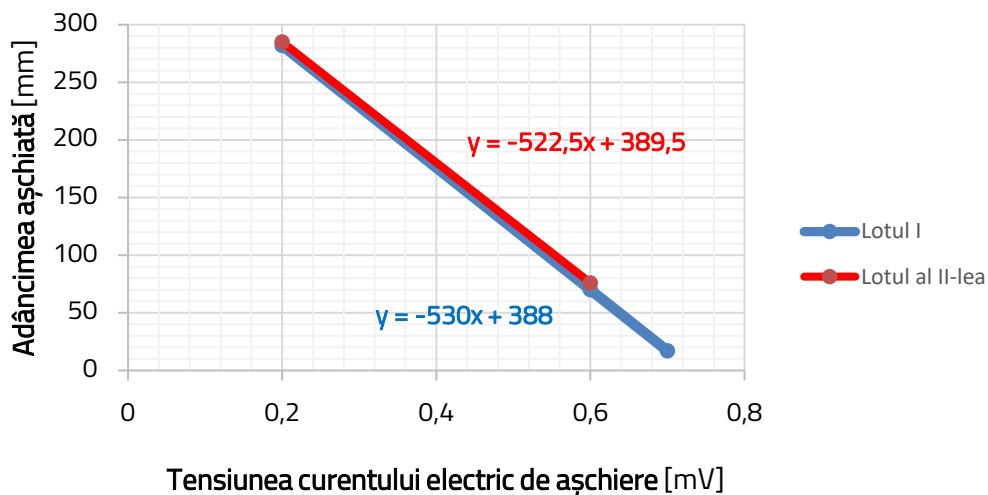


Fig. 4.7. Dependente liniare duse prin două puncte pentru cele două loturi de burghie și relațiile aferente

În tabelul 4.2 este dată estimarea durabilității pentru cele 10 burghie din lotul I și pentru cele 10 burghie din lotul al II-lea (mai puțin la două burghie din lot la care s-a determinat experimental). Totodată este dată și lungimea totală prelucrată cu cele 10 burghie din fiecare lot.

Tabelul 4.2. Durabilitatea estimată cu relațiile liniare din figura 4. 16 pentru fiecare tensiune măsurată a curentului electric de aşchiere, la cele două loturi de burghie

Nr. crt.	Tensiunea curentului electric de aşchiere U_0 [mV]	Lotul I		Lotul al II-lea	
		Nr. de burghie	Durabilitate/burghiu [mm]	Nr. de burghie	Durabilitate/burghiu [mm]
1	0,2	1	282	1	285
2	0,3	1	229	4	232,75
3	0,4	3	176	3	180,5
4	0,5	2	123	1	128,25
5	0,6	2	70	1	76
6	0,7	1	17	-	-
Total (rotunjit)		10	1442	10	1961,75

4.3.4. Validarea estimării durabilităţii burghiilor din lotul I şi lotul al II-lea

Ipoteza dependenţei liniare a durabilităţii burghiilor în funcţie de tensiunea curentului electric de aşchiere se validează prin încercări experimentale la durabilitate pentru fiecare burghiu şi în determinarea relaţiei de regresie.

Se continuă experimental încercările de durabilitate pentru toate burghiile din cele două loturi. Se aşchiază în continuare tot pe materialul C45 până la apariţia uzurii la colţuri de 0,4 mm (fig. 4.6). Valorile încercărilor la durabilitate pentru toate burghiile sunt centralizate în tabelul 4.3. pentru lotul I şi în tabelul 4.4 pentru lotul al II-lea.

Tabel 4.3. Valori cu încercările la durabilitate la aşchiera oţelului C45 cu burghie din HS6-5-2, pentru lotul I

Numărul burghiului din lotul I	Diametrul burghiului [mm]	Turaţia [rot/min]	Avansul [mm/rot]	Tensiunea U_0 a curentului electric de aşchiere [mV]	Adâncimea totală a alezajelor aşchiate [mm]	Timpul de aşchiere efectivă [min]
1	8	560	0,25	0,4	163	1,16
2	8	560	0,25	0,7	17	0,12
3	8	560	0,25	0,6	56	0,40
4	8	560	0,25	0,6	58	0,41
5	8	560	0,25	0,3	222	1,59
6	8	560	0,25	0,3	224	1,60
7	8	560	0,25	0,5	116	0,84
8	8	560	0,25	0,4	163	1,16
9	8	560	0,25	0,2	282	2,01
10	8	560	0,25	0,4	164	1,17
Total					1465	10,46

Tabel 4.4. Valori cu încercările la durabilitate la aşchiera oţelului C45 cu burghie din HS6-5-2, pentru lotul al II-lea

Numărul burghiului din lotul al II-lea	Diametrul burghiului [mm]	Turaţia [rot/min]	Avansul [mm/rot]	Tensiunea U_0 a curentului electric de aşchiere [mV]	Adâncimea totală a alezajelor aşchiate [mm]	Timpul de aşchiere efectivă [min]
1	8	560	0,25	0,4	171	1,22
2	8	560	0,25	0,3	231	1,65
3	8	560	0,25	0,3	229	1,64
4	8	560	0,25	0,6	76	0,55
5	8	560	0,25	0,3	226	1,61

6	8	560	0,25	0,4	167	1,19
7	8	560	0,25	0,5	117	0,84
8	8	560	0,25	0,3	226	1,61
9	8	560	0,25	0,2	285	2,04
10	8	560	0,25	0,3	230	1,64
Total					1958	13,99

În tabelul 4.5 sunt date valorile medii pentru adâncimea alezajului aşchiat în funcție de tensiunea curentului electric de aşchiere. Datele din tabelul 4.5 sunt reprezentate grafic în figura 4.8.

Tabelul 4.5. Durabilitatea medie a burghiilor în funcție de tensiunea curentului electric de aşchiere pentru lotul I și lotul al II-lea

Nr. crt	Tensiunea U_0 a curentului electric de aşchiere [mV]	Adâncimea medie aşchiată pentru lotul I [mm]	Adâncimea medie aşchiată pentru lotul al II-lea [mm]
1	0,2	282	285
2	0,3	223	229
3	0,4	163	169
4	0,5	116	117
5	0,6	57	76
6	0,7	17	-

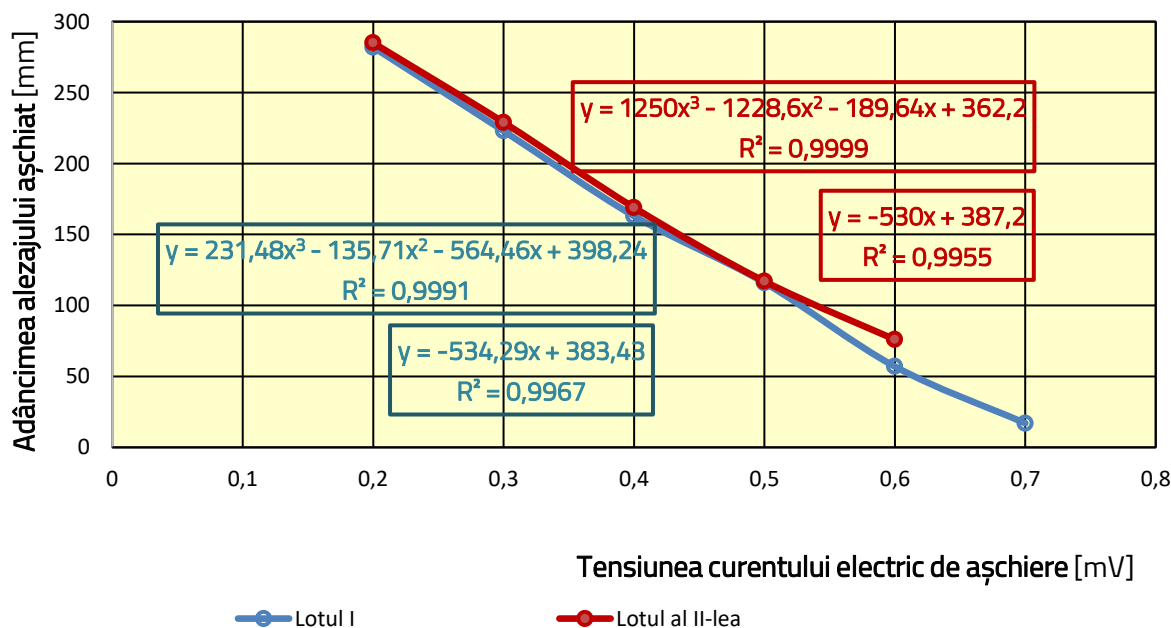


Fig. 4.8. Graficul adâncimii alezajului aşchiat în funcție de valoarea tensiunii curentului electric de aşchiere pentru lotul I și lotul al II-lea.

Din figura 4.8 se constată că variația adâncimii alezajului aşchiat în funcție de tensiunea curentului electric de aşchiere este liniară pentru ambele loturi și foarte apropiate ca pantă. Tot din figura 4.8 se constată că regresia polinomială de gr. 2 are coeficientul de determinare mai mare decât regresia liniară și în consecință este ceva mai precisă (diferența de la a doua zecimală față de coeficientul de determinare de la regresia liniară).

4.3.5. Estimarea inovativă a durabilității burghiilor din lotul I și lotul al II-lea utilizând relația polinomială de gradul 2, comparativ cu relația liniară

Dacă se utilizează o relație polinomială de gradul 2 este nevoie de 3 experimente pentru fiecare lot de burghie în vederea determinării ecuației polinomiale de estimare a durabilității burghiilor. În tabelul 4.6 sunt date experimentale pentru determinarea ecuației polinomiale.

Tabel 4.6. Valori cu încercările la durabilitate la aşchiera oțelului C45 cu șase burghie din HS6-5-2, trei pentru lotul I și trei pentru lotul al II-lea

Numărul burghiului din lotul I	Diametrul burghiului [mm]	Turația [rot/min]	Avansul [mm/rot]	Tensiunea U_0 a curentului electric de aşchiere [mV]	Adâncimea totală a alezajelor aşchiate [mm]	Timpul de aşchiere efectivă [min]
Lotul I						
2	8	560	0,25	0,7	17	0,12
1	8	560	0,25	0,4	163	1,16
9	8	560	0,25	0,2	282	2,01
Lotul al II-lea						
4	8	560	0,25	0,6	76	0,55
6	8	560	0,25	0,4	167	1,19
9	8	560	0,25	0,2	285	2,04

Datele din tabelul 4.6 sunt reprezentate grafic în figura 4.9.

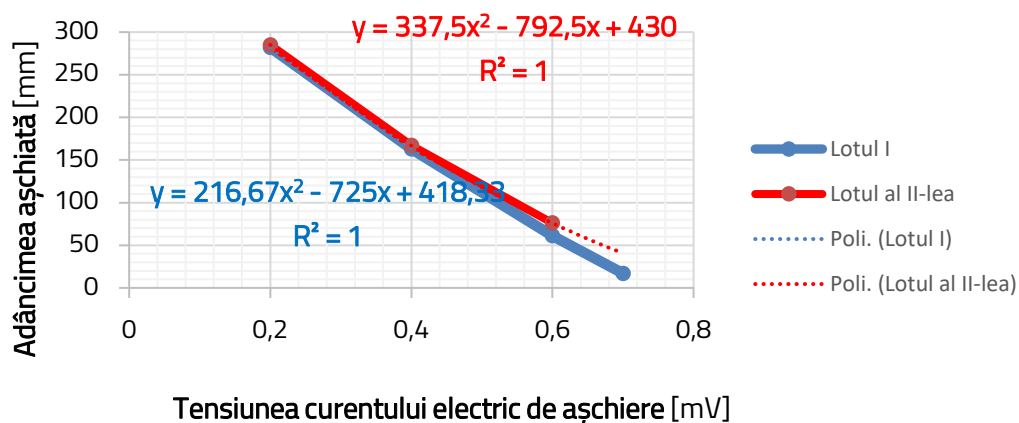


Fig. 4.9. Dependența polinomială de estimare a durabilității burghiilor din cele două loturi

În tabelul 4.7, cu ajutorul relațiilor din figura 4.9, se compară valorile experimentale cu cele estimate utilizând relații polinomiale de gradul 2.

Tabelul 4.7. Abaterea dintre punctele măsurate și cele estimate cu relația polinomială de gradul 2, specifică fiecărui lot de fabricație

Nr. crt	Tensiunea U_0 a curentului electric de aşchiere [mV]	Lotul I			Lotul al II-lea		
		Adâncimea medie aşchiată [mm]	Adâncimea estimată [mm]	Abaterea [%]	Adâncimea medie aşchiată [mm]	Adâncimea estimată [mm]	Abaterea [%]
1	0,2	282	282,000	0	285	285	0
2	0,3	223	220,333	-1,196	229	222,625	-2,784
3	0,4	163	163,000	0	169	169	0
4	0,5	116	110,000	-5,172	117	118,125	0,962
5	0,6	57	61,333	7,602	76	76	0
6	0,7	17	17,000	0	-	-	-

Dacă se admite că o eroare la măsurarea durabilității de 10% este acceptabilă, se constată următoarele:

- Relația polinomială determinată prin 3 puncte estimează toate datele obținute experimental, inclusiv adâncimea totală aşchiată, cu o eroare de până la 10%;
- Relația liniară determinată prin 2 puncte extreme, cu o singură excepție ($U_0 = 0,6$ mV), estimează toate datele experimentale, inclusiv adâncimea totală aşchiată, înscriindu-se cu eroarea până în 10%;
- Datele obținute experimental sunt estimate mai bine de ecuația polinomială determinată prin trei puncte;
- Adâncimea totală aşchiată este estimată mai bine de ecuația liniară prin 2 puncte.

În concluzie, dacă se dorește estimarea durabilității fiecărui burghiu în funcție de tensiunea curentului electric de aşchiere este bine să se folosească ecuația polinomială de gradul 2 determinată de 3 puncte experimentale, iar dacă se dorește estimarea doar a durabilității totale pentru un lot de fabricație în funcție de tensiunea curentului electric de aşchiere specifică fiecărui burghiu din loturile de fabricație este suficient să se folosească dependența liniară determinată de 2 puncte experimentale extreme.

4.3.6. Analiza economică la achiziționarea a două loturi de burghie

Având durabilitatea fiecărui burghiu din lot măsurată prin adâncimea aşchiată dar și adâncimea totală prelucrată de fiecare lot de burghie se împarte costul achiziționării lotului de burghie la adâncimea totală aşchiată determinată experimental sau estimată cu ecuația liniară (care necesită doar două determinări experimentale pentru fiecare lot) și se determină costul mediu cu sula aşchietoare pentru prelucrarea a 1 mm adâncime aşchiată. Se compară cele două loturi prin prizma indicatorului de mai înainte și se va recomanda a se achiziționa burghie

de la firma la care costul mediu cu scula aşchietoare este cel mai mic [DAI17a]. Tabelul 4.8 centralizează abordarea economică.

Lotul I de burghie se putea achiziţiona din două locaţii diferite, la preţuri diferite, şi anume de 50,5 lei/lot, respectiv 66,3 lei/lot. Evident, pentru experimentări, s-a achiziţionat lotul I la preţul de 50,5 lei. Lotul al II-lea s-a găsit doar într-o singură locaţie, la preţul unic de 87,1 lei/lot şi evident, s-a achiziţionat la acest preţ.

Tabelul 4.8. Analiza economică a prelucrării cu burghie din cele două loturi				
Lotul de burghie	Cost lot [lei]	Adâncime aşchiată [mm]	Cost 1 mm adâncime aşchiată [lei]	Cost prelucrare un alezaj de h = 20 mm [lei]
Lotul I	50,5/66,3	1465	0,0345/0,0453	0,69/0,91
Lotul al II-lea	87,1	1958	0,0445	0,89

Ca urmare a analizei efectuate (tab. 4.8) se poate concluziona:

- Calitativ burghiile din lotul II de la firma Y sunt mai bune decât burghiile din lotul I de la firma X;
- Dacă un burghiu este folosit doar ocazional atunci este bine să se achiziţioneze burghie de la firma X de unde s-a achiziţionat lotul I deoarece costul pe mm adâncime aşchiată este mai mic comparativ cu lotul al II-lea;
- Dacă s-ar fi achiziţionat lotul I la preţul de 66,3 lei şi presupunând că durabilitatea lotului este similară lotului achiziţionat, atunci este bine să se achiziţioneze burghie similare celor din lotul al II-lea deoarece, chiar dacă lotul este mai scump, costul pe mm adâncime de prelucrat este mai mic;
- Dacă nu se determină sau se estimează durabilitatea loturilor de burghie nu s-ar fi ştiut care lot să fie achiziţionat pentru a avea cel mai mic cost pe mm adâncime aşchiată;
- Dacă se doreşte egalitate de costuri şi luând ca referinţă costul lotului al II-lea se poate determina costul primului lot, $C_{lot I}$, cu relaţia $C_{lot I} = C_{lot II} \times T_{lot I} / T_{lot II}$ unde T sunt durabilităţile; în cazul datelor experimentale realizate $C_{lot I} = 65,17$ lei;
- Dacă lotul I se poate achiziţiona la un preţ mai mic decât 65,17 lei este economic să se achiziţioneze lotul I; dacă lotul I se poate achiziţiona la un preţ mai mare (cel mult egal) decât 65,17 lei atunci economic este să se achiziţioneze lotul al II-lea;
- Curentul electric de aşchiere este sensibil la orice imperfecţiune a tăişurilor burghiului şi este un mijloc simplu, rapid şi cu costuri mici în a aprecia calitatea unui lot de burghie;
- Analizând durabilitatea burghiilor din lotul al II-lea se constată că la o diferenţă 0,1 mV durabilitatea se micşorează sau se măreşte cu 18,33%.

4.4. Abordare ecologică la aprecierea calităţii burghiilor

Realizarea de tehnologii nepoluante a devenit o necesitate pentru a păstra mediul curat.

Analiza comparativă a diverselor tehnici și tehnologii, din punct de vedere ecologic, a devenit o necesitate prin prisma protejării mediului. Abordarea ecologică trebuie realizată în toate domeniile de activitate umană. Micșorarea poluării dintr-un anumit domeniu are ca o primă abordare micșorarea cantităţii de material poluant rezultat în urma unor procese [DAI18].

Cum prelucrarea prin aşchiere reprezintă o modalitate de bază pentru obţinerea diverselor piese, orice element rezultat din procesul de aşchiere cu potenţial de poluare trebuie analizat, micșorată cantitatea în care se produce sau chiar eliminat total. La ora actuală omenirea se concentrează asupra cantităţilor mari de materiale poluante și neglijează cantitățile mici ce rezultă din procese [DAI18].

Studiul de caz abordat pentru analiză se referă la găsirea unei metode mai puțin poluante de apreciere a calităţii unui lot de scule aşchietoare.

Se propune pentru aprecierea calităţii burghiilor, în loc de încercări la durabilitate, măsurarea curentului electric de aşchiere [DAI18].

Astfel, pentru compararea a două loturi de burghie, prezentată la subcapitolul 4.3, față de metoda clasică, datorită timpului scurt de aşchiere (aproximativ 10 mm adâncime alezaj) cantitatea de aşchii rezultată este foarte mică.

În varianta clasică experimentele s-au efectuat până la apariția uzurii admisibile, timpul de aşchiere efective fiind durabilitatea burghiului. Conform subcapitolului 4.3 durabilitatea la regimul de aşchiere cu care s-au efectuat experimentele este, pentru lotul I de 1465 mm iar pentru lotul al II-lea de 1958 mm.

Volumul de aşchii îndepărtat este:

$$V_{\text{lot I}} = L \cdot f \cdot a_p = 1465 \cdot 0,25 \cdot 4 = 1465 \text{ mm}^3$$

$$V_{\text{lot II}} = 1958 \cdot 0,25 \cdot 4 = 1958 \text{ mm}^3$$

în care,

f [rot/min] – avansul de aşchiere

a_p [mm] - adâncimea de aşchiere;

L [mm] – lungimea (adâncimea) alezajului prelucrat.

Pentru cele 2 loturi volumul de material îndepărtat este de:

$$V_{\text{lot I} + \text{lot II}} = 3423 \text{ mm}^3$$

În varianta estimării durabilităţii pe baza măsurării tensiunii curentului electric de aşchiere, rezultă:

$$L = 10 \text{ mm/burghiu}$$

$$V_{1 \text{ burghiu}} = L * s * t = 10 * 0,25 * 4 = 10 \text{ mm}^3$$

$$V_{\text{lot I} + \text{lot II}} = 10 * 20 = 200 \text{ mm}^3$$

În procente se constată că s-a redus cantitatea de material îndepărtat cu 94,16% deci în aceeaşi proporţie şi deşeurile rezultate din experimente.

4.5. Abordarea eficienţei intrării line în aşchiere a burghiului de $\phi 8$ mm utilizând curentul electric de aşchiere

4.5.1. Argumente privind intrarea lină în aşchiere a burghiului

Burghiul este scula aşchietoare ce lucrează în condiţiile cele mai dificile comparativ cu celelalte scule aşchietoare datorită următoarelor motive [DAI17b]:

- Viteza de aşchiere variază de la valoarea zero în centrul burghiului la valoarea maximă la diametrul exterior al acestuia;
- Datorită unghiului de aşezare funcţional, care are valoarea zero de la un diametru de aproximativ 0,3 mm, burghiul nu poate aşchia până în axa sa;
- Căldura degajată la burghiere se acumulează în proporţie foarte mare (minim 40%) în scula aşchietoare.

Cele prezentate anterior motivează luarea oricăror măsuri ce conduc la creşterea durabilităţii. Una dintre aceste măsuri este şi intrarea lină în aşchiere.

4.5.2. Prezentarea dispozitivului de intrare lină în aşchiere

Dispozitivul studiat se află în dotarea laboratorului de Bazele Aşchierii al departamentului Ingineria fabricaţiei din cadrul facultăţii de Inginerie Tehnologică şi Management Industrial de la Universitatea Transilvania din Braşov.

Dispozitivul pentru intrare lină în aşchiere a burghiului este prezentat în figura 4.10.

4.5.3. Planificarea experimentelor

Această aplicaţie are la bază rezultatele obţinute în aplicaţia *Aprecierea inovativă a calităţii unui lot de burghie*, descrisă în acest capitol, la subcapitolul 4.2.

Au fost utilizate cele 30 de burghie având diametrul de $\Phi 8$ mm prezentate în aplicaţia *Aprecierea inovativă a calităţii unui lot de burghie*, iar curentul electric de aşchiere a fost măsurat cu ajutorul standului experimental din figura 4.2 la aşchiera normală şi cu ajutorul instalaţiei din figura 4.11 la aşchiera cu intrare lină.

Regimul de aşchiere a fost: $v = 14,07$ m/min; $s = 0,25$ mm/rot; $t = D/2 = 4$ mm. Totodată s-a calculat forţa axială de aşchiere ($F_x = 2560$ N) în vederea reglării dispozitivului de intrare lină în aşchiere.

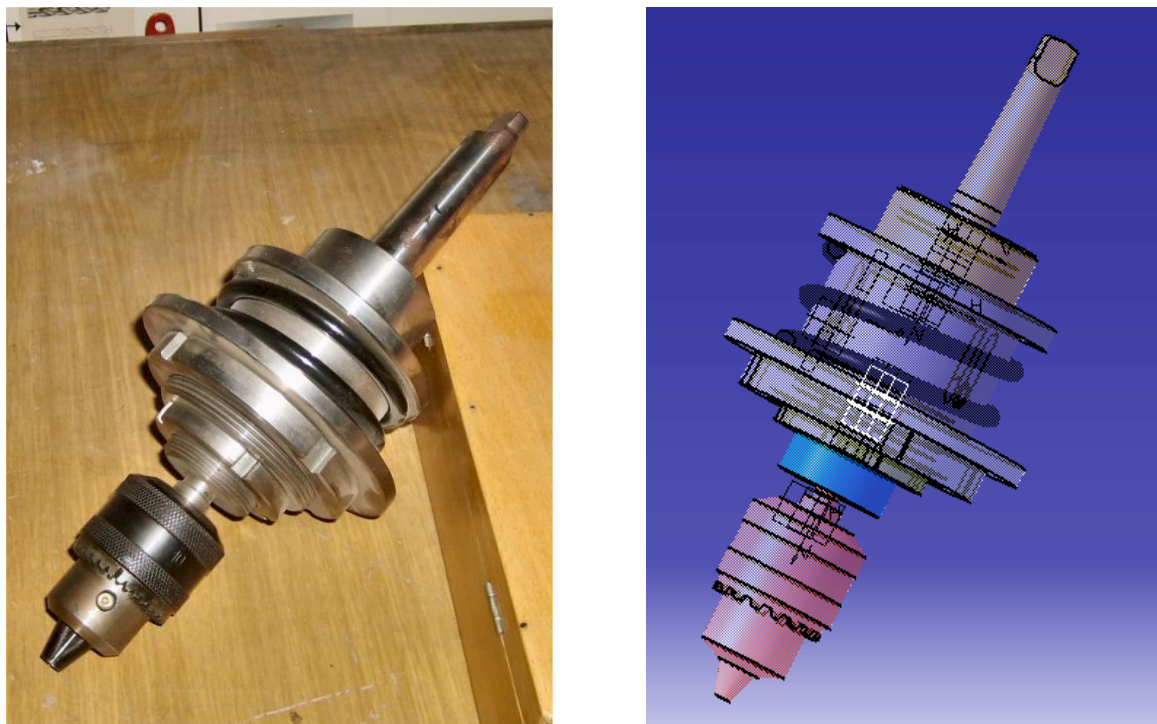


Fig 4.10. Dispozitivul pentru intrare lină în aşchiere

4.5.4. Efectuarea experimentelor și prelucrarea rezultatelor

Experimentările efectuate sunt reprezentate sub formă grafică în figura 4.12.

Graficul din figura 4.12 arată, în mod sugestiv, faptul că intrarea lină în aşchiere a burghiului determină o scădere a tensiunii curentului electric de aşchiere ceea ce implică o temperatură mai mică în zona de aşchiere ce are drept consecință creșterea durabilității.

Ca urmare a experimentelor efectuate se pot evidenția următoarele concluzii:

- Intrarea lină în aşchiere a burghiilor contribuie la mărirea durabilității acestora prin scăderea temperaturii din zona de aşchiere; în acest caz aşchiera se desfășoară la egalitatea dintre rezistența la aşchiere a materialului și forța de aşchiere; totodată are loc și o amortizare a vibrațiilor;
- Dacă se face comparație cu burghierea oțelului C45 cu același tip de burghiu, în aceleași condiții dar materialul aşchiat este 42MoC11 se constată aceleași valori pentru tensiunea curentului electric de aşchiere; cum în cazul aşchierii oțelului C45 s-a constatat experimental că la o creștere a tensiunii curentului electric de aşchiere de 1 mV durabilitatea scădea cu 18,33%, extrapolând, rezultă o creștere medie a durabilității burghiului prin introducerea lină în aşchiere de 24,92%;



Fig. 4.11. Stand experimental pentru măsurarea curentului electric la burghierea cu intrare lină în aşchiere [DAI17b]

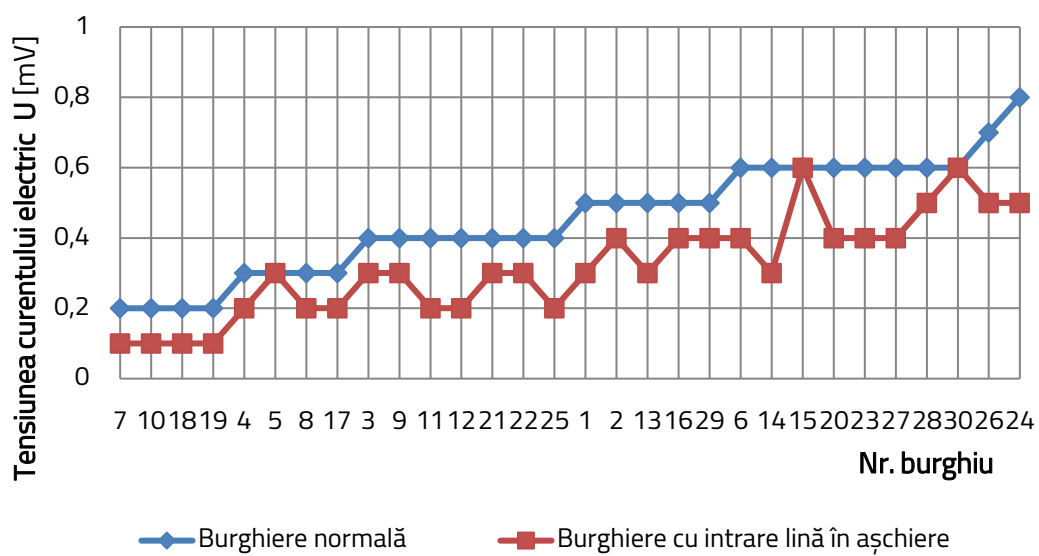


Fig. 4.12. Graficul variaţiei tensiunii curentului de aşchiere în ordinea crescătoare a tensiunii [DAI17b]

Ca urmare a experimentelor efectuate se pot evidenția următoarele concluzii:

- Intrarea lină în aşchiere a burghiilor contribuie la mărirea durabilității acestora prin scăderea temperaturii din zona de aşchiere; în acest caz aşchiera se desfășoară la egalitatea dintre rezistența la aşchiere a materialului și forța de aşchiere; totodată are loc și o amortizare a vibrațiilor;
- Dacă se face comparație cu burghierea oțelului C45 cu același tip de burghiu, în aceleași condiții dar materialul aşchiat este 42MoC11 se constată aceleași valori pentru tensiunea curentului electric de aşchiere; cum în cazul aşchierii oțelului C45 s-a constatat experimental că la o creștere a tensiunii curentului electric de aşchiere de 1 mV durabilitatea scădea cu 18,33%, extrapolând, rezultă o creștere medie a durabilității burghiului prin introducerea lină în aşchiere de 24,92%;

4.6. Reingineria dispozitivului pentru intrarea lină în aşchiere a burghiului

În timpul dezansamblării dispozitivului în vederea studierii și reproiectării componentelor sale s-a observat că rolul de intrare lină în aşchiere este îndeplinit cu ajutorul arc elicoidal de compresiune.

Pentru lărgirea gamei de diametre ale burghiilor care să poată fi folosite pe acest dispozitiv, trebuie redimensionat arcul elicoidal de compresiune.

În vederea redimensionării arcului de compresiune a fost necesar calculul forței axiale.

4.6.1. Calculul forței axiale de aşchiere la burghiere

Pentru calculul forței de aşchiere axiale este necesară parcurgerea etapelor sintetizate în figura 4.13.

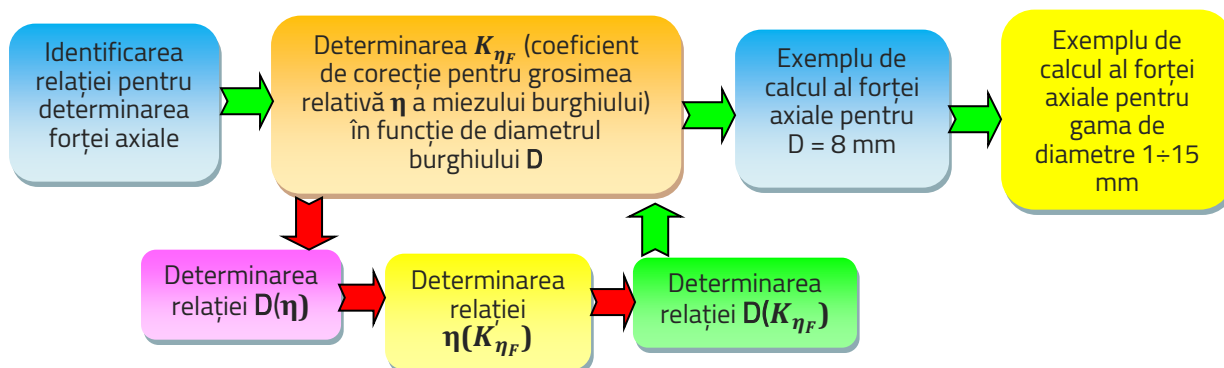


Fig. 4.13. Etapele de calcul al forței de aşchiere axiale la burghiere

Tabelul 4.9 centralizează valoarea forței axiale la burghiere în funcție de diametrul burghiului și de avansul de aşchiere pentru gama de diametre ale burghiului 1÷15 mm.

Tab. 4.9. Forța axială la burghierea oțelului C45 cu un burghiu din oțel rapid (HSS)

Diametrul burghiului [mm]	Avansul de aşchiere [mm/rot]						
	0,1	0,15	0,2	0,25	0,3	0,35	0,4
1	162,90	218,13	268,33	315,09	359,29	401,47	441,98
2	297,64	398,55	490,27	575,72	656,48	733,54	807,56
3	437,15	585,35	720,06	845,56	964,17	1077,35	1186,07
4	575,14	770,12	947,36	1112,48	1268,53	1417,43	1560,48
5	710,09	950,82	1169,65	1373,51	1566,18	1750,02	1926,62
6	848,35	1135,96	1397,40	1640,95	1871,13	2090,77	2301,76
7	987,97	1322,90	1627,36	1911,00	2179,07	2434,85	2680,56
8	1126,38	1508,30	1855,35	2178,91	2484,34	2775,96	3056,10
9	1270,11	1700,69	2092,10	2456,73	2801,35	3130,18	3446,07
10	1413,22	1892,32	2327,82	2733,54	3117,00	3482,87	3834,35
11	1555,57	2082,94	2562,31	3008,90	3430,97	3833,71	4220,59
12	1697,07	2272,40	2795,38	3282,59	3743,06	4182,43	4604,51
13	1837,62	2460,60	3026,89	3554,44	4053,05	4528,81	4985,84
14	1975,11	2644,71	3253,37	3820,40	4356,31	4867,67	5358,89
15	2113,38	2829,85	3481,12	4087,84	4661,27	5208,42	5734,04
	Forța axială [N]						

4.6.2. Calculul momentului de aşchiere la burghiere

Pentru calculul momentului de aşchiere este necesară parcurgerea aceluiaşi etape ca la calculul forței axiale de aşchiere (fig. 4.13).

Tabelul 4.10 centralizează valoarea momentului la burghiere în funcție de diametrul burghiului și de avansul de aşchiere în gama de diametre 1÷15 mm.

Tab. 4.10. Momentul la burghierea oțelului C45 cu un burghiu din oțel rapid (HSS)

Diametrul burghiului [mm]	Avansul de aşchiere [mm/rot]						
	0,1	0,15	0,2	0,25	0,3	0,35	0,4
1	0,0976	0,1372	0,1748	0,2108	0,2457	0,2796	0,3128
2	0,3194	0,4490	0,5717	0,6895	0,8037	0,9148	1,0234
3	0,6389	0,8981	1,1436	1,3794	1,6077	1,8299	2,0471
4	1,0449	1,4688	1,8704	2,2560	2,6293	2,9930	3,3480
5	1,5303	2,1512	2,7393	3,3040	3,8508	4,3832	4,9035
6	2,0901	2,9383	3,7414	4,5128	5,2596	5,9868	6,6974
7	2,7205	3,8244	4,8699	5,8738	6,8460	7,7924	8,7173
8	3,8184	4,8055	6,1191	7,3806	8,0021	9,7912	10,9534
9	4,1811	5,8777	7,4844	9,0273	10,5214	11,9759	13,3974
10	5,0065	7,0380	8,9619	10,8095	12,5984	14,3401	16,0423

11	5,8927	8,2839	10,5483	12,7229	14,8286	16,8785	18,8820
12	6,8381	9,6128	12,2405	14,7640	17,2075	19,5863	21,9112
13	7,8411	11,0229	14,0360	16,9296	19,7315	22,4593	25,1251
14	8,9005	12,5121	15,9323	19,2169	22,3973	25,4936	28,5197
15	10,0150	14,0789	17,9274	21,6232	25,2019	28,6859	32,0909
	Momentul de torsiune [N · m]						

4.6.3. Calculul arcului dispozitivului pentru identificarea gamei de utilizare

Caracteristicile arcului dispozitivului sunt următoarele:

- Material: C65A (Arc 2) cu $\tau_{at} = 680 \text{ N/mm}^2$;
- Diametrul sârmei: $d = 6 \text{ mm}$;
- Pasul: $t = 10 \text{ mm}$;
- Diametrul exterior $D = 34 \text{ mm}$;
- Diametrul mediu: $D_m = 28 \text{ mm}$;
- Diametrul interior: $D_1 = D_m - d = 28 - 6 = 22 \text{ mm}$;
- Nr. de spire: $n = 4$;
- Nr. spirelor de reazem: $n_r = 1,5$;
- Înălţimea arcului în stare liberă: $H_0 = n \cdot t \cdot (n_r - 0,5) \cdot d = 4 \times 10 + 1 \times 6 = 46 \text{ mm}$;
- Indicele arcului: $i = D_m/d = 28/6 = 4,67$ ([CHI76]); $i = 4 \div 10$ ([CHI76]);
- Coeficientul de formă: $k = 1 + 1,6/i = 1,3426$ ([CHI76]);
- $F_{max} = \pi \cdot d^3 \cdot \tau_{at}/8 \cdot k \cdot D_m = \pi \cdot 6^3 \cdot 68/8 \cdot 1,3426 \cdot 28$ ([CHI76])
 $F_{max} = 153,433 \text{ daN}$ sau $F_{max} = 1534,33 \text{ N}$
- Modul de elasticitate transversal: $G = 8 \cdot 10^4 \text{ N/mm}^2$ ($7,8 \div 8,15$) $\cdot 10^4 \text{ N/mm}^2$;
- Modul de elasticitate longitudinal: $E = (19,5 \div 21) \cdot 10^4 \text{ N/mm}^2$;
- Săgeata maximă: $f_{max} = 8 \cdot D_m^3 \cdot n \cdot F_{max}/G \cdot d^4$ ([CHI76]) sau
 $f_{max} = 8 \cdot i^3 \cdot n \cdot F_{max}/G \cdot d$, rezultând $f_{max} = 8 \cdot 4,67^3 \cdot 4 \cdot 153,433/8 \cdot 10^3 \cdot 6 = 10,5 \text{ mm}$;
- Înălţimea minimă de lucru: $H_{min} = H_0 - f_{max} = 46 - 10,5 = 35,5 \text{ mm}$;
- Înălţimea de blocaj a arcului: $H_b = (n + n_r) \cdot d = 5,5 \cdot 6 = 33 \text{ mm}$;
- Săgeata de blocaj a arcului: $f_b = H_0 - H_b = 46 - 33 = 13 \text{ mm}$;
- Forţa de blocaj a arcului: $F_b = F_{max} \cdot f_b/f_{max} = 1534,33 \cdot 13/10,5 = 1899,65 \text{ N}$.

4.6.4. Identificarea parametrilor de lucru pentru dispozitivul de intrare lină în aşchiere a burghiului

În identificarea parametrilor de lucru se porneşte de la următorul raţionament:

- burghiul trebuie să aibă forţa axială maximă puţin mai mare puţin faţă de forţa de blocaj a arcului pentru a se asigura de intrarea lină şi a colţului burghiului;
- forţa minimă de pretensionare a arcului să fie mai mică decât forţa de aşchiere la diametrul miezului burghiului;

- forţa de pretensionare a arcului trebuie să determine o săgeată cel puţin egală cu 0,75 din pasul filetului piuliţei de strângere;
- forţa axială la tăişul transversal (se va lua diametrul miezului burghiului d_0) trebuie să fie mai mare decât forţa de pretensionare.

Forţa de pretensionare a arcului va fi:

Dacă $f = 1$ mm (2/3 rotaţii a piuliţei de pretensionare) forţa de pretensionare rezultă:

$$F_{\text{pretens}} = G \cdot d \cdot f_{\text{pretens}} / 8 \cdot i^3 \cdot n = 8000 \cdot 6 \cdot 1/8 \cdot 4,67^3 \cdot 4 = 147,28 \text{ N}$$

În final rezultă că arcul are următoarele valori pentru forţele de lucru:

$$F_{\text{pretens}} = 147,28 \text{ N}$$

$$F_{\text{max}} = 1534,33 \text{ N}$$

$$F_b = 1899,65 \text{ N}$$

Caracteristicile arcului arată că dispozitivul de intrare lină în aşchiere se va folosi optim în gama de diametre 5÷8 mm cu avansurile recomandate deoarece la diametrul $D_b = 5$ mm forţa de aşchiere la miezul burghiului $F_{d0} = 197,38 \text{ N} > F_{\text{pretens}} = 147,28 \text{ N}$ iar la diametrul de 8 mm forţa axială $F_x = 1987,14 \text{ N}$ de aşchiere este aproximativ egală cu forţa de blocaj a arcului $F_b = 1899,65 \text{ N}$.

4.6.5. Modificarea arcului de lucru la dispozitivul de intrare lină în aşchiere a burghiului

a) Pentru a modifica dispozitivul pentru altă gamă de diametre ale burghiului se proiectează un nou arc după următoarele date:

- Materialul arcului: C65A (Arc2) cu $\tau_{\text{at}} = 680 \text{ N/mm}^2$;
- Înălţimea liberă a arcului: $H_0 = 46$ mm;
- Diametrul sârmei: $d = 3,6$ mm;
- Numărul de spire active: $n = 7$;
- Nr. spirelor de reazem: $n_r = 1,5$;
- Pasul arcului: $t = [H_0 - (n_r - 0,5)d] / n = 6,057$ mm;
- $D = 20,4$ mm;
- $D_m = 16,8$ mm;
- $D_i = 13,2$ mm;
- $i = D_m / d = 16,8 / 3,6 = 4,67$;
- $k = 1 + 1,6 / d = 1 + 1,6 / 3,6 = 1,44$;
- $F_{\text{max}} = \pi \cdot d^3 \cdot \tau_{\text{at}} / 8 \cdot k \cdot D_m = \pi \cdot 3,6^3 \cdot 680 / 8 \cdot 1,44 \cdot 16,8 = 515 \text{ N}$;
- $f_{\text{max}} = 8 \cdot i^3 \cdot n \cdot F_{\text{max}} / G \cdot d = 8 \cdot 4,67^3 \cdot 7 \cdot 51,5 / 8 \cdot 10^3 \cdot 3,6 = 10,2$ mm;

- $H_{\min} = H_0 - f_{\max} = 46 - 10,200 = 35,800 \text{ mm};$
- $H_b \text{ (înălţimea de blocaj)} = (n + n_r) \cdot d = 8,5 + 3,6 = 30,6 \text{ mm};$
- $f_b \text{ (săgeata de blocaj)} = H_0 - H_b = 46 - 30,6 = 15,4 \text{ mm};$
- $F_b \text{ (forţa de blocaj)} = F_{\max} \cdot f_b / f_{\max} = 515 \cdot 15,4 / 10,200 = 777,55 \text{ N};$
- $F_{\text{pretens}} = G \cdot d + f_{\text{pretens}} / 8 \cdot i^3 \cdot n = 8000 \cdot 3,6 + 1/8 \cdot 4,67^3 \cdot 7 = 50,5 \text{ N}.$

Utilizând arcul cu caracteristicile de mai sus dispozitivul de intrare lină în aşchiere poate fi folosit în gama de diametre 2÷4 mm.

b) Dacă se utilizează ambele arcuri concomitent caracteristicile vor fi:

- $F_{\text{pretens}} = F_{\text{pretens } 1} + F_{\text{pretens } 2} = 147,28 + 50,50 = 197,28 \text{ N};$
- $F_{\max} = F_{\max 1} + F_{\max 2} = 1534,33 + 515 = 2049,33 \text{ N};$
- $F_b = F_{b 1} + F_{b 2} = 1899,65 + 777,55 = 2677,2 \text{ N}.$

În acest caz gama de diametre pentru care se poate folosi dispozitivul este cuprinsă între 5÷10 mm și se va aşchia în felul următor:

- în gama de diametre 2÷4 mm se va folosi arcul cu diametrul $D = 20,4 \text{ mm};$
- în gama de diametre 5÷8 mm se va folosi arcul cu diametrul $D = 34 \text{ mm};$
- în gama de diametre 9÷10 mm se vor folosi ambele arcuri, concomitent.

4.7. Concluzii

- Se propune a se estima calitatea unui tăiş la burghiu prin măsurarea tensiunii curentului electric de aşchiere rezultat la prelucrarea materialelor metalice, bune conducătoare de electricitate, cu tăişuri, de asemenea, bune conducătoare de electricitate;
- S-a demonstrat experimental că tensiunea curentului electric de aşchiere evidențiază orice imperfecțiune a tăişului aşchietor la burghie (ciobituri pe tăiş, colțuri ale burghiului cu rază mare, rugozitate necorespunzătoare a fețelor de aşezare, tăiş transversal necorespunzător) și în consecință, calitatea acestuia;
- A fost elaborat un algoritm de apreciere a calității unui lot de burghie măsurând doar tensiunea curentului electric de aşchiere;
- Se propune un algoritm de achiziționare comparativă a burghiilor utilizând măsurarea tensiunii curentului electric de aşchiere și încercări de durabilitate doar pentru 2 sau 3 burghie;
- Mărirea intervalului de variație a tensiunii curentului electric de aşchiere la un lot de burghie indică și elemente de capabilitate;
- Au fost analizate două tipuri de regresii care se propun a fi folosite în a estima durabilitatea unui lot de burghie, și anume, regresia liniară și regresia polinomială de gradul al 2-lea;
- Ecuația liniară estimează foarte bine durabilitatea totală a unui lot de burghie, necesitând doar două încercări la durabilitate, iar ecuația polinomială de gradul al 2-lea estimează foarte bine durabilitatea fiecărui burghiu din lot dar necesită încercări la durabilitate pentru 3 burghie din lot;

- Se evidențiază că metoda propusă este și ecologică față de metoda clasică de încercare la durabilitate, cantitatea de aşchii rezultate din experimentări fiind doar de 5,84% din cantitatea de aşchii ce ar fi rezultat din încercări clasice la durabilitate a fiecărui burghiu din lot;
- Este demonstrat faptul că intrarea lină în aşchiere a burghiului, prin experimentări clasice, conduce la o creștere a durabilității burghiului; se propune înlocuirea experimentărilor clasice cu măsurarea tensiunii curentului electric de aşchiere la burghiere și totodată se propune algoritmul experimentărilor;
- Experimentele au arătat că intrarea lină a burghiului în aşchiere conduce la scăderea tensiunii curentului electric de aşchiere; comparația la burghierea oțelului C45, cu același tip de burghiu, în aceleași condiții dar materialul aşchiat fiind 42MoC11, arată obținerea de valori similare pentru tensiunea curentului electric de aşchiere; în cazul aşchierii oțelului C45, experimental, se constată că la o creștere a tensiunii curentului electric de aşchiere de 1 mV durabilitatea scade cu 18,33%; extrapolând, rezultă o creștere medie a durabilității burghiului prin introducerea lină în aşchiere de 24,92%;
- A fost analizat un dispozitiv existent de intrare lină în aşchiere a burghiului; se determină prin calcule gama de utilizare, aceasta fiind de 5÷8 mm la burghierea oțelului C45;
- În determinarea gamei de utilizare a dispozitivului de intrare lină în aşchiere a fost nevoie de calculul forței axiale și a momentului de aşchiere; s-a constatat că legătura dintre diametrul burghiului și grosimea relativă a miezului burghiului era dată pe un interval de valori ceea ce făcea dificil alegerea unei valori neexistând o regulă în acest sens;
- Atât în calculul forței axiale la burghiere, cât și în calculul momentului de aşchiere, s-a determinat cu exactitate legătura dintre diametrul burghiului și coeficientul de corecție pentru grosimea relativă a miezului burghiului; totodată, tabelar, în gama de diametre de 1÷15 mm și în funcție de avansul de aşchiere este dată atât mărimea forței axiale cât și a momentului de torsiune la burghiere;
- A fost realizată reingineria dispozitivului de intrare lină în aşchiere și prin introducerea unui al doilea arc în interiorul celui existent s-a mărit gama de utilizare a dispozitivului în intervalul 2÷10 mm; pentru intervalul 2÷4 mm se va utiliza arcul cu $D = 20,4$ mm, pentru gama 5÷8 se va utiliza arcul cu $D = 34$ mm iar pentru gama 9÷10 se vor utiliza, concomitent, ambele arcuri.

Capitolul 5 ABORDAREA INOVATIVĂ A UTILIZĂRII CURENTULUI ELECTRIC DE AŞCHIERE LA STRUNJIRE

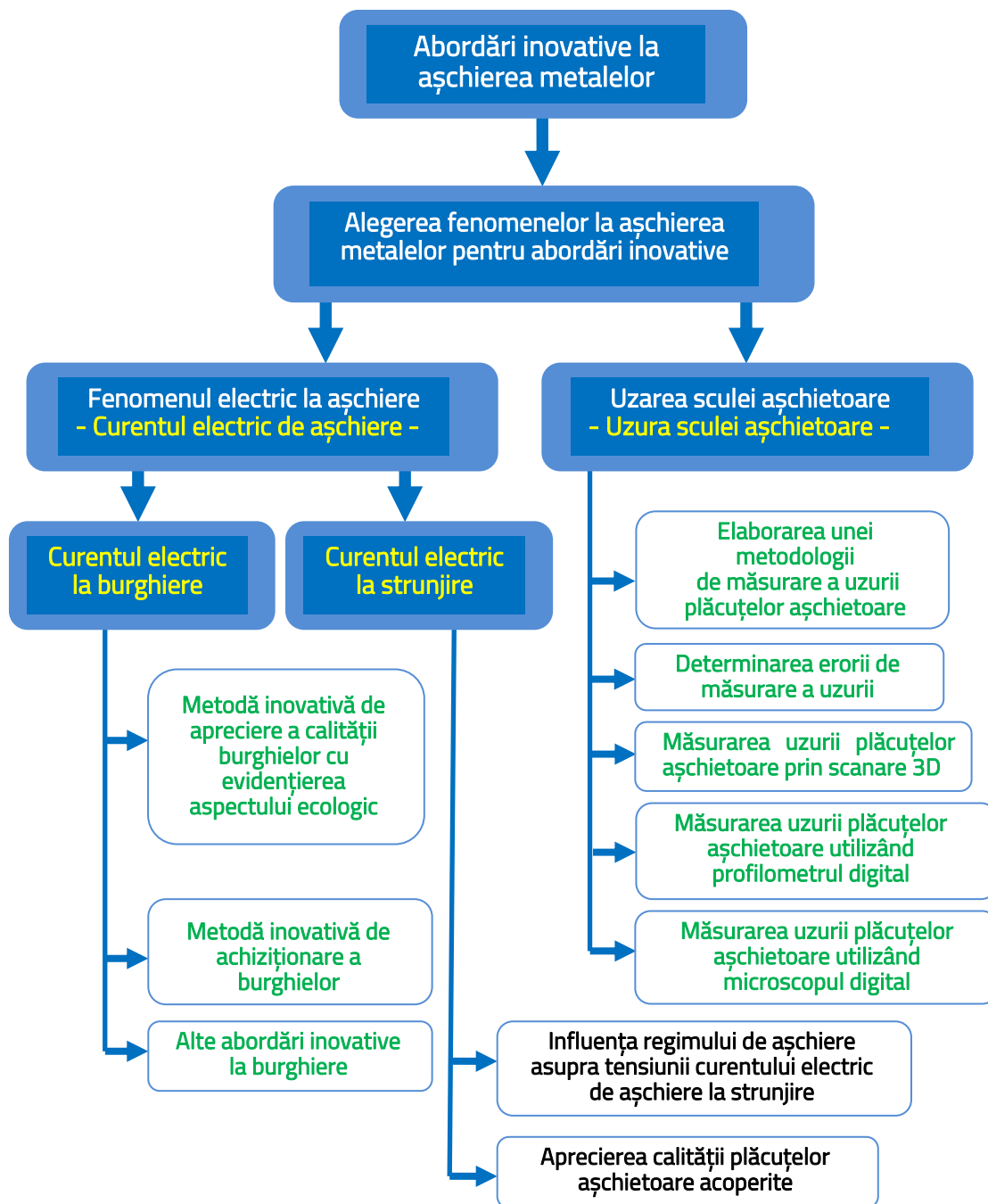


Figura 5.1. Organigrama capitolului 5

5.1. Stand de măsurare a curentului electric de aşchiere la strunjire

Pentru măsurarea tensiunii curentului electric de aşchiere există o mare varietate de instrumente cu precizie ridicată.

În figura 5.2 este prezentat standul de măsurare cu multimetrul ce are software pentru achiziție date.



Fig. 5.2. Stand de măsurare cu multimetru ce are conexiune USB și software pentru achiziție date

Componența standului experimental este următoarea:

- 1 – strung SNB 400x1000;
- 2 – epruvetă din C45;
- 3 – plăcuță din carbură metalică P30;
- 4 – colector de curent electric la aşchiere;
- 5 – multimetru digital clasic sau multimetru digital cu software de achiziție date, minim o achiziție pe secundă;
- 6 – laptop.

5.2. Îmbunătățirea colectorului de curent electric la strunjire

În cadrul instalației utilizate pentru măsurarea tensiunii curentului electric de aşchiere la strunjire s-a constatat că există posibilitatea îmbunătățirii colectorului de curent electric. În figura 5.2 este prezentat colectorul de curent electric, îmbunătățit, utilizat la strunjire.

Varianta îmbunătățită (fig. 5.3) are conductorii colectori mai subțiri, lucrează în același plan, s-au eliminat canalele de orientare a conductorilor colectori și s-au schimbat arcurile de tensionare cu unele mai mari, de tensiuni diferite. Varianta îmbunătățită s-a comportat foarte bine dinamic, rezistența electrică a acestuia fiind practic nulă. Se constată faptul că bucșa colectoare este din cupru iar conductorii colectori sunt tot din cupru. În felul acesta s-a eliminat

posibilitatea apariţiei unui curent electric parazit datorită încălzirii prin frecare a conductorilor colectori, cât şi a bucşei colectoare.

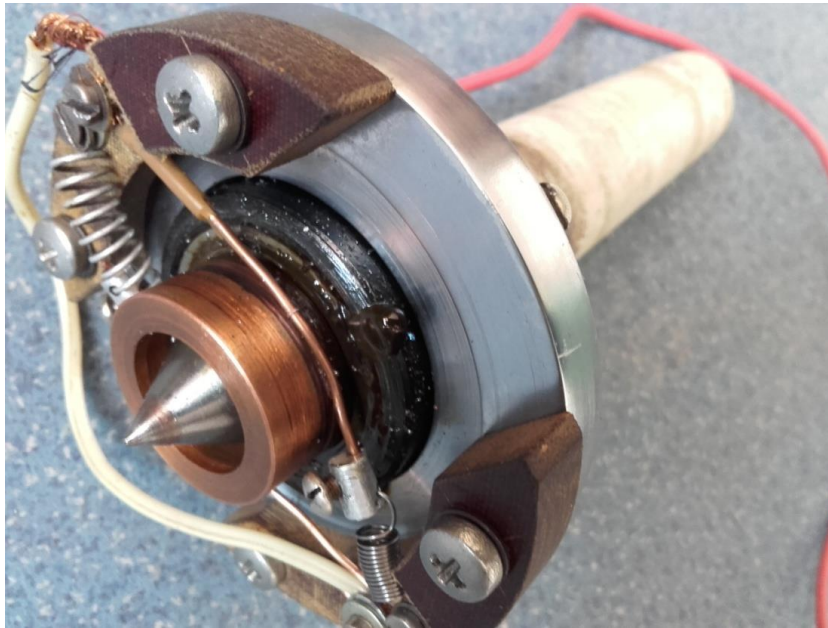


Fig. 5.3. Variantă îmbunătăţită a colectorul de curent

5.3. Influenţa regimului de aşchiere asupra tensiunii curentului electric de aşchiere la strunjirea cu plăcuţe aşchietoare acoperite

5.3.1. Programarea şi efectuarea experimentelor

În acest subcapitol se va studia influenţa parametrilor regimului de aşchiere asupra tensiunii curentului electric la strunjirea oţelului C45 cu plăcuţe din carbură metalică, titanizată, tip WNMG080408, achiziţionată de la producătorul intitulat generic B. Plăcuţa aşchietoare are 6 tăişuri şi a fost vizualizată la microscop astfel încât toate muchiile aşchietoare să prezinte aceeaşi stare (pentru a avea, iniţial, aceeaşi tensiune a curentului electric de aşchiere). Cu un tăiş s-a aşchiat maxim 6÷7 secunde (până când s-a constatat stabilizarea tensiunii curentului electric de aşchiere) de 5 sau 6 ori. Această strategie a permis influenţa la minim a uzurii tăişului aşchietor asupra tensiunii curentului electric de aşchiere.

Pentru programarea experimentelor s-a folosit planul factorial complet, iar sistemul software utilizat este Design Expert versiunea 11.

În anexa 9 sunt exemplificate două rapoarte de achiziţie date. Din analiza tuturor rapoartelor s-a constatat că tensiunea curentului electric de aşchiere s-a stabilizat între 4 şi 5 secunde de la începerea aşchierii, indiferent de regimul de aşchiere utilizat.

Rezultatele experimentelor sunt centralizate în tabelul 5.1.

Tab. 5.1. Rezultatele experimentelor utilizând planul factorial complet

Nr. experiment	Viteza [m/min]	Avans [mm/rot]	Adâncime [mm]	Tensiune [mV]
1	86	0,208	2	2,6
2	137	0,151	2	3,5
3	137	0,151	1,5	3,8
4	107	0,208	2	3,4
5	137	0,25	2	5
6	86	0,208	1,5	3
7	107	0,208	1	3,2
8	107	0,151	2	3,3
9	137	0,151	1	3,9
10	86	0,25	1,5	3,2
11	107	0,151	1,5	3,4
12	137	0,25	1	3,5
13	137	0,208	1	3,2
14	107	0,25	1	3,5
15	86	0,25	1	3,1
16	107	0,208	1,5	3,2
17	107	0,25	2	3,7
18	107	0,25	1,5	5,5
19	107	0,151	1	3,3
20	137	0,208	2	4,8
21	86	0,25	2	3,5
22	137	0,25	1,5	4,6
23	86	0,208	1	2,9
24	86	0,151	1	3,3
25	137	0,208	1,5	3,9
26	86	0,151	1,5	2,9
27	86	0,151	2	2,4

5.3.2. Prelucrarea datelor. Analiza ANOVA

Pentru a vedea în ce măsură influențează fiecare parametru al regimului de aşchiere valoarea tensiunii curentului electric de aşchiere s-a realizat o analiză ANOVA. Rezultatele sunt prezentate în tabelul 5.2 iar în tabelul 5.3 sunt indicatorii statistici obținuți în urma analizei ANOVA.

Tab 5.2. Analiza ANOVA					
Sursă	Suma pătratelor	Grade de libertate	Media pătratică	Valoarea F	Prag p Prob > F
Model	8,83	7	1,26	5,47	0,0015
A-Viteza	4,58	1	4,58	19,87	0,0003
B-Avans	0,1827	1	0,1827	0,7928	0,3844
C-Adancime	0,4620	1	0,4620	2,01	0,1730
AB	0,0318	1	0,0318	0,1378	0,7145
AC	1,01	1	1,01	4,36	0,0504
BC	0,0321	1	0,0321	0,1393	0,7131
ABC	0,0952	1	0,0952	0,4132	0,5281
Rezidual	4,38	19	0,2304		
Total	13,21	26			

Tabelul 5.3. Indicatori statistici rezultați în urma analizei ANOVA

Indicator	Valoare
Deviația standard	0,4800
Media	3,54
Coeficient de variație %	13,56
R^2	0,6685
R^2 ajustat	0,5463
R^2 predictibil	0,4780
Raport semnal/zgomot	10,6912

Indicatorul R^2 măsoară variația în jurul mediei explicată de modelul abordat. Acesta este ajustat în funcție de numărul de termeni ai modelului. Cu cât se introduc în model termeni ne semnificativi statistic, cu atât valoarea R^2 ajustat va scădea.

Deoarece indicatorul R^2 este de 0,6685 se vor identifica și elimina valorile aberante din cadrul modelului.

Rezultatele analizei ANOVA după eliminarea valorii aberante sunt prezentate în tab. 5.4.

R^2 predictibil măsoară variația noilor date experimentale introduse, care pot fi explicate de modelul actual. Ca modelul să poată fi folosit pentru optimizări și predicții referitoare la variația răspunsului în funcție de noi valori ale parametrilor de intrare, diferența dintre R^2 ajustat și R^2 predictibil trebuie să fie mai mică decât 0,2. În acest caz această cerință este îndeplinită.

Raportul semnal/zgomot trebuie să fie mai mare decât 4 pentru ca modelul abordat să poate fi utilizat în predicții. Și în acest caz această cerință este îndeplinită.

Tabelul 5.4. Indicatori statistici rezultați în urma analizei ANOVA după eliminarea a doua valori aberante	
Indicator	Valoare
Deviația standard	0,2203
Media	3,46
Coeficient de variație %	6,36
R ²	0,9105
R ² ajustat	0,8737
R ² predictibil	0,7507
Raport semnal/zgomot	20,9610

În urma analizei ANOVA rezultă și funcția matematică liniară ce modelează datele experimentale introduse și este folosită pentru predicții. Aceasta este:

$$U = -0,276 + 0,051402 \cdot v_c + 27,53036 \cdot f + 1,87008 \cdot a_p - 0,34882 \cdot v_c \cdot f - 0,032826 \cdot v_c \cdot a_p - 23,22924 \cdot f \cdot a_p + 0,29698 \cdot v_c \cdot f \cdot a_p \quad (5.1)$$

în care,

U [mV] – tensiunea curentului electric la aşchiere;

v_c [m/min] – viteza de aşchiere;

f [mm/rot] – avansul de aşchiere;

a_p [mm] – adâncimea de aşchiere.

Reprezentarea grafică a funcției (5.1) și a datelor experimentale obținute este prezentată în figura 5.4, iar reprezentarea grafică a influenței vitezei și avansului asupra tensiunii curentului electric pentru fiecare valoare a adâncimii de aşchiere este arătată în figurile 5.5, 5.6 și 5.7.

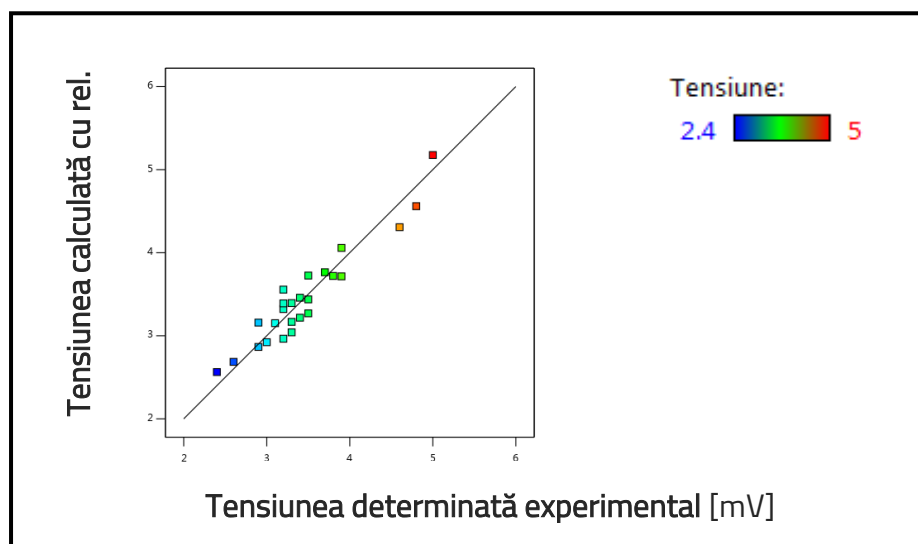


Fig. 5.4. Reprezentarea grafică a funcției liniare (5.1)

Punctele roşii de pe graficele 5.8÷5.10 reprezintă poziţia valorilor obţinute în urma experimentelor faţă de poziţia prezisă de funcţia liniară.

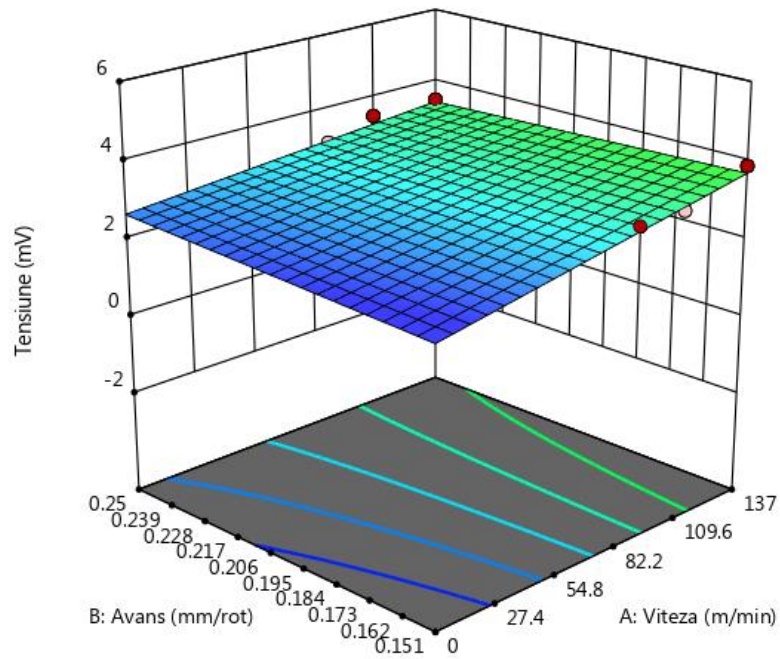


Fig. 5.5. Influenţa vitezei şi avansului asupra tensiunii curentului de aşchiere pentru $a_p = 1 \text{ mm}$

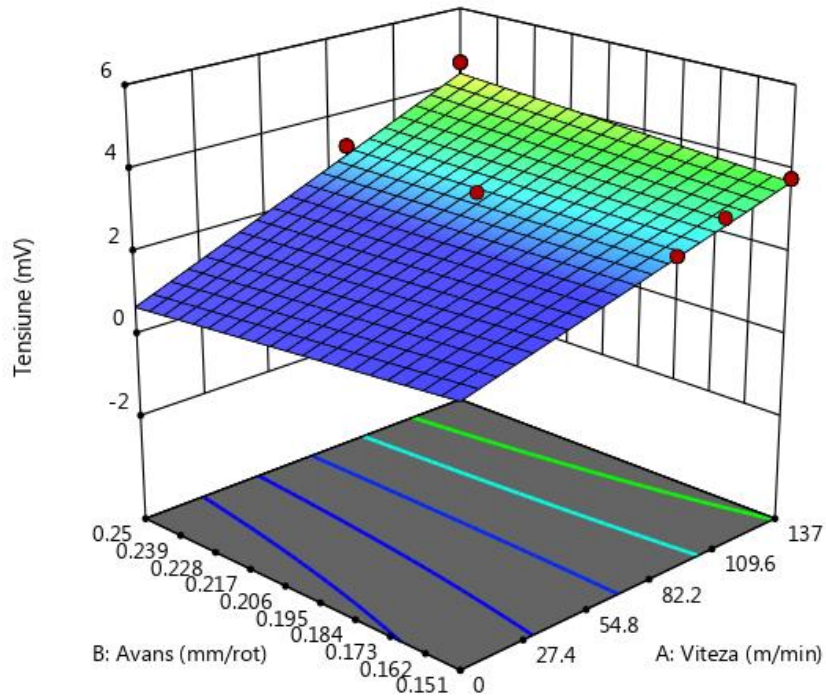


Fig. 5.6. Influenţa vitezei şi avansului asupra tensiunii curentului de aşchiere pentru $a_p = 1,5 \text{ mm}$

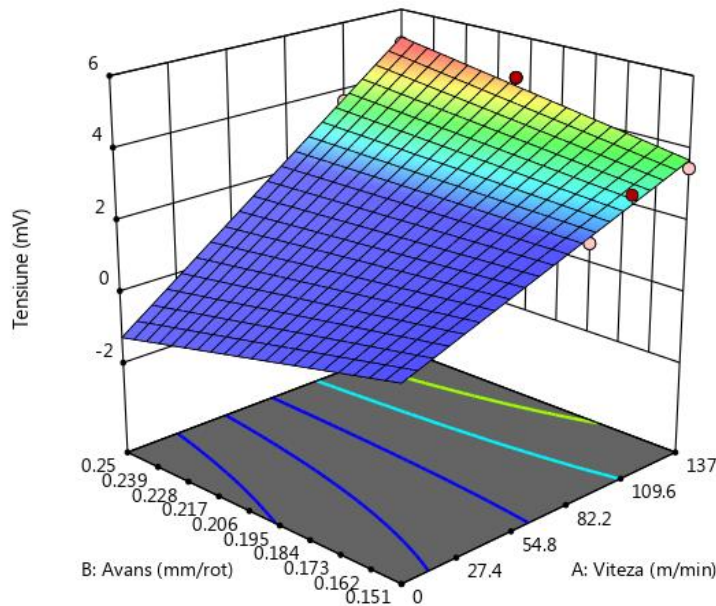


Fig. 5.7. Influența vitezei și avansului asupra tensiunii curentului de aşchiere pentru $a_p = 2$ mm

5.3.3. Optimizarea regimului de aşchiere, folosind curentul electric de aşchiere, în vederea creşterii durabilităţii sculei aşchietoare, la strunjire

Dupa cum s-a menţionat în capitolul 1, calitatea iniţială a unui tăiş aşchietor poate fi apreciată prin valoarea tensiunii curentului electric de aşchiere iniţial. Cu cât această valoare este mai mare, cu atât temperatura iniţială este mai mare datorită imperfecţiunilor tăişului aşchietor. Astfel, se creează o relaţie directă între uzura tăişului aşchietor și tensiunea curentului electric iniţial. Cu cât valoarea tensiunii va fi mai mare, cu atât intensitatea uzării va fi mai mare, deci durabilitatea mai mică [DIT97, DIT99A, DIT08].

În acest mod criteriul ales pentru mărirea durabilităţii sculei aşchietoare este minimizarea tensiunii curentului electric. Soluţia generată de modelul experimental creat anterior este prezentată în figura 5.8.

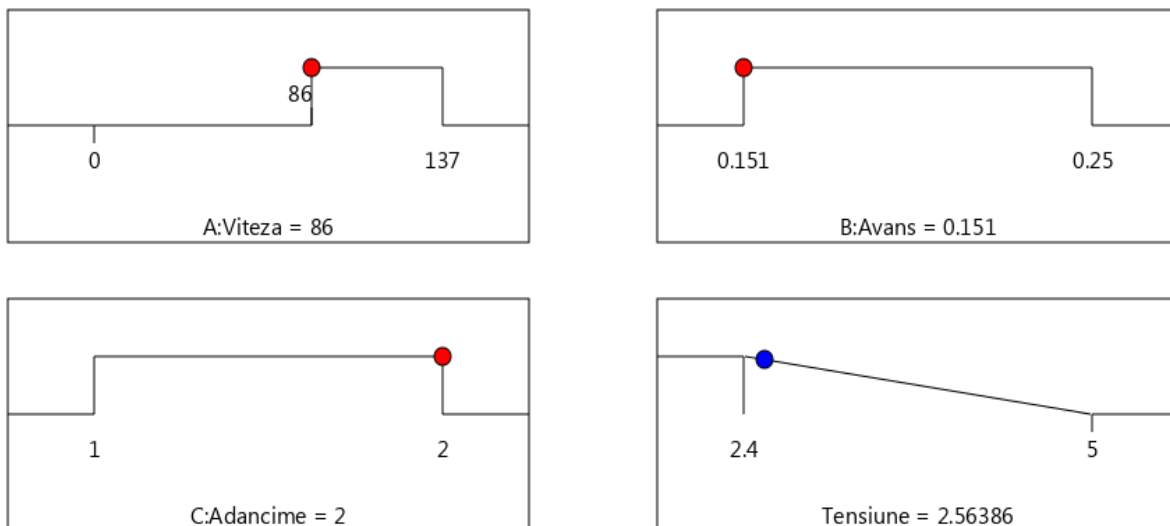


Fig. 5.8. Valorile propuse pentru parametrii regimului de aşchiere, fără restricţii, pentru a obţine tensiunea minimă a curentului electric de aşchiere

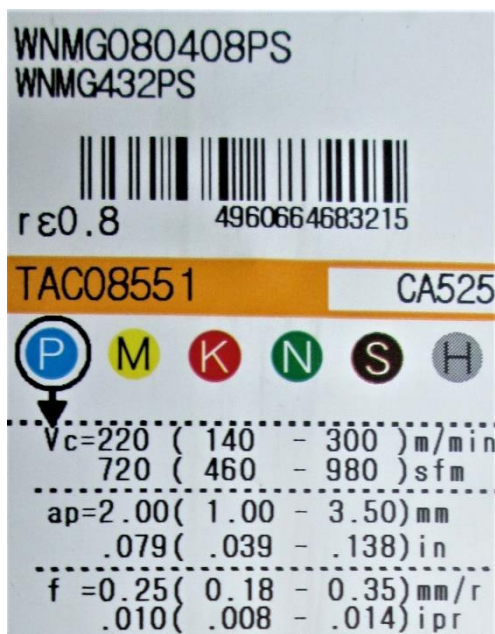


Fig. 5.9. Valori ale parametrilor regimului de aşchiere recomandate de producătorul B

Valorile recomandate de producătorii de plăcuțe aşchietoare fixate mecanic sunt determinate pe baza optimizării durabilității tăişului aşchietor și depind, în special, de materialul de prelucrat [DIT97, DIT08].

Comparând valorile parametrilor regimului de aşchiere rezultate ca urmare a minimizării curentului electric de aşchiere și prezentate în figura 5.8, cu valorile recomandate de producător și arătate în figura 5.9, rezultă următoarele:

- Valoarea vitezei de aşchiere rezultată ca urmare a optimizării, $v_c = 86$ m/min, nu se încadrează în intervalul de viteze recomandat de producător (fig. 5.9);
- Valoarea avansului de aşchiere optimizată ca urmare a optimizării, $f = 0,151$ mm/rot, se încadrează în intervalul de avansuri recomandat de producător (fig. 5.9);
- Valoarea optimizată a adâncimii de aşchiere, $a_p = 2$ mm, se încadrează în intervalul de avansuri recomandat de producător (fig. 5.9).

Pentru a nu altera valoarea recomandată de producător a vitezei de aşchiere se va lua ca valoare optimizată a regimului de aşchiere valoarea minimă din intervalul recomandat (fig. 5.9) ceea ce înseamnă că modelul optimizării regimului de aşchiere având drept scop minimizarea curentului electric de aşchiere trebuie să includă și restricții, acestea fiind intervalul de valori recomandat de producător pentru parametrii regimului de aşchiere.

În consecință, regimul de aşchiere optimizat este următorul:

$$v_c = 140 \text{ m/min}; f = 0,151 \text{ mm/rot}, a_p = 2 \text{ mm}.$$

Acestui regim de aşchiere îi corespunde o valoare a tensiunii curentului electric de aşchiere de,

$$U = 3,79327 \text{ mV}$$

5.4. Tehnică inovativă privind aprecierea calităţii plăcuţelor aşchietoare fixate mecanic

5.4.1. Identificarea aplicaţiei şi stabilirea metodologiei privind aprecierea calităţii plăcuţelor aşchietoare

În cadrul procesului de strunjire a metalelor sunt folosite plăcuţe aşchietoare care pot fi achiziţionate de la diferiţi producători. Deoarece oferta este bogată, achiziţia trebuie realizată după o analiză economică si încercări experimentale.

În această aplicaţie se utilizează curentul electric ce apare la aşchiera metalelor pentru a dezvolta o metodologie de achiziţie a plăcuţelor din carbură metalică.

S-au achiziţionat trei loturi de plăcuţe din carbură metalică, titanizate, de la trei producători diferiţi A, B şi C. Fiecare lot conţine 10 plăcuţe de tip WNMG080408, iar suportul utilizat la strunjire este de tip MWLNR 2020 K 08N. Suportul asigură un unghi de aşezare de $\alpha = 5^\circ$ şi un unghi de degajare $\gamma = -5^\circ$. Plăcuţele sunt asemănătoare ca şi material (tip P pentru oţel), titanizate, şi cu o formă asemănătoare a feţelor de degajare. Experimentele s-au realizat cu 9 plăcuţe, pe 18 tăişuri (2 tăişuri de fiecare plăcuţă), din fiecare lot în parte (câte 1 plăcuţă din fiecare lot a fost destinată altor măsurători) iar materialul de prelucrat, prin strunjire, este C45. Caracteristicile oţelului C45 sunt prezentate în anexa 1 (Certificat de inspecţie - analiză 3.1, nr. 2498788/1 din 17.07.2017)

Metodologia de achiziţie cuprinde o analiză a calităţii şi o analiză economico-calitativă. Etapele experimentale ale analizei calităţii sunt sintetizate în figura 5.10.

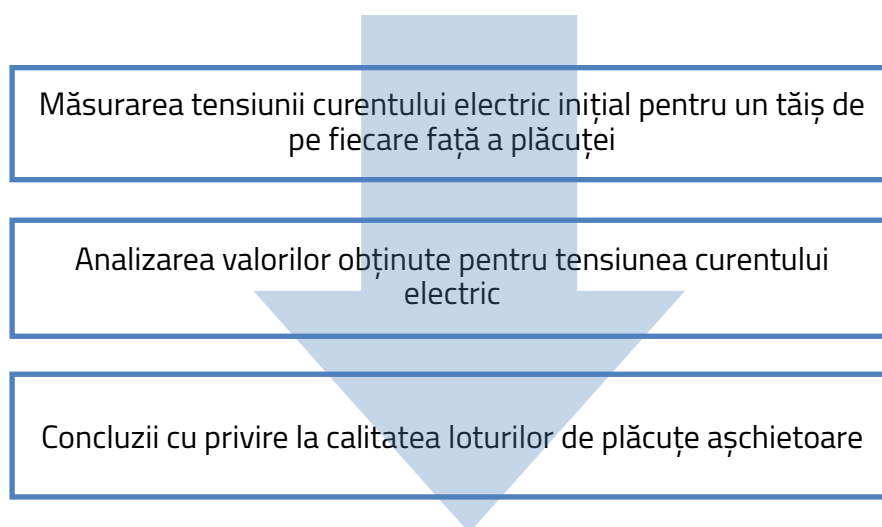


Fig. 5.10. Etapele analizei calităţii loturilor

Etapele analizei economico-calitative continuă analiza calităţii loturilor şi sunt prezentate în fig. 5.11.

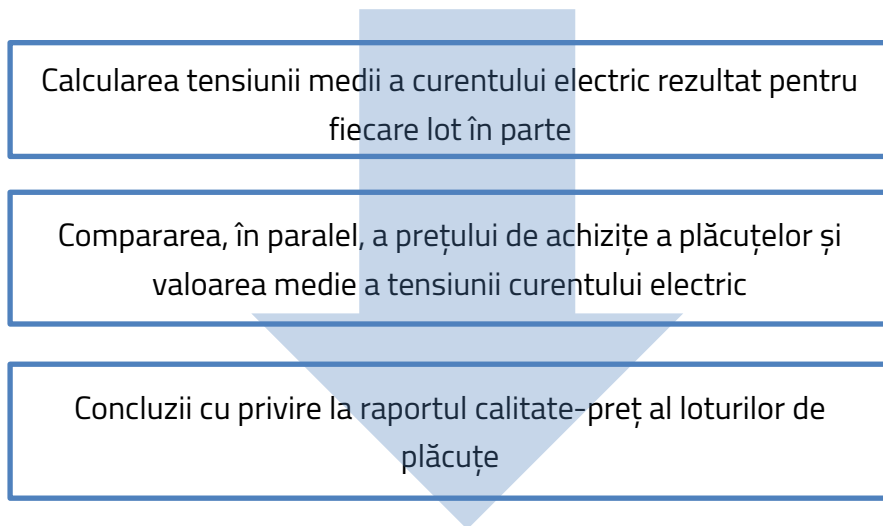
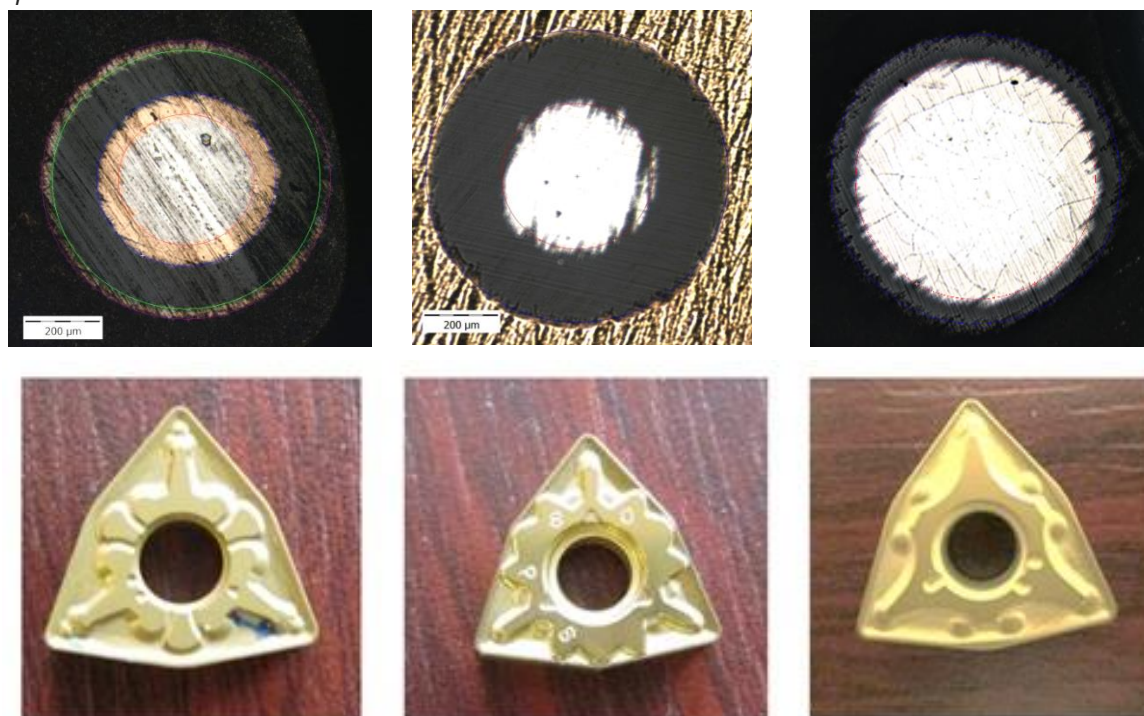


Fig. 5.11. Etapele analizei economico-calitative

5.4.2. Determinarea grosimii straturilor de acoperire a plăcuţelor din carbură metalică

Grosimea straturilor de acoperire pentru cele trei tipuri de plăcuţe s-a efectuat de către firma Anton Paar TriTec SA, Rue de la Gare 4 (Galileo Center) 2034 Peseux, Switzerland, în cadrul Institutului de Cercetare – Dezvoltare al Universităţii Transilvania din Braşov ([DUB17a] şi anexele 6A, 6B şi 6C), cu aparatură de ultimă generaţie. Principiul metodei constă în rotirea unei bile, în aceeaşi poziţie, pe suprafaţa acoperită a plăcuţei din carbură metalică. Bila este apăsată cu o forţă constantă iar pe ea se pune o pastă cu diamant. În acest mod, prin abrazare, se străpunge stratul de acoperire, rezultând o calotă sferică ce este vizualizată la microscop (fig. 5.12 A, B şi C).



Producător A

Producător B

Producător C

Fig. 5.12. Imagini ale diametrelor calotelor pentru cele trei tipuri de plăcuţe

Schema determinării grosimii straturilor de acoperire este prezentată în figura 5.13 iar formula de calcul (dedusă de autorul tezei de doctorat), introdusă în softul microscopului, este dată de relația (5.2).

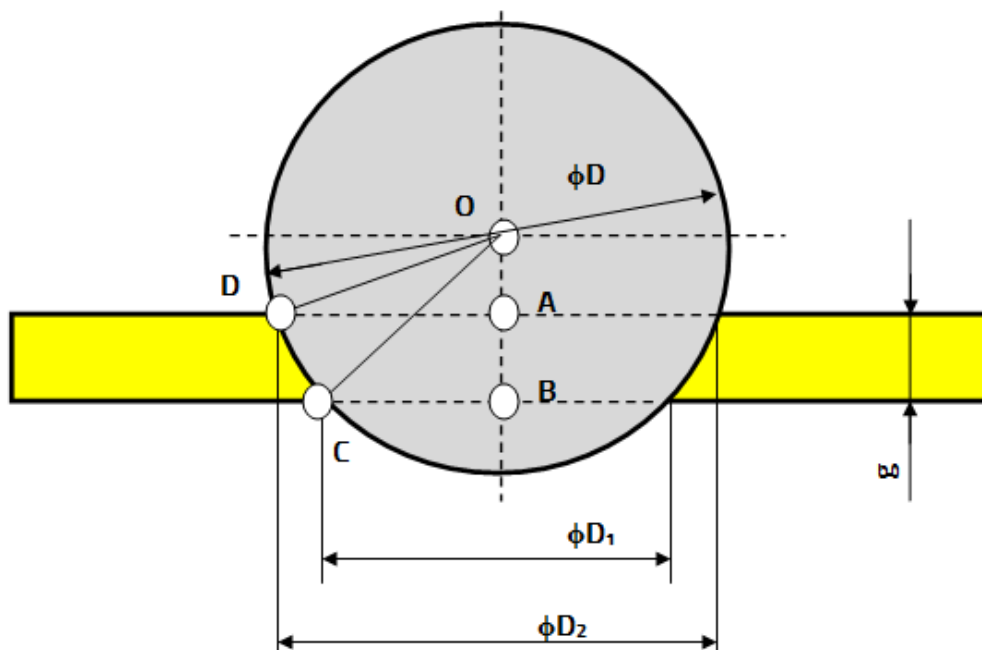


Fig. 5.13. Schema determinării relației pentru calculul grosimii "g" a startului de acoperire

$$g = AB = OB - OA = \sqrt{OC^2 - BC^2} - \sqrt{OD^2 - AD^2}$$

$$g = \frac{\sqrt{D^2 - D_1^2} - \sqrt{D^2 - D_2^2}}{2} \quad (5.2)$$

Din figura 5.12 se constată că plăcuța de la producătorul A este acoperită cu trei straturi diferite, ultimul fiind din nitru de titan (TiN) iar celelalte două plăcuțe, de la producătorul B și producătorul C, sunt acoperite cu un singur strat de TiN.

Rezultatele măsurătorilor (anexa 6) sunt centralizate în tabelul 5.5.

Tabelul 5.5. Grosimea măsurată a straturilor de acoperire				
	Strat 1 (exterior) [μm]	Strat 2 (intermediar) [μm]	Strat 3 (interior) [μm]	Total [μm]
Producător A	0,807	2,755	0,950	4,512
Producător B	4,907	-	-	4,907
Producător C	1,979	-	-	1,979

5.4.3. Determinarea durităţii şi aderenţei straturilor de acoperire a plăcuţelor din carbură metalică

Duritatea straturilor exterioare de acoperire pentru cele trei tipuri de plăcuţe s-a efectuat de către firma Anton Paar TriTec SA, Rue de la Gare 4 (Galileo Center) 2034 Peseux, Switzerland, tot în cadrul Institutului de Cercetare – Dezvoltare al Universităţii Transilvania din Braşov ([DUB17b] şi anexa 7). Unitatea de măsură utilizată este Vickers. Raportul măsurării durităţilor pentru cele 3 tipuri de plăcuţe aşchietoare este amplu (se întinde pe 53 de pagini). Anexa 7 prezintă un extras din raport doar pentru o singură plăcuţă aşchietoare.

Aderenţa straturilor de acoperire la materialul suport, pentru cele trei tipuri de plăcuţe, s-a efectuat tot de către firma Anton Paar TriTec SA, Rue de la Gare 4 (Galileo Center) 2034 Peseux ([ESC17] şi anexa 8), în locaţia din Elveţia.

Metoda de determinare a aderenţei stratului de acoperire este zgârierea suprafeţei cu un con de diamant cu unghiul de 120° şi raza la vârf de $200\ \mu\text{m}$ sub acţiunea unei forţe normale. Aderenţa se consideră valoarea forţei normale minime, $Lc1$, la care are loc exfolierea stratului de acoperire. Aparatura cu care s-au făcut determinările este prezentată în fig. 5.14.

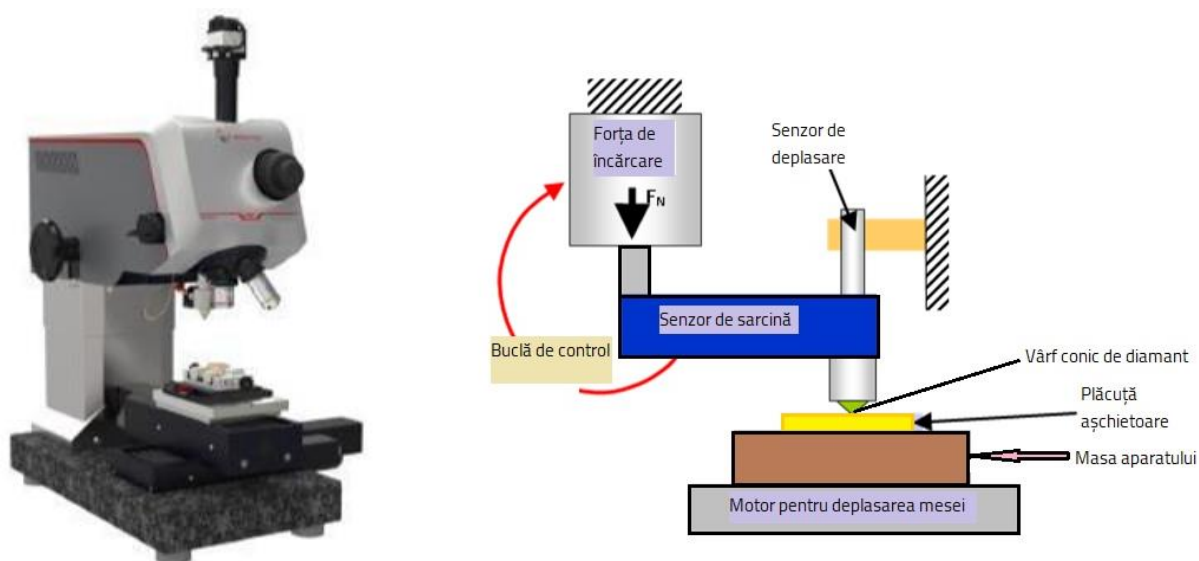


Fig. 5.14. Schema aparatului de testare la aderenţă [ESC17]

Tabelul 5.6. Duritatea medie şi aderenţa medie a straturilor de acoperire; valoarea medie a tensiunii curentului electric		
	Duritatea medie a straturilor de acoperire [unităţi Vickers]	Aderenţa medie a straturilor de acoperire $Lc1$ [N]
Producător A	920,433	155,7
Producător B	2103,631	74,2
Producător C	1020,984	132,5

În tabelul 5.6 sunt centralizate media durităţilor celor 3 tipuri de plăcuţe şi aderenţa stratului de aşchiere.

Se constată faptul că stratul cu duritatea cea mai mare are aderenţa cea mai mică.

5.4.4. Realizarea experimentelor și prelucrarea datelor obținute pentru aprecierea calității loturilor de plăcuțe aşchietoare

Pentru efectuarea experimentelor s-a utilizat standul prezentat în figura 5.2.

Rezultatele experimentelor pentru 18 tășuri aşchietoare din fiecare lot (producător A, B și C) sunt centralizate în tabelul 5.7. Valorile sunt grupate pe plăcuțe.

Tabel 5.7. Valorile obținute ale tensiunii curentului electric la strunjirea oțelului C45 cu plăcuțe aşchietoare de la producătorii A, B și C

Nr. tăș	Adâncime [mm]	Viteză [m/min]	Avans [mm/rot]	Tensiune "U _A " [mV]	Tensiune "U _B " [mV]	Tensiune "U _C " [mV]
1	1,5	107	0,208	3,9	3,2	12,6
2				4,8	3,5	10,3
3				4,3	3,1	9,7
4				4,1	3,1	11,7
5				4,3	3,1	11,6
6				5	3,6	11
7				4,1	3,2	10,1
8				4,2	3,3	12,3
9				4	3,2	11,1
10				4,2	3,2	12
11				4,2	3,3	12,9
12				4,7	3,6	12,3
13				4,2	3,3	7,5
14				4,6	3,2	11,4
15				5,6	3,3	12,1
16				4,5	3,2	10,1
17				6,1	3,1	12,6
18				4,9	3,3	8,7

S-a strunjit cu 9 plăcuțe aşchietoare din fiecare lot iar pentru fiecare plăcuță s-au realizat experimente cu 2 tășuri, câte unul pentru fiecare față a plăcuței și s-au vizualizat la microscop pentru a se alege tășuri fără defecte.

Dacă se reprezintă grafic numărul de tășuri la aceeași valoare a tensiunii curentului electric de aşchiere, pentru fiecare lot în parte, se obțin graficele din figurile 5.15, 5.16 și 5.17.

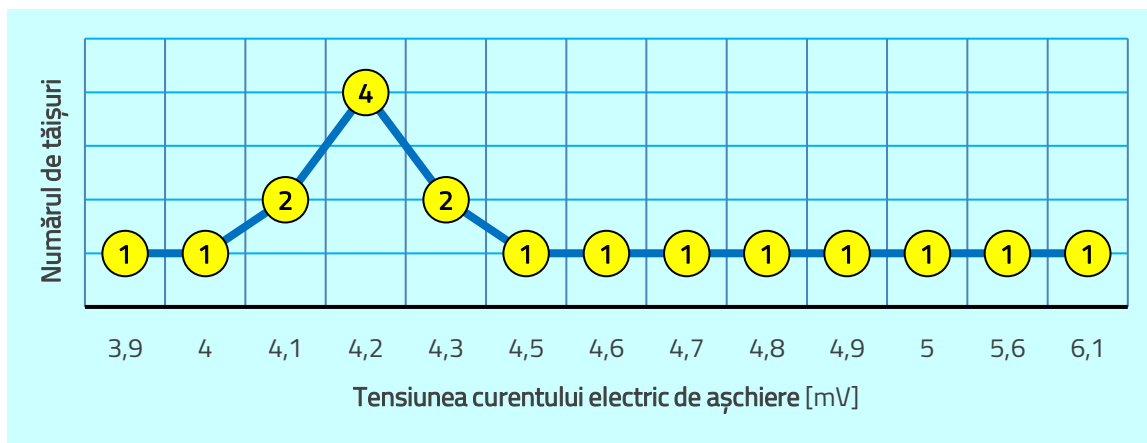


Fig. 5.15. Numărul de tăişuri aşchietoare de la producătorul A care au aceeaşi valoare a tensiunii curentului electric de aşchiere

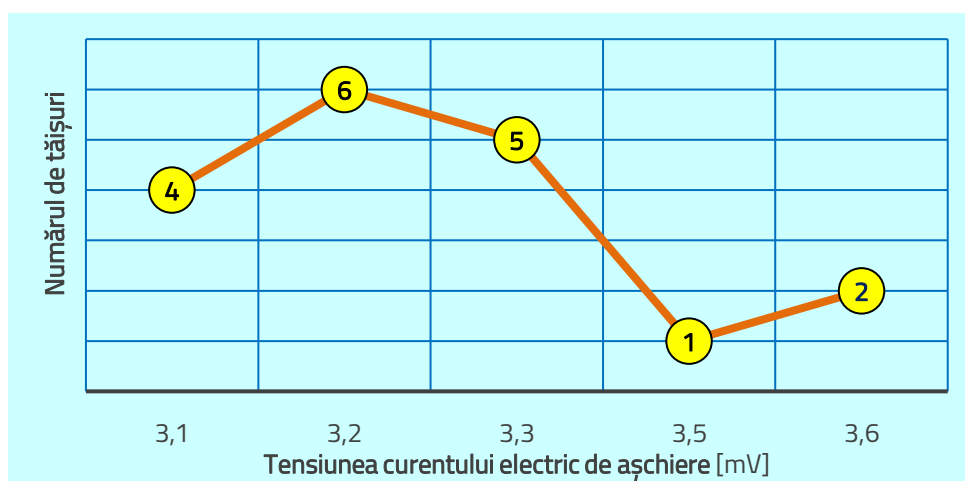


Fig. 5.16. Numărul de tăişuri aşchietoare de la producătorul B care au aceeaşi valoare a tensiunii curentului electric de aşchiere

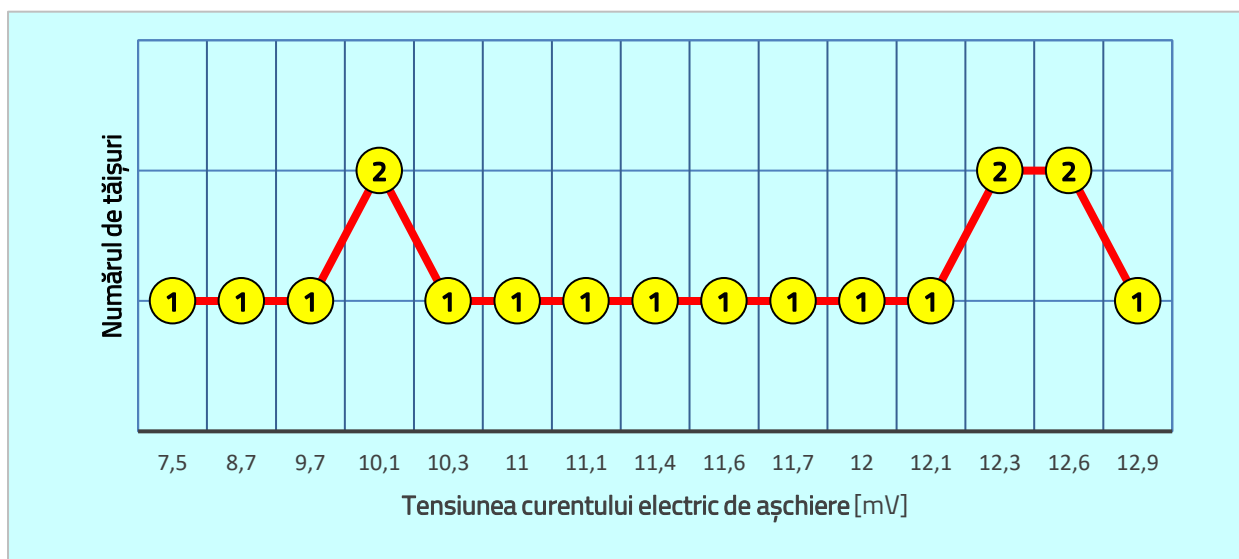


Fig. 5.17. Numărul de tăişuri aşchietoare de la producătorul C care au aceeaşi valoare a tensiunii curentului electric de aşchiere

O altă modalitate de prelucrare a datelor experimentale este analiza mediei valorilor tensiunii curentului electric de aşchiere pe plăcuţă aşchietoare. Tabelul 5.8, pe baza tabelului 5.7, centralizează pentru fiecare lot tensiunea medie pe plăcuţele aşchietoare.

**Tabel 5.8. Valorii medii ale tensiunii curentului electric de aşchiere, pe plăcuţă, la strunjirea oţelului C45 cu plăcuţe aşchietoare de la producătorii A, B şi C;
 $v = 107 \text{ m/min}; s = 0,208 \text{ mm/rot}; t = 1,5 \text{ mm}$**

Plăcuţa	Nr. tăiş	Tensiune pe tăiş "U _A " [mV]	Tensiune pe plăcuţă "U _A " [mV]	Tensiune pe tăiş "U _B " [mV]	Tensiune pe plăcuţă "U _B " [mV]	Tensiune pe tăiş "U _C " [mV]	Tensiune pe plăcuţă "U _C " [mV]
1	1	3,9	4,35	3,2	3,35	12,6	11,45
	2	4,8		3,5		10,3	
2	3	4,3	4,2	3,1	3,1	9,7	10,7
	4	4,1		3,1		11,7	
3	5	4,3	4,65	3,1	3,35	11,6	11,3
	6	5		3,6		11	
4	7	4,1	4,15	3,2	3,25	10,1	11,2
	8	4,2		3,3		12,3	
5	9	4	4,1	3,2	3,2	11,1	11,55
	10	4,2		3,2		12	
6	11	4,2	4,45	3,3	3,45	12,9	12,6
	12	4,7		3,6		12,3	
7	13	4,2	4,4	3,3	3,25	7,5	9,45
	14	4,6		3,2		11,4	
8	15	5,6	5,05	3,3	3,25	12,1	11,1
	16	4,5		3,2		10,1	
9	17	6,1	5,5	3,1	3,2	12,6	10,65
	18	4,9		3,3		8,7	

Reprezentarea grafică a datelor din tabelul 5.8 se poate vedea în figura 5.18, valorile din grafic fiind în ordinea crescătoare a tensiunilor medii pe plăcuţele aşchietoare, pentru fiecare lot în parte. Relaţiile curbelor de regresie din figura 5.18 au fost deduse cu ajutorul softului CurveExpert 1.4

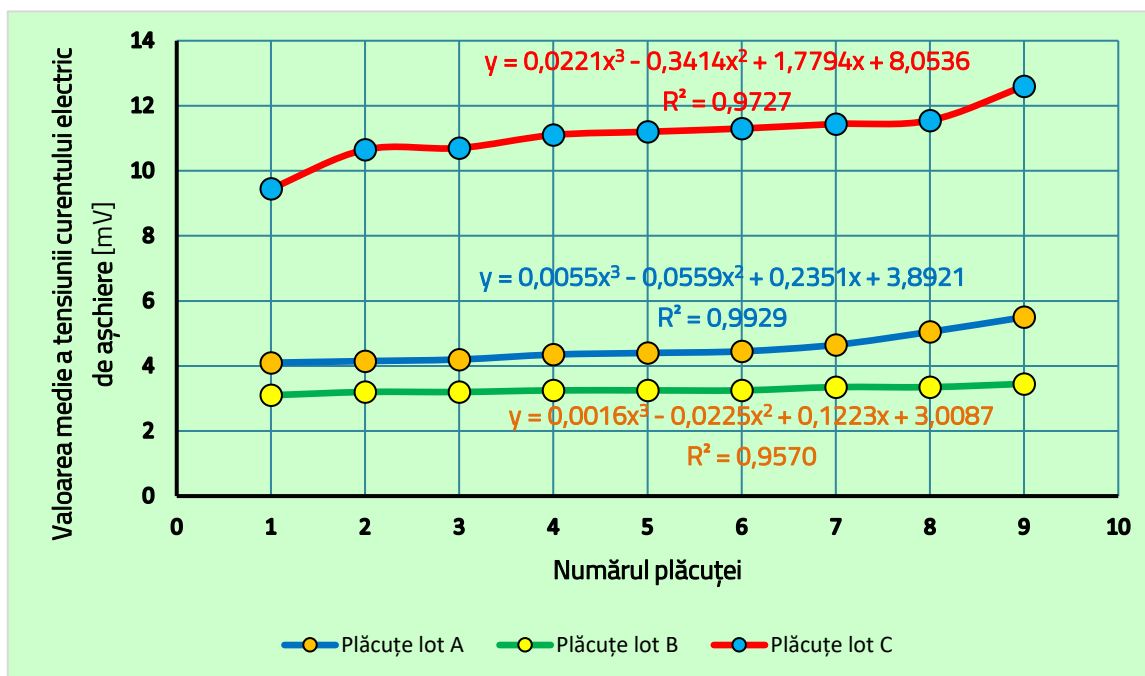


Fig. 5.18. Graficul valorilor medii ale tensiunii curentului electric de aşchiere pe plăcuță, în ordine crescătoare, pentru loturile A, B și C

În tabelul 5.9 se poate vedea ecartul E (diferența de valoare a tensiunii dintre tăişuri la aceeași plăcuță) pentru tensiunea curentului electric de aşchiere la fiecare plăcuță aşchietoare și ponderea ecartului total pe lot (procentaj) din suma valorilor tensiunii curentului de aşchiere, pe lot.

Tabelul 5.9. Ecartul valorilor tensiunii pentru fiecare plăcuță din lot și abaterea sumei ecartului față de valoarea totală a tensiunii, pe lot

Plăcuța	Nr. tăiş	Tensiune pe tăiş "U _A " [mV]	Ecart "E _A " [mV]	Tensiune pe tăiş "U _B " [mV]	Ecart "E _B " [mV]	Tensiune pe tăiş "U _C " [mV]	Ecart "E _C " [mV]
1	1	3,9	0,9	3,2	0,3	12,6	2,3
	2	4,8		3,5		10,3	
2	3	4,3	0,2	3,1	0	9,7	2
	4	4,1		3,1		11,7	
3	5	4,3	0,7	3,1	0,5	11,6	0,6
	6	5		3,6		11	
4	7	4,1	0,1	3,2	0,1	10,1	2,2
	8	4,2		3,3		12,3	
5	9	4	0,2	3,2	0	11,1	0,9
	10	4,2		3,2		12	
6	11	4,2	0,5	3,3	0,3	12,9	0,6
	12	4,7		3,6		12,3	
7	13	4,2	0,4	3,3	0,1	7,5	3,9
	14	4,6		3,2		11,4	

8	15	5,6	1,1	3,3	0,1	12,1	2,1
	16	4,5		3,2		10,1	
9	17	6,1	1,2	3,1	0,2	12,6	3,9
	18	4,9		3,3		8,7	
TOTAL		81,7	5,3	58,8	1,6	200	18,5
Procentaj ecart total față de suma totală		6,49%		2,74%		9,25%	

În timpul cercetărilor experimentale s-a observat și faptul că rugozitatea suprafeței obținute este diferită atunci când valorile tensiunii curentului electric sunt diferite la tășurile din același lot. Cu cât tensiunea este mai mare, cu atât rugozitatea obținută este mai mare ceea ce denotă imperfecțiuni ale tășului aşchietor (fig. 5.19). Același lucru s-a identificat, atât în lucrarea [DAI16b] la burghiere, cât și în capitolul 4 al prezentei lucrări.

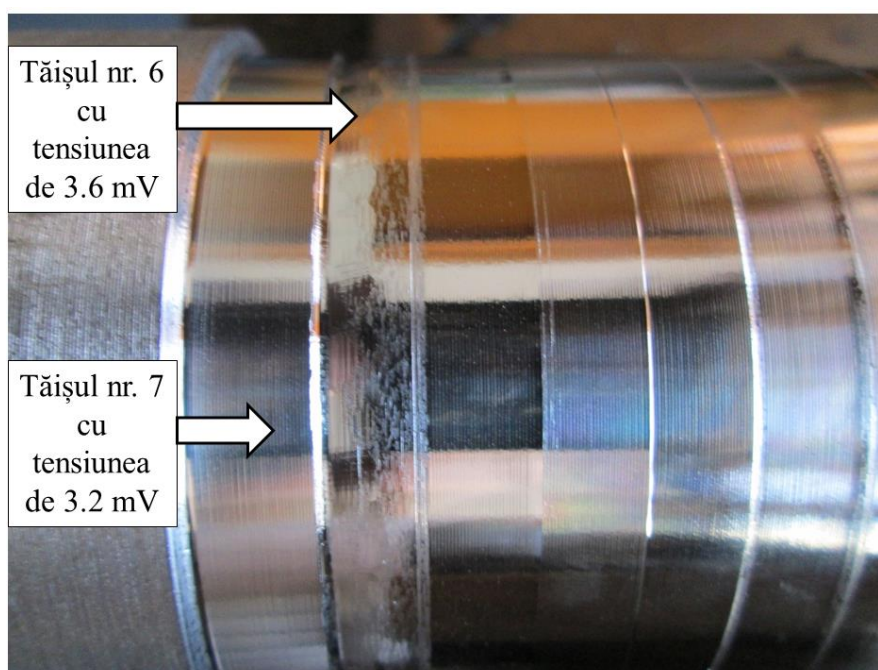


Fig. 5.19. Rugozitatea suprafeței obținută cu tășurile 6 și 7 de la producătorul B

5.4.5. Aspecte economice privind loturile de plăcuțe aşchietoare

Plăcuțele aşchietoare din carbură metalică, titanizate, au fost achiziționate la următoarele prețuri: plăcuțele producătorului A cu 8,2 euro, cele de la producătorul B cu 10 euro iar cele de la producătorul C cu 8,5 euro.

A fost calculată valoarea medie a tensiunii curentului electric la aşchiere obținut pentru tășurile analizate din fiecare lot, iar rezultatele sunt: pentru producătorul A tensiunea medie este 4,54 mV, pentru producătorul B este 3,24 mV iar pentru producătorul C este de 11,11 mV. Folosind datele din sursa bibliografică [DIT08], prelucrate cu softul CurveExpert 1.4, se constată

că la acelaşi tip de plăcuţă aşchietoare, dacă tensiunea curentului electric de aşchiere diferă cu 0,7 mV, durabilitatea diferă cu 20,42%, ceea ce înseamnă că la o diferenţă de 1mV, durabilitatea diferă cu 29,17%.

Luând ca bază de referinţă producătorul B şi ştiind că diferenţa dintre tensiunile medii ale curentului electric de aşchiere dintre plăcuţele de la producătorii A şi B este de 1,3 mV, rezultă că durabilitatea plăcuţei de la producătorul A faţă de producătorul B este cu 37,92% mai mică, iar pentru plăcuţele de la producătorul C ar fi cu 229,41% mai mică.

La prelucrarea aceleiaşi lungimi de aşchiere se consumă cu 37,92% mai multe plăcuţe de tip A faţă de plăcuţele de tip B. Rezultă, că în realitate, costul pe o plăcuţă a producătorului A faţă de producătorul B este de $8,2 \times 1,3792 = 11,31$ euro.

Se constată, că dacă se achiziţionează plăcuţe de la producătorul B, chiar dacă sunt mai scumpe, datorită durabilităţii tăişului mai mare, în realitate se face o economie de 1,31 euro pe plăcuţă (13,1%).

Comparaţia cu plăcuţele producătorului C nu poate fi realizată deoarece acestea au grosimea stratului de acoperire la mai puţin de jumătate faţă de plăcuţele de la producătorul A şi B ceea ce a condus la valori mari ale tensiunii curentului electric de aşchiere, comparativ cu o plăcuţă neacoperită ([DIT08]).

5.5. Concluzii

În acest capitol s-a studiat aplicabilitatea practică a curentului electric de aşchiere la strunjire, abordarea fiind una cu caracter inovativ întru-cât sunt puţine aplicaţii practice ale curentului electric la strunjire, cu excepţia aprecierii temperaturii în zona de aşchiere utilizând termocuplul natural piesă – sculă aşchietoare. Au fost realizate următoarele:

- Configurarea unui stand de măsurare a curentului electric de aşchiere cu îmbunătăţirea colectorului de curent şi utilizarea unui multimetru cu posibilitatea achiziţionării datelor măsurate şi trimiterea acestora către calculator;
- Experimental, la strunjirea oţelului C45 cu plăcuţă din carbură metalică de tip P acoperită cu titan, s-a determinat influenţa regimului de aşchiere asupra tensiunii curentului electric de aşchiere; s-a constatat o dependenţă liniară determinată după o analiză a datelor cu softul Design Expert; s-a realizat o analiză ANOVA şi s-a optimizat regimul de aşchierii în scopul minimizării tensiunii curentului electric de aşchiere, fapt ce conduce la maximizarea durabilităţii tăişului aşchietor;
- La optimizarea parametrilor regimului de aşchiere având drept obiectiv minimizarea tensiunii curentului de aşchiere trebuie introduse restricţii, acestea fiind intervalul de valori recomandat de producătorul plăcuţei aşchietoare;

- Punctul forte al capitolului îl constituie elaborarea unei metode de apreciere a calităţii plăcuţelor aşchietoare de acelaşi tip, acoperite cu titan, la trei loturi achiziţionate de la 3 furnizori;
- Au fost realizate experimente şi s-au prelucrat rezultatele centralizate tabelar, atât grafic cât şi analitic (determinări de relaţii);
- Din analiza graficului 5.15 se pot evidenţia următoarele:
 - Lotul A prezintă un interval de tensiune a curentului electric de aşchiere de $3,9\div 6,1$ mV;
 - 12 tăişuri formează, simetric, curba lui Gauss cu tensiunea cuprinsă în intervalul $3,9\div 4,6$ cu maximul la 4,2 mV;
 - 6 plăcuţe aşchietoare sunt înşiruite câte una în intervalul $4,7\div 6,1$ mV.
- Graficul din figura 5.25 (şi tabelul 5.12) prezintă:
 - Lotul B are un interval al tensiunii curentului electric de $3,1\div 3,6$ mV;
 - 15 tăişuri formează, cu aproximaţie destul de bună curba lui Gauss cu tensiunea curentului electric de aşchiere cuprinsă în intervalul $3,1\div 3,3$ mV;
 - 3 plăcuţe aşchietoare sunt cuprinse cu tensiunea curentului electric de aşchiere în intervalul $3,5\div 3,6$ mV.
- Graficul din figura 5.16 indică următoarele:
 - Lotul C are valorile tensiunii curentului electric de aşchiere cuprinse în intervalul $7,5\div 12,9$ mV;
 - Valorile nu prezintă o singură distribuţie, ci două;
 - Prima distribuţie este cuprinsă în intervalul $7,5\div 11,1$ mV (8 valori) iar cealaltă în intervalul $12,1\div 12,9$ mV (6 valori);
 - 5 valori pentru tensiunea curentului electric de aşchiere sunt înşiruite una câte una în intervalul $11,4\div 12$ mV.

Analiza comparativă a celor trei grafice (fig. 5.15, 5.16 şi 5.17) arată că lotul B poate fi considerat ca având cea mai bună calitate, chiar dacă aderenţa stratului de acoperire este cea mai mică dintre cele 3 loturi de plăcuţe aşchietoare, din următoarele considerente:

- Are cele mai mici valori ale tensiunii curentului electric de aşchiere şi intervalul cel mai strâns ($3,5\div 3,6$ mV);
- Majoritatea valorilor (15) sunt grupate în intervalul $3,1\div 3,3$ mV cu o mărime de 0,2 mV, ceea ce arată o calitate constantă de la un tăiş la altul;
- Mărimea intervalului valorilor este foarte strânsă (0,5 mV) iar duritatea stratului de acoperire este cea mai mare dintre cele 3 loturi (2103,631 unităţi Vickers).

Pe locul al doilea este lotul A deoarece:

- Valorile tensiunii curentului electric sunt puţin mai mari faţă de cele ale lotului B, intervalul fiind $3,9\div 6,1$ mV;
- Majoritatea valorilor (12) sunt grupate în intervalul $3,9\div 4,6$ mV, cu o întindere de 0,7 mV;

- Intervalul total are o mărime de 2,1 mV, duritatea straturilor de acoperire este de 920,433 unități Vickers și straturile au cea mai bună aderență comparativ cu celelalte două loturi.

Pe locul al treilea se află lotul C fiindcă:

- Valorile tensiunii curentului electric de aşchiere sunt 2÷3 ori mai mari comparativ cu primele două loturi;
- Chiar dacă aderența și duritatea stratului de acoperire este pe medie comparativ cu celelalte două loturi, grosimea stratului de acoperire este foarte mică (aprox. 2 μm comparativ cu 4,5 și 4,9 μm ale celorlalte două loturi) ceea ce explică valoarea mare a tensiunii curentului electric de aşchiere; valoarea este comparativă cu a unei plăcuțe neacoperite ceea ce înseamnă că stratul de acoperire nu își mai îndeplinește rolul);
- Intervalul valorilor tensiunii curentului electric de aşchiere are o întindere mare (5,4 mV);
- Suplimentar, din analiza la microscop, s-a constatat că un tăiș prezenta defecțiune majoră (ciobitură);

Analizând costurile plăcuțelor aşchietoare prin prizma durabilității tăișurilor s-a ajuns la concluzia că achiziționând plăcuțe de la producătorul B, chiar dacă sunt mai scumpe (10 euro pe plăcuță), în realitate se face o economie de 1,31 euro față de o plăcuță din lotul A (8,2 euro pe plăcuță); nu s-a realizat comparația și cu plăcuțe din lotul C deoarece acestea aveau stratul de acoperire la mai puțin de jumătate față de plăcuțele aşchietoare din loturile A și B și s-a constatat valori mari ale tensiunii curentului electric de aşchiere.

Capitolul 6. CONCLUZII FINALE, CONTRIBUȚII PERSONALE, DISEMINARE ȘI DIRECȚII VIITOARE DE CERCETARE

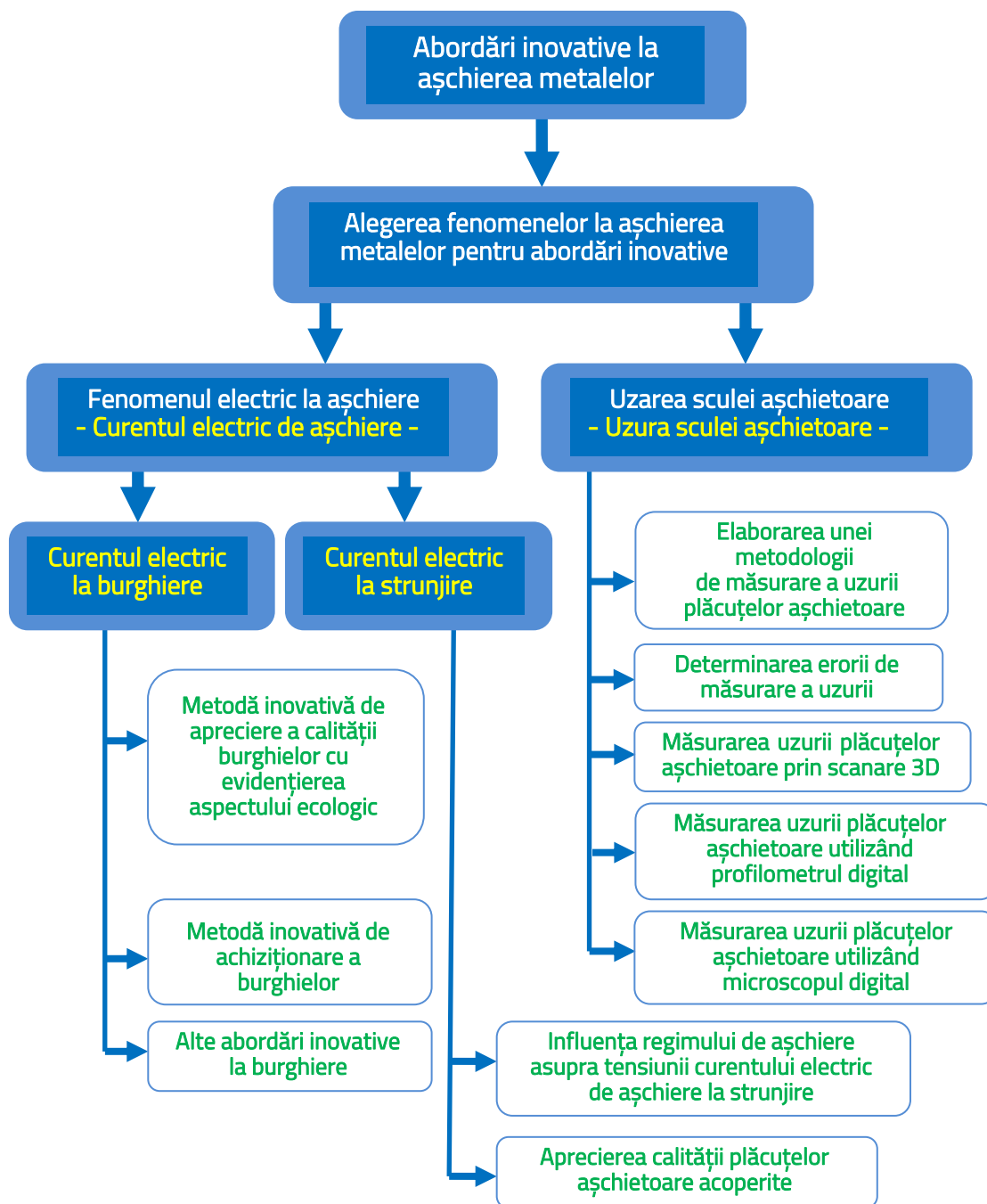


Fig. 6.1. Organigrama capitolului 6 (recapitulativă)

Organigrama capitolului 6, recapitulativă, ilustrează în mod sugestiv tratarea tuturor obiectivelor stabilite în capitolul al 2-lea.

6.1. Concluzii finale

1. Implementarea Sistemului de Management al Calităţii este o necesitate pentru a realiza produse şi servicii de calitate şi de aceeaşi calitate. Îmbunătăţirea continuă constituie o procedură obligatorie în Sistemul de Management al Calităţii. Aceasta nu se poate realiza fără inovaţie şi, în consecinţă, este nevoie de implementarea unor tehnici şi tehnologii inovative. Evident, nu face excepţie nici aşchieria metalelor care la acest moment este mijlocul cel mai răspândit de a realiza piese din meta, iar în viitor va fi folosit în cadrul sistemelor hibride de fabricaţie.
2. Orice abordare inovativă din tehnică sau tehnologie presupune următoarele:
 - aduce o noutate în raport cu o tehnică sau tehnologie utilizată în mod curent;
 - îmbunătăţeşte calitativ un produs sau o piesă;
 - simplifică tehnologiile de fabricaţie şi de control;
 - scurtează ciclul de fabricaţie;
 - creşte productivitatea muncii;
 - îmbunătăţeşte condiţiile de muncă.
3. Cercetările în domeniul aşchierii metalelor sunt în continuă dezvoltare iar analiza fenomenelor care au loc în timpul desfăşurării aşchierii a condus la identificarea a două direcţii de abordare unde există potenţial în direcţia implementării unor tehnici şi tehnologii inovative. **Primul fenomen abordat** în cadrul tezei a fost uzura sculei aşchietoare deoarece consecinţa, uzura, reprezintă cel mai important aspect la o sculă aşchietoare şi, totodată, singurul element care se regăseşte atât la ieşirea, cât şi la intrarea în sistemul **proces de aşchiere**. **Al doilea fenomen abordat** a fost fenomenul electric de aşchiere care, deşi se cunoaşte de mult timp, a pătruns prea puţin în practica prelucrării metalelor prin aşchiere.
4. **În cazul uzurii sculei aşchietoare** standardul internaţional ISO 3685/1993 (revizuit în 2017) reglementează notaţiile şi caracteristicile uzurii cuţitului de strung dar nu este reglementată metodologia de măsurare. Nici literatura de specialitate nu oferă informaţii privind metodologia de măsurare, aceasta fiind lăsată în seama cercetătorilor. Existând metodologii diferite compararea rezultatelor dintre diverse cercetări nu este realizată cu acurateţe. În acest sens **se propune o metodologie unitară de măsurare a uzurii pe flanc la cuţitului de strung**. A fost optimizat incrementul măsurătorilor şi s-au identificat erorile de măsurare ale operatorului uman.
 - Alinierea reticolului orizontal al microscopului 2D optico-digital cu tăişul aşchietor. Eroarea maximă în acest caz poate fi 0,005 mm ceea ce este cu totul acceptabil; numai grosimea reticolului microscopului este de 0,001 mm;

- Poziţionarea reticolului vertical al microscopului 2D digital, la începutul uzurii pe flanc, în partea opusă vârfului plăcuţei aşchietoare. În această situaţie eroarea maximă poate fi 0,006 mm;
5. Aprecierea de către operator a trecerii de la uzură la suprafaţa de aşezare neuzată. Eroarea la uzura medie în acest caz este de 0,0096 mm între operatori şi de 0,0039 la repetarea de 5 ori a măsurătorilor de către acelaşi operator. Dacă se continuă repetările (maxim 12) intervine oboseala operatorului şi eroarea la uzura medie creşte la 0,0106 mm. Optimizarea valorii pasului măsurătorilor la determinarea uzurii medii a flancului tăişului aşchietor a condus la concluzia că pentru aplicarea metodologiei este indicat a se măsura uzura cu un pas incremental de 0,1 mm.
6. Metodologia propusă pentru măsurarea uzurii pe flanc este următoarea:
- Etapa 1. Identificarea începutului uzurii pe tăişul rectiliniu pentru măsurarea cotei "M" (fig. 3.6) în vederea determinării lungimii tăişului rectiliniu uzat; calculul numărului punctelor de măsurare prin împărţire lungimii rectiliniului a tăişului uzat la pasul (incrementul) de 0,1 mm iar la partea întregă a împărţirii se mai adaugă cifra 1; pentru a evita uzura pe colţ măsurarea va începe de la sfârşitul uzurii pe tăişul sculei, către raza la vârful sculei; în acest mod se micşorează eroarea de poziţionare a originii măsurătorilor de către doi operatori independenţi; dacă s-ar începe de la vârful sculei, pentru evitarea razei la vârful, nu s-ar reuşi identificarea punctului de inflexiune dintre rază şi porţiunea rectilinie a tăişului;
 - Etapa 2. Determinarea drepte de referinţă a măsurătorilor (fig. 3.2), prin poziţionarea acesteia în lungul tăişului neuzat;
 - Etapa 3. Împărţirea suprafeţei uzate (pe tăişul rectiliniu uzat) în secţiuni paralele distanţate la 0,1 mm şi totodată perpendiculare pe dreapta de referinţă; această împărţire se face cu scopul obţinerii unui număr suficient de puncte pentru o evaluare precisă a uzurii medii; prima măsurătoare nu trebuie să aibă valoarea zero (fig. 3.8);
 - Etapa 4. Măsurarea înălţimii uzurii în fiecare secţiune; se va identifica uzura maximă, (înălţimea maximă obţinută), VB_{MAX} ;
 - Etapa 5. Se calculează valoarea uzurii medii " VB_B " ca fiind media valorilor măsurate, luând în considerare inclusiv valoarea maximă.
7. Existenţa la nivel mondial de noi mijloace de control şi cunoscând erorile ce pot interveni la măsurarea uzurii pe flanc la plăcuţele aşchietoare utilizate la strunjire s-au efectuat, pentru început, măsurători ale uzurii, pentru un tăiş, cu patru sisteme de măsurare, şi anume, cu scannerul 3D, profilometrul digital 2D, microscopul optico-digital 2D şi microscopul scanner 3D digital. Măsurătorile au avut drept scop stabilirea împrăştierii valorilor obţinute şi a se evidenţia concluzii referitoare la utilizarea de mijloace alternative la măsurarea uzurii, altele decât microscopul optico-digital 2D.
8. **Concluzia finală referitoare la măsurarea uzurii maxime şi la determinarea uzurii medii este că se poate utiliza, cu foarte bună precizie, oricare din sistemele de**

măsurare folosite respectând metodologiile de măsurare prezentate în subcapitolele 3.3 și 3.4.

9. **Fenomenul electric** se manifestă la aşchiera materialelor metalice cu tăişuri metalice, iar din analiza fenomenelor ce au loc la aşchiera metalelor, deşi studiat de cercetători, are puține aplicații în practica, industrială cu excepția aprecierii temperaturii din zona de aşchiere. Identificarea de noi aplicații ce pot fi implementate rapid în practică capătă caracter inovativ, în principal, datorită numărului mic de aplicații.
10. Având la bază cercetări anterioare care au demonstrat legătura directă dintre temperatura din zona de aşchiere și durabilitatea tăişului aşchietor iar curentul electric de aşchiere este rezultatul diferenței de temperatură dintre zona de aşchiere și capătul rece al sculei aşchietoare, s-au ales două procedee, burghierea și strunjirea, procedee ce au o pondere mare în prelucrările prin aşchiere.
11. **La burghiere s-au realizat următoarele aplicații:**
 - Aprecierea calității unui lot de burghie;
 - Compararea a două loturi de burghie prin prizma analizei calității de la aplicația anterioară cu implicații economice;
 - Aprecierea eficienței intrării line în aşchiere a burghiului datorită faptul că intarea lină a burghiului în aşchiere contribuie la mărirea durabilității acestuia.
12. **La strunjire s-au elaborat aplicațiile:**
 - Optimizarea regimului de aşchiere utilizând valorile tensiunii curentului de aşchiere determinate experimental;
 - Aprecierea calității a trei loturi de plăcuțe aşchietoare titanizate utilizate la cuțitele cu plăcuțe fixate mecanic.
13. **Analiza economică** la achiziționarea a două loturi de burghie permite evidențierea următoarelor aspecte:
 - Dacă un burghiu este folosit doar ocazional atunci este bine să se achiziționeze burghie de la firma de la care s-a achiziționat lotul I deoarece costul pe mm adâncime aşchiată este mai mic comparativ cu lotul al II-lea;
 - Dacă s-ar fi achiziționat lotul I la prețul de 66,3 lei și presupunând că durabilitatea lotului este similară lotului achiziționat, atunci este bine să se achiziționeze burghie similare celor din lotul al II-lea deoarece, chiar dacă lotul este mai scump, costul pe mm adâncime de prelucrat este mai mic;
 - Dacă se presupune că este egalitate de costuri și luând ca referință costul lotului al II-lea se poate determina costul primului lot, $C_{lot I}$, cu relația $C_{lot I} = C_{lot II} \times T_{lot I} / T_{lot II}$ unde T sunt durabilitățile; în cazul datelor experimentale realizate $C_{lot I} = 65,17$ lei;
 - Dacă lotul I se poate achiziționa la un preț mai mic decât 65,17 lei este economic să se achiziționeze lotul I; dacă lotul I se poate achiziționa la un preț mai mare (cel mult egal) decât 65,17 lei atunci economic este să achiziționăm lotul al II-lea.

14. Utilizarea curentului electric de aşchiere la aprecierea calităţii unui burghiu are şi o **componentă ecologică**; în cazul celor două loturi s-a determinat cantitatea de aşchii ce rezultă în urma experimentărilor, atât în variantă clasică (încercări la durabilitate pentru fiecare burghiu), cât şi în varianta măsurării doar a tensiunii curentului electric de aşchiere; s-a constatat că în varianta a doua (doar măsurarea tensiunii curentului electric de aşchiere) cantitatea de aşchii rezultată este doar 5,84% din cantitatea de aşchii ce ar rezulta din determinări clasice.
15. **Intrarea lină în aşchiere a burghiului** reprezintă un mijloc de creştere a durabilităţii acestuia; aprecierea eficienţei intrării line în aşchiere, conform celor identificate, s-a realizat folosind încercări la durabilitate în mod clasic, cu consum de timp şi de material mare.
16. Curentul electric de aşchiere poate fi utilizat şi la **aprecierea eficienţei intrării line în aşchiere a burghiului**, reducând considerabil atât consum de material, cât şi timp necesar desfăşurării experimentărilor.
17. **Experimentele au arătat că introducerea lină în aşchiere a burghiului conduce la o creştere a durabilităţii de 24,92%.**
18. La efectuarea experimentărilor s-a folosit dispozitivul de intrare lină în aşchiere existent în dotarea laboratorului de Bazele aşchierii al departamentului Ingineria fabricaţiei din cadrul facultăţii de Inginerie Tehnologică şi Management Industrial de la Universitatea Transilvania, Braşov; prin calcule s-a determinat cu exactitate gama de utilizare, burghie cu diametre de 5÷8 mm; pentru îmbunătăţirea dispozitivului a fost necesară dezasamblarea şi studierea posibilităţilor de lărgire a gamei de utilizare.
19. **La reingineria dispozitivului de intrare lină în aşchiere** s-a introdus un al doilea arc în interiorul celui existent şi în acest mod s-a mărit gama de utilizare a dispozitivului în intervalul de diametre ale burghiilor 2÷10 mm; pentru intervalul 2÷4 mm se utilizează arcul cu diametrul exterior mai mic, pentru gama 5÷8 mm se utilizează arcul cu diametrul exterior mai mare iar pentru gama 9÷10 mm se introduce arcul mai mic în interiorul arcului mai mare şi vor lucra împreună.
20. **La strunjire, pentru optimizarea regimului de aşchiere**, se propune utilizarea mărimii tensiunii curentului electric de aşchiere; s-a realizat îmbunătăţirea standului de măsurare existent în laboratorul de Bazele Aşchierii prin construirea unui colector de curent electric îmbunătăţit faţă de cel existent şi utilizarea unui multimetru cu placă de achiziţie date şi transmiterea acestora către calculator.
21. La strunjirea oţelului C45 cu plăcuţă din carbură metalică de tip P acoperită cu nitrură de titan, s-a determinat influenţa regimului de aşchiere asupra tensiunii curentului electric de aşchiere; s-a determinat o dependenţă liniară după o analiză a datelor cu softul Design Expert; s-a realizat o analiză ANOVA şi s-a optimizat regimul de aşchierii în scopul minimizării tensiunii curentului electric de aşchiere, fapt ce conduce la maximizarea durabilităţii tăişului aşchietor;

22. O altă aplicație a curentului electric de aşchiere la strunjire este utilizarea acestuia la **aprecierea calităţii a trei loturi de plăcuțe aşchietoare acoperite**; a fost necesar determinarea grosimii straturilor de acoperire, a durităţii ultimului strat şi a aderenţei stratului de acoperire, fapt realizat prin amabilitatea firmei Anton Paar TriTec SA, Rue de la Gare 4 (Galileo Center) 2034 Peseux, Elveţia (Switzerland), firmă specializată în aparatură destinată acestui scop.
23. Au fost elaborate şi aplicate două metodologii, una pentru aprecierea analiza calităţii a trei loturi de plăcuțe aşchietoare şi cealaltă pentru analiza economico-calitativă a loturilor.
24. Analizând costurile plăcuțelor aşchietoare prin prizma durabilităţii tăişurilor s-a ajuns la concluzia că achiziţionând plăcuțe de la producătorul B, chiar dacă sunt mai scumpe (10 euro pe plăcuță), în realitate se face o economie de 1,31 euro faţă de o plăcuță din lotul A (8,2 euro pe plăcuță); nu s-a realizat comparația şi cu plăcuțe din lotul C deoarece acestea aveau stratul de acoperire la mai puţin de jumătate faţă de plăcuțele aşchietoare din loturile A şi B şi s-a constatat existența unor valori mari ale tensiunii curentului electric de aşchiere.

6.2. Contribuții personale

Ca urmare a cercetărilor prezentate în teza de doctorat se poate aprecia, în mod sintetic, că principalele contribuții personale sunt următoarele:

1. Identificarea necesității abordărilor inovative la aşchiera metalelor prin realizarea unei sinteze a fenomenelor ce au loc în procesul de aşchiere (subcapitolele 1.1÷1.4);
2. Elaborarea unei metodologii de măsurare a uzurii plăcuțelor aşchietoare în cadrul căreia s-au identificat şi analizat erorile umane de măsurare (subcapitolele 3.1 şi 3.2);
3. Analiza comparativă a datelor la măsurarea uzurii plăcuțelor aşchietoare cu 4 sisteme de măsurare: scannerul 3D, profilometrul digital 2D, microscopul 2D optico-digital şi microscopul scanner 3D digital (subcapitolele 3.3÷3.7);
4. Metodologia aprecierii calităţii unui lot de burghie şi metodologia de achiziţionare economică a burghiilor utilizând curentul electric de aşchiere (subcapitolele 4.2, 4.3.2, 4.3.6);
5. Estimarea durabilităţii unui lot de burghie prin determinarea şi utilizarea unor modele matematice liniare şi polinomiale de gradul 2 (subcapitolele 4.3.3, 4.3.5);
6. Validarea estimării durabilităţii burghiilor utilizând curentul electric de aşchiere (subcapitolul 4.3.4);
7. Abordarea ecologică la aprecierea calităţii unui lot de burghie (subcapitolul 4.4);
8. Aprecierea eficienţei intrării line în aşchiere a burghiului utilizând curentul electric de aşchiere (subcapitolul 4.5);
9. Reingineria dispozitivului de intrare lină în aşchiere a burghiului prin lărgirea gamei de utilizare (subcapitolul 4.6);

10. Determinarea relației de legătură dintre diametrul burghiului și coeficientul de corecție pentru grosimea relativă a miezului burghiului (subcapitolele 4.6.1 și 4.6.2);
11. Îmbunătățirea colectorului de curent electric de aşchiere la strunjire (subcapitolul 5.2);
12. Influența regimului de aşchiere asupra tensiunii curentului electric de aşchiere la strunjirea cu plăcuțe aşchietoare acoperite (subcapitolele 5.3.1, 5.3.2);
13. Optimizarea regimului de aşchiere folosind tensiunea curentului electric de aşchiere la strunjire (subcapitolul 5.3.3);
14. Elaborarea unei metodologii de analiză și comparare a calității diverselor loturi de plăcuțe aşchietoare (subcapitolele 5.4.1÷5.4.4);
15. Analiza economică a loturilor de plăcuțe aşchietoare (subcapitolul 5.4.5);

6.3. Diseminarea rezultatelor obținute

Rezultatele cercetărilor efectuate în cadrul studiilor doctorale și prezentate în teza de doctorat au fost valorificate până în prezent prin publicarea următoarelor lucrări științifice:

1. **Daicu, R.**, *Innovative Technique used to analyze the expansion of a machine building enterprise*, Review of Management & Economic Engineering, Vol. 14, 2015, p. 183-192, Cluj-Napoca;
2. **Daicu, R.**, Oancea, Gh., *Electrical Current at Metal Cutting Process: A Literature Review*, Applied Mechanics and Materials, Vol. 808, 2015, p. 40-47, nov. 2015, ISSN 1662-7482, doi:10.4028/www.scientific.net/AMM.808.40;
3. **Daicu, R.**, Dițu, V., *Innovative Method to Reveal the Roughness of Land Surfaces at Sharpening Twist Drills*, Recent, Vol. 17 (2016), No. 4 (50), November 2016;
4. **Daicu, R.**, Dițu, V., *Innovative analysis of HS 6-5-2 drills edges quality*, MATEC Web Conf. Vol. 94 (2017) 02004, CoSME'16, 3-4 nov., 2016, Brașov, **(indexată ISI WoS-CPCI)**;
5. Dițu, V., Oancea, Gh., **Daicu, R.**, *Researches on evaluation of smooth entrance in cutting using electrical current. A case study*, MATEC Web Conf. Vol. 94 (2017) 02005, CoSME'16, 3-4 nov., 2016, Brașov **(indexată ISI WoS-CPCI)**;
6. **Daicu, R.**, Dițu, V., Oancea, Gh., *Innovative approach of drills acquisition using electrical current. A case study*, MATEC Web Conf. Vol. 112, (2017) 01023, IManEE 2017, 24-27 mai, Iași;
7. **Daicu, R.**, Dițu, V., Oancea, Gh., *A case study about acquisition of mechanically fixed cutting inserts*, MATEC Web Conf. Vol. 137, (2017) 03004, MTeM 2017, 12-13 oct, Cluj-Napoca **(indexată ISI WoS-CPCI)**;
8. **Daicu, R.**, Dițu, V., Oancea, Gh., *Ecological approach for assessing drill quality. A case study*. 3rd China-Romania Science and Technology Seminar (CRSTS 2018). IOP Publishing. IOP Conf. Series: Materials Science and Engineering 399 (2018) 012011 doi:10.1088/1757-899X/399/1/012011 **(indexată ISI WoS-CPCI)**.
9. **Daicu, R.**, Dițu, V., *Particularities Regarding the Wear of SPMR150612-P30 Metallic Carbide Inserts*. Recent, Vol. 20 (2019), No. 3 (59), <https://doi.org/10.31926/RECENT.2019.59.123>.
10. **Daicu, R.**, Dițu, V., *The optimization of cutting parameters at turning, using electrical current at cutting, in order to increase the durability of the cutting tool*. CoSME'20, 7-10 oct., 2020,

Braşov. IOP Publishing. IOP Conference Series: Materials Science and Engineering 1009 (2021) 012016; doi:10.1088/1757-899X/1009/1/012016

11. **Daicu, R.,** Diţu, V., The determination of the relation between the drill diameter and the correction coefficient of the relative thickness of the drill core when calculating the axial force. CoSME'20, 7-10 oct., 2020, Braşov. IOP Publishing. IOP Conference Series: Materials Science and Engineering 1009 (2021) 012017 doi:10.1088/1757-899X/1009/1/012017

12. **Daicu, R.,** Diţu, V., Peculiarities regarding the smooth entrance of the drill in cutting when processing steel, Recent, Vol. 21 (2020), No. 2 (61), <https://doi.org/10.31926/RECENT.2020.61.083>.

Articolele 5, 6, 7 și 10 au primit diploma de cele mai bune lucrări științifice la secțiunea la care s-au susținut.

6.4. Direcții viitoare de cercetare

Direcțiile viitoare de cercetare rezultă atât din stadiul actual al cercetărilor în domeniul tezei cât și din concluziile rezultate ca urmare a cercetărilor desfășurate. Acestea se canalizează în special prin utilizarea curentului electric de aşchiere la alte procedee de prelucrare, fapt semnalat și de literatura de specialitate. Se pot enumera câteva posibile direcții de cercetare:

- Realizarea și testarea unui soft specializat care să estimeze durabilitatea plăcuțelor aşchietoare din carbură metalică;
- Realizarea și testarea unui soft specializat care să estimeze durabilitatea burghiilor;
- Configurarea unui echipament de testare cu implementarea softurilor proiectate și validarea acestuia;
- Utilizarea curentului electric de aşchiere la diagnoza sculelor pentru frezare;
- Folosirea curentului electric de aşchiere la achiziționarea sculelor pentru frezare;
- Testarea adâncitoarelor și alezoarelor folosind curentul electric de aşchiere;
- Estimarea rapidă a forțelor de aşchiere la strunjire utilizând curentul electric de aşchiere (literatura de specialitate semnalează această posibilitate);
- Estimarea rapidă a forței axiale și a momentului de torsiune la burghiere utilizând curentul electric de aşchiere;
- Dezvoltarea cercetărilor privind aprecierea și compararea utilizării lichidelor la diverse procedee de prelucrare prin aşchiere folosind curentul electric de aşchiere.

BIBLIOGRAFIE SELECTIVĂ

[ABU03] Abu-Zahra N.H., Yu G., *Gradual wear monitoring of turning inserts using wavelet analysis of ultrasound waves*. International Journal of Machine Tools and Manufacture, vol. 43, no. 4, p. 337-343, doi: 10.1016/S0890-6955(02)00274-2, 2003

[AGH15] Aghdam B. H., Vahdati M., Sadeghi M. H., *Vibration-based estimation of tool major flank wear in a turning process using ARMA models*. International Journal of Advanced Manufacturing Technology, vol. 76, p. 1631-1642, doi: 10.1007/s00170-014-6296-3, 2015

[ALO08] Alonso F. J., Salgado D. R., *Analysis of the structure of vibration signals for tool wear detection*. Mechanical Systems and Signal Processing, vol. 22, p. 735-748, doi: 10.1016/j.ymssp.2007.09.012, 2008

[ATT10] Attanasio A., Ceretti E., Fiorentino A., Cappellini C., Giardini C., *Investigation and FEM-based simulation of tool wear in turning operations with uncoated carbide tools*. Wear, vol. 269, p. 344-350, doi: 10.1016/j.wear.2010.04.013, 2010

[BAG 73] Bagchi, H., Basu, S.K., *Thermoelectric Wear in Tools*. Wear 26, p. 39-44, 1973

[BAG15] Bagavathiappan S., Lahiri B. B., Suresh S., Philip J., Jayakumar T., *Online monitoring of cutting tool temperature during micro-end milling using infrared thermography, Insight*. Non-Destructive Testing and Condition Monitoring ,vol. 57, no. 1, p. 9-17, doi: 10.1784/insi.2014.57.1.9, 2015

[BAL16] Balsamo V., Caggiano A., Jemielniak K., Kossakowska J., Nejman M., Teti R., *Multi sensor signal processing for catastrophic tool failure detection in turning*. Procedia CIRP, vol. 41, p. 939 - 944, doi: 10.1016/j.procir.2016.01.010, 2016

[BAS07] Basti, A., Obikawaa A. T., Shinozuka J., *Tools with built-in thin film thermocouple sensors for monitoring cutting temperature*. International Journal of Machine Tools & Manufacture, vol. 47, p. 793-798, doi: 10.1016/j.ijmachtools.2006.09.007, 2007

[BHA08] Bhattacharyya P., Sengupta D., Mukhopadhyay S., Chattopadhyay A. B., *On-line tool condition monitoring in face milling using current and power signals*. International Journal of Production Research, vol. 46, no. 4, p. 1187 - 1201, doi: 10.1080/00207540600940288, 2008

[BHA09] Bhattacharyya P., Sengupta D., *Estimation of tool wear based on adaptive sensor fusion of force and power in face milling*. International Journal of Production Research, vol. 47, no. 3, p. 817 - 833, doi: 10.1080/00207540701403376, 2009

[BHU16] Bhuiyan M. S. H., Choudhury I. A., Dahari M., Nukman Y., Dawal S. Z., *Application of acoustic emission sensor to investigate the frequency of tool wear and plastic deformation in tool condition monitoring*. Measurement, vol. 92, p. 208-217, doi: 10.1016/j.measurement.2016.06.006, 2016

[BIN15] Binder M., Klocke F., Lung D., *Tool wear simulation of complex shaped coated cutting tools*. Wear, vol. 330-331, p. 600-607, doi: 10.1016/j.wear.2015.01.015, 2015

[BOE02] Bohler, W., Marbs, A., *3D scanning instruments*. In: Proceedings of the International workshop on Scanning for Cultural Heritage Recording, Corfu, Greece, Sept. 1–2, p. 9–12, 2002

[BUS14] Bushlya V. M., Gutnichenko O. A., Zhou J. M., Stahl J. E., Gunnarsson S., *Tool Wear and Tool Life of PCBN, binderless cBN and wBN-cBN Tools in Continuous Finish Hard Turning of Cold Work Tool Steel*. Journal of Superhard Materials, vol. 36, no. 1, p. 49–60, doi: 10.3103/S1063457614010080, 2014

[CAB17] Cabibbo, M., Forcellese, A., Rafelli, R., Simoncini, M., *Reverse engineering and scanning electron microscopy applied to the characterization of tool wear in dry milling processes*. Procedia CIRP, vol. 62, p. 233 – 238, doi: 10.1016/j.procir.2016.06.087, 2017

[CER15] Cerce L., Pusavec F., Kopac J., *3D cutting tool-wear monitoring in the process*. Journal of Mechanical Science and Technology, vol. 29, no. 9, p. 3885–3895, doi: 10.1007/s12206-015-0834-2, 2015

[CHI16] Chinchankar S., Choudhury S. K., *Cutting force modeling considering tool wear effect during turning of hardened AISI 4340 alloy steel using multi-layer TiCN/Al₂O₃/TiN-coated carbide tools*. International Journal of Advanced Manufacturing Technology, vol. 83, p. 1749–1762, doi: 10.1007/s00170-015-7662-5, 2016

[DAD17] D'Addona D.M., Sharif Ullah A.M.M, Matarazzo D., *Tool-wear prediction and pattern-recognition using artificial neural network and DNA-based computing*. Journal of Intelligent Manufacturing, vol. 28, p. 1285–1301, doi: 10.1007/s10845-015-1155-0, 2017

[DAI15a] Daicu, R., *Innovative Technique used to analyse the expansion of a machine building enterprise*. Review of Management & Economic Engineering, Vol 14, Issue 1, p. 183-192, 2015

[DAI15b] Daicu R., Oancea Gh., *Electrical Current at Metal Cutting Process: A Literature Review*. Applied Mechanics and Materials, vol. 808, p. 40-47, doi:10.4028/www.scientific.net/AMM.808.40, (2015)

[DAI16a] Daicu R., Dițu V., *Innovative Method to Reveal the Roughness of Land Surfaces at Sharpening Twist Drills*. Recent, Vol. 17 (2016), No. 4 (50), 2016.

[DAI16b] Daicu R., Dițu V., *Innovative analysis of HS 6-5-2 drills edges quality*. MATEC Web Conf. Vol. 94 (2017) 02004, CoSME'16, 3-4 nov., 2016, Braşov, (indexată ISI WoS-CPCI).

[DAI17a] Daicu, R., Dițu, V., Oancea, Gh., *Innovative approach of drills acquisition using electrical current. A case study*. MATEC Web Conf. Vol. 112, (2017) 01023, IManEE 2017, 24-27 mai, Iași.

[DAI17b] Daicu, R., Dițu, V., Oancea, Gh., *A case study about acquisition of mechanically fixed cutting inserts*. MATEC Web Conf. Vol. 137, (2017) 03004, MTem 2017, 12-13 oct, Cluj-Napoca, (indexată ISI WoS-CPCI).

[DAI18] Daicu, R., Dițu, V., Oancea, Gh., *Ecological approach for assessing drill quality. A case study*. 3rd China-Romania Science and Technology Seminar (CRSTS 2018). IOP Publishing.

IOP Conf. Series: Materials Science and Engineering 399 (2018) 012011 doi:10.1088/1757-899X/399/1/012011, (indexată ISI WoS-CPCI)

[DAI19] Daicu, R., Diţu, V., *Particularities Regarding the Wear of SPMR150612-P30 Metallic Carbide Inserts*. Recent, Vol. 20 (2019), No. 3 (59), <https://doi.org/10.31926/RECENT.2019.59.123>

[DAI20a] Daicu R., Diţu V., *The optimization of cutting parameters at turning, using electrical current at cutting, in order to increase the durability of the tool*. Acceptată pentru susţinere şi publicare, CoSME'20, 7-10 nov., 2020, Braşov. IOP Publishing. IOP Conference Series: Materials Science and Engineering 1009 (2021) 012016; doi:10.1088/1757-899X/1009/1/012016.

[DAI20b] Daicu R., Diţu V., *The determination of the relation between the drill diameter and the correction coefficient of the relative thickness of the drill core when calculating the axial force*. Acceptată pentru susţinere şi publicare, CoSME'20, 7-10 nov., 2020, Braşov. IOP Publishing. IOP Conference Series: Materials Science and Engineering 1009 (2021) 012017 doi:10.1088/1757-899X/1009/1/012017.

[DAI20c] Daicu, R., Diţu, V., *Peculiarities regarding the smooth entrance of the drill in cutting when processing steel*, Recent, Vol. 21 (2020), No. 2 (61), <https://doi.org/10.31926/RECENT.2020.61.083>.

[DIN09] Dinakaran D., Sampathkumar S., Sivashanmugam N., *An experimental investigation on monitoring of crater wear in turning using ultrasonic technique*. International Journal of Machine Tools & Manufacture, vol. 49, p. 1234–1237, doi: 10.1016/j.ijmachtools.2009.08.001, 2009

[DIT99] Diţu, V., *The Relations between Thermocurrent that Result in the Cutting Process and the Diverse Parametres of the Systems "Cutting Process"*. Buletinul "Romanian Academy", Branch Office of Iaşi, TSTM-no.5, 1999, p. 28-31

[DIT08] Diţu, V., *Bazele aşchierii metalelor. Teorie şi aplicaţii*. Editura MatrixRom, Bucureşti, 2008

[DIT09] Diţu, V., *The Analysis of the Connection Relation between the Cutting Thermocurrent and the Cutting Tool's Wear*. Proc. of the 1st WSEAS International Conference on Manufacturing Engineering, Quality and Production Systems (MEQAPS '09), Volume II, p. 322-326, 2009

[DIT11] Diţu, V., *Comparative Study of the Using Cutting Fluids at Turning and Drilling Using the Cutting Electric Thermocurrent*. RECENT, vol. 12, Nr. 2 (32), 2011, p. 119-124

[DIT13] Diţu, V., Lepădătescu, B., *The Utilization of Electrical Cutting Signal for the Quality Control of the Mettalic Carbide Plates, of the Edge of the Drill, and for the Appreciation in the Cutting Zone*. Proceedings of the 12th WSEAS International Conference Circuits, Systems, Electronics, Control & Signal Processing (CSECS '13), Budapest, Hungary, 2013, p. 282-286.

[DIT16] Dițu, V., Oancea, Gh., Daicu, R., *Researches on evaluation of smooth entrance in cutting using electrical current. A case study*. MATEC Web Conf. Vol. 94 (2017) 02005, CoSME'16, 3-4 nov., 2016, Braşov (indexată ISI WoS-CPCI).

[DUB17a] Dubuisson, M., *Referat măsurători pentru grosimea straturilor de acoperire la plăcuțe aşchietoare*. Firma Antoon Paar, Austria, locația Switzerland, 10.03.2017 (Anexa 6)

[DUB17b] Dubuisson, M., *Referat măsurători pentru duritățile straturilor de acoperire la plăcuțe aşchietoare*. Firma Antoon Paar, Austria, locația Switzerland, 10.03.2017 (Anexa 7)

[DUT12] Dutta S., Datta A., Das Chakladar N., Pal S. K., Mukhopadhyay S., Sen R., *Detection of tool condition from the turned surface images using an accurate grey level co-occurrence technique*. Precision Engineering, vol. 36, p. 458–466, doi: 10.1016/j.precisioneng.2012.02.004, 2012

[DUT16a] Dutta S., Pal S. K., Sen R., *On-machine tool prediction of flank wear from machined surface images using texture analyses and support vector regression*. Precision Engineering, vol. 43, p. 34–42, doi: 10.1016/j.precisioneng.2015.06.007, 2016

[DUT16b] Dutta S., Pal S. K., Sen R., *Progressive tool flank wear monitoring by applying discrete wavelet transform on turned surface images*. Measurement, vol. 77, p. 388–401, doi: 10.1016/j.measurement.2015.09.028, 2016

[ENA16] Enache, B., *Măsurători uzură cu scannerul 3D ATOS III Triple Scan Gom*. Firma Spectromas Burureşti, 09.2016

[ESC17] Escuder P., *Analytical Report*. Anton Paar TriTec SA, Rue de la Gare 4 (Galileo Center) 2034 Peseux, 19.10.2017, Switzerland (Anexa 7).

[GAN 06] Gangopadhyay, A., Barber, G., Zhao, H., *Tool wear reduction through an externally applied electrical current*. Wear 260, p. 549-553, 2006

[HIR 98] Hirota, H., Murata, M., Kojima, A., Yanagihara, K., *Relation between tool wear of face milling cutter and thermo-electric characteristics*. Seimitsu Kogaku Kaishi/Journal of the Japan Society for Precision Engineering 64, p. 1191-1195, 1998

[HUA07] Huang S. N., Tan K. K., Wong Y. S., de Silva C. W., Goh H. L., Tan W. W., *Tool wear detection and fault diagnosis based on cutting force monitoring*. International Journal of Machine Tools & Manufacture, vol. 47, p. 444–451, doi: 10.1016/j.ijmachtools.2006.06.011, 2007

[JOZ14] Jozic S., Lela B., Bajic D., *A New Mathematical Model for Flank Wear Prediction Using Functional Data Analysis Methodology*. Advances in Materials Science and Engineering, doi: 10.1155/2014/138168, 2014

[KAR16] Karam S., Centobelli P., D'Addona D. M., Teti R., *Online prediction of cutting tool life in turning via cognitive decision making*. Procedia CIRP, vol. 41, p. 927 – 932, doi: 10.1016/j.procir.2016.01.002, 2016

[KAR97] Karthik A., Chandra S., Ramamoorthy B., Das S., *3D tool wear measurement and visualisation using stereo imaging*. International Journal of Machine Tools & Manufacture, vol. 37, no. 11, p. 1573-1581, doi: 10.1016/S0890-6955(97)00023-0, 1997

- [KRU11] Kruth J.P. ş.a., *Computed Tomography for Dimensional Metrology*. CIRP Annals - Manufacturing Technology, Volum 60, Issue 2, pag. 821-842, 2011
- [KUL13] Kulandaivelu P., Kumar P. S., Sundaram S., *Wear monitoring of single point cutting tool using acoustic emission techniques*. Sadhana, vol. 38, no. 2, p. 211-234, 2013
- [LEO19] Leonhardt, E., *Măsurători uzură 2D cu microscop digital şi scanar 3D*. Hirox Europe, Demo metal, Braşov, 7.11.2019 (anexa 4).
- [LI16] Li L., An Q., *An in-depth study of tool wear monitoring technique based on image segmentation and texture analysis*. Measurement, vol. 79, p. 44-52, doi: 10.1016/j.measurement.2015.10.029, 2016
- [LIU13] Liu T. I., Song S. D., Liu G., Wu Z., *Online monitoring and measurements of tool wear for precision turning of stainless steel parts*. International Journal of Advanced Manufacturing Technology, vol. 65, p. 1397-1407, doi: 10.1007/s00170-012-4265-2, 2013
- [MED14] Medison V.V., *Influence of Thermoelectric Current on the Tool Life in Cutting Titanium Alloys*. Russian Engineering Research, vol. 34, no. 4, p. 235-238, doi: 10.3103/S1068798X14040133, 2014
- [MIH17] Mihail, L., *Măsurări ale uzurii plăcuţelor aşchietoare din carbură metalică cu sistemul 2D Vision Measuring System Quick Image QI-A 2010B (Mitutoyo)*. Institutul de Cercetare-Dezvoltare al Universităţii Transilvania din Braşov, 04.2017
- [MIN95] Minciu, C., ş.a., *Scule aşchietoare*. Îndrumar de proiectare, vol. I, Ed. tehnică, Bucureşti, 1995.
- [MUR11] Murata, M., Kurokawa, S., Ohnishi, O., Uneda, M., Doi, T., *Characteristics of thermo-electromotive force, electric current and electric resistance in intermittent cutting process by face milling*. Advanced Materials Research, 314-316, 2011, p. 1075-1078
- [MUR13] Murata, M., Kurokawa, S., Ohnishi, O., *In-process tool flank wear detection by using changes in the tool-work electrical contact resistance*. Journal of the Chinese Society of Mechanical Engineers, Transactions of the Chinese Institute of Engineers, Series C/Chung-Kuo Chi Hsueh Kung Ch'eng Hsuebo Pao, 79 (803), 2013, p. 2546-2557
- [NOU16] Nouri Khajavi M., Nasernia E., Rostaghi M., *Milling tool wear diagnosis by feed motor current signal using an artificial neural network*. Journal of Mechanical Science and Technology, vol. 30, no. 11, p. 4869-4875, doi: 10.1007/s12206-016-1005-9, 2016
- [PAN93] Pan, H., An, B., Chen, Y., Orady, E., *Thermal EMF method for monitoring drilling tool wear*. Proc. SPIE2101, Measurement Technology and Intelligent Instruments 1373, 1993
- [PIC92] Picoş, C., ş.a., *Proiectarea tehnologiilor de prelucrare mecanică prin aşchiere, vol. I şi II*. Editura Universitas, Chişinău, 1992.
- [SID13] Siddhpura A., Paurobally R., *A review of flank wear prediction methods for tool condition monitoring in a turning process*. International Journal of Advanced Manufacturing Technology, vol. 65, p. 371-393, doi: 10.1007/s00170-012-4177-1, 2013

[SOM14] Soman, A., Anbarasan, N., Hareesh, P., Kuppan, P., *Experimental study on the effect of the electric current applied at the interface of cutting tool and workpiece for turning operation*. Procedia Engineering 97, 2014, p. 220-229

[STE93] Stephenson, D.A., *Tool-Work Thermocouple Temperature Measurements. Theory and Implementation Issues*, ASME, Journal of Engineering for industry, vol. 115, 1993

[TAN09] Tanaka, R., Lin, Y., Hosokawa, A., Ueda, T., Yamada, K., *Influence of Additional Electrical Current on Machinability of BN Free-Machining Steel in Turning*. Journal of Advanced Mechanical Design, Systems and Manufacturing, Vol. 3, No. 2, 2009, p. 171-178

[w1] <http://ecatalog.mitutoyo.com/CRYSTA-Apex-EX-500T700T900T-PH20-Equipped-5-Axis-CNC-CMM-C1840.aspx>, accesat în 09.2016

[w2] <http://www.directindustry.com/prod/hexagon-manufacturing-intelligence/product-5623-567450.html>, accesat în 09.2016

[w3] <https://illustrationprize.com/ro/213-thermocouple.html>, accesat în 03.2017

[w4] <https://physics.uvt.ro/~stef/Metode/S3-Termocuplul.pdf>, accesat în 11.2018

[w5] <http://www.termo.utcluj.ro/termoluc/Lucr01/L1.html>, accesat în 11.2018

[w6] <http://mail.uaic.ro/~ftufescu/CURS%20DCE-2%20Conductia%20electrica%20in%20solide%20m%20.pdf>, accesat în 11.2018

[w7] http://www.physics.pub.ro/Referate/BN119/Efectul_SEEBECK.pdf, accesat în 11.2018

[w8] <http://sfm.asm.md/ftm/vol9nr3-2%20fizica%20teoretica%20si%20matematica.pdf>, accesat în 11.2018

[w9] http://phys.ubbcluj.ro/~rote/lectures/c1_me.pdf, accesat la 11.2018

[w10] <https://www.ttonline.ro/revista/calitate-control/modele-constructive-ale-masinelor-de-masurat-in-coordonate-i>, accesat la 11.2019

[w11] <http://micotop.ro/produse/masuratori-tridimensionale.html>, accesat la 11.2019

[WAN05] Wang W., Wong Y.S., Hong G.S., *Flank wear measurement by successive image analysis*. Computers in Industry, vol. 56, p. 816-830, doi: 10.1016/j.compind.2005.05.009, 2005

[WAN14] Wang G., Guo Z., Qian L., *Tool wear prediction considering uncovered data based on partial least square regression*. Journal of Mechanical Science and Technology, vol. 28, no. 1, p. 317-322, doi: 10.1007/s12206-013-0982-1, 2014

[ZHA13] Zhang C., Zhang J., *On-line tool wear measurement for ball-end milling cutter based on machine vision*. Computers in Industry, vol. 64, p. 708-719, doi: 10.1016/j.compind.2013.03.010, 2013

[ZHU17] Zhu K., Yu X., *The monitoring of micro milling tool wear conditions by wear area estimation*. Mechanical Systems and Signal Processing, vol. 93, p. 80-91, doi: 10.1016/j.ymsp.2017.02.004, 2017

SCURT REZUMAT AL TEZEI DE DOCTORAT

Scurt rezumat al tezei de doctorat în limba română

Conducător științific,

Prof. univ. dr. ing. Gheorghe OANCEA

Doctorand,

Ing. Raluca DIȚU (căs. DAICU)

Abordări inovative la aşchiera metalelor

Din analiza fenomenelor care au loc la aşchiera metalelor s-au identificat două dintre ele, uzura sculei aşchietoare și fenomenul electric, fenomene ce vor fi abordate inovativ. În urma analizei stadiului actual s-a constatat că nu există o abordare unitară a măsurării uzurii sculei aşchietoare și nu se indică erorile de măsurare cu diverse mijloace alternative. Totodată, curentul electric de aşchiere, are puține aplicații industriale și în consecință poate genera aplicații inovative.

Abordând uzura sculei aşchietoare, se propune elaborarea unei metodologii unitare de măsurare a uzurii tăişului aşchietor, se optimizează pasul măsurătorilor, se determină eroarea umană de măsurare și se aplică, comparativ, metodologia propusă la măsurarea uzurii cu mijloace alternative. S-a constatat că dacă se aplică metodologia de măsurare, indiferent de mijlocul de măsurare a uzurii, se obțin rezultate comparabile.

Analiza curentului electric de aşchiere la burghiere a condus, inovativ, la elaborarea unei metodologii de apreciere a calității unui lot de burghie, la achiziționarea inovativă a burghiilor, la o abordare economică a achiziționării burghiilor și la identificarea aspectului ecologic al experimentelor. Totodată, utilizând curentul electric de aşchiere s-a apreciat eficacitatea intrării line în aşchiere a burghiului.

La strunjire, folosind curentul electric de aşchiere s-a elaborat o tehnică de apreciere a calității plăcuțelor aşchietoare și s-a optimizat regimul de aşchiere având ca scop minimizarea tensiunii curentului electric de aşchiere.

Brief summary of the doctoral thesis in English Language

Advisor,

Prof. univ. dr. eng. Gheorghe OANCEA

Phd. Candidate,

eng. Raluca DIȚU (căs. DAICU)

Innovative Approaches to Metal Cutting

From the analysis of the phenomena that take place when cutting metals, two of them were identified and approached innovatively, the wear of the cutting tool and the electrical phenomenon. Following the analysis of the current state, it was found that there is no uniform approach to measuring the cutting tool wear and there are not indicated the measurement errors with alternative means. At the same time, the electrical current at cutting has few industrial applications and, in consequence, it can generate innovative applications.

Approaching the wear of the cutting tool, it is proposed the development of a unitary methodology for measuring the wear of the cutting edge, the optimization of the the increment of measurement, the determination of the human measurement error and the application, comparatively, of the proposed methodology for measuring wear by alternative means. It was found that if the measurement methodology is applied, regardless of the means of measuring wear, comparable results are obtained.

The analysis of the electrical current at drilling led, innovatively, to the elaboration of a methodology for assessing the quality of a drill batch, to the innovative acquisition of drills, to an economic approach to the acquisition of drills and to the identification of the ecological aspect of experimental tries. At the same time, using the electric current at cutting, the efficiency of the smooth entrance in the cutting of the drill was appreciated.

When turning, using the electrical current, a technique for assessing the quality of the cutting inserts was developed and the cutting regime was optimized with the aim of minimizing the voltage of the electrical current.

Curriculum vitae (în limba română)

Raluca Dițu (căs. Daicu)

Informații personale:

Adresă de e-mail: raluca.daicu@unitbv.ro

Educație și formare:

Tipul de formare: Ciclul III – studii universitare de doctorat – doctorand cu frecvență

Perioada: 2014 – prezent

Instituția de învățământ: Universitatea "Transilvania" din Brașov

Departamentul: Ingineria Fabricației

Domeniul: Inginerie Industrială

Domeniul fundamental: Științe Inginerești

Tipul de formare: Ciclul II – studii universitare de masterat – masterand cu frecvență

Perioada: 2012 – 2014

Instituția de învățământ: Universitatea "Transilvania" din Brașov

Departamentul: Inginerie și Management

Domeniul: Management Industrial

Facultatea: Inginerie Tehnologică și Management Industrial

Specializarea: Managementul Afacerilor Industriale

Tipul de formare: Ciclul I – studii universitare de licență – student cu frecvență

Perioada: 2008 – 2012

Instituția de învățământ: Universitatea "Transilvania" din Brașov

Departamentul: Inginerie și Management

Domeniul: Management Industrial

Facultatea: Inginerie Tehnologică și Management Industrial

Specializarea: Inginerie economică industrială

Experiență profesională:

Ocupație conform fișei postului: programator

Perioada: 2019 – prezent

Compania: SC Siemens Industry Software S.R.L.

Ocupație conform fișei postului: cadru didactic asociat

Perioada: 2016 – prezent

Compania: Universitatea "Transilvania" din Brașov

Ocupație conform fișei postului: inginer optimizări procese

Perioada: 2013 – 2015

Compania: SC Premium-Aerotec S.R.L.

Curriculum Vitae (in english language)

Raluca Dițu (căș. Daicu)

Personal information:

E-mail address: raluca.daicu@unitbv.ro

Education and training:

Type: 3rd cycle – PhD university studies – PhD studies

Period: 2014 – prezent

Education institution: "Transilvania" University of Brașov

Department: Manufacturing Engineering

Domain: Industrial Engineering

Fundamental Domain: Engineering Sciences

Type: 2nd cycle – MSc university studies – MSc student

Period: 2012 – 2014

Education institution: "Transilvania" University of Brașov

Department: Engineering and Management

Domain: Industrial Management

Faculty: Technological Engineering and Industrial Management

Study program: Industrial Business Management

Type: 1st cycle – BSc university studies – BSc student

Period: 2008 – 2012

Education institution: "Transilvania" University of Brașov

Department: Engineering and Management

Domain: Industrial Management

Faculty: Technological Engineering and Industrial Management

Study program: Economical engineering

Professional experience:

Occupation: programmer

Period: 2019 – prezent

Company: SC Siemens Industry Software S.R.L.

Occupation: associate professor

Period: 2016 – prezent

Company: "Transilvania" University of Brașov

Occupation: process optimization engineer

Period: 2013 – 2015

Company: SC Premium-Aerotec S.R.L.